Faunitaxys

Revue de Faunistique, Taxonomie et Systématique morphologique et moléculaire

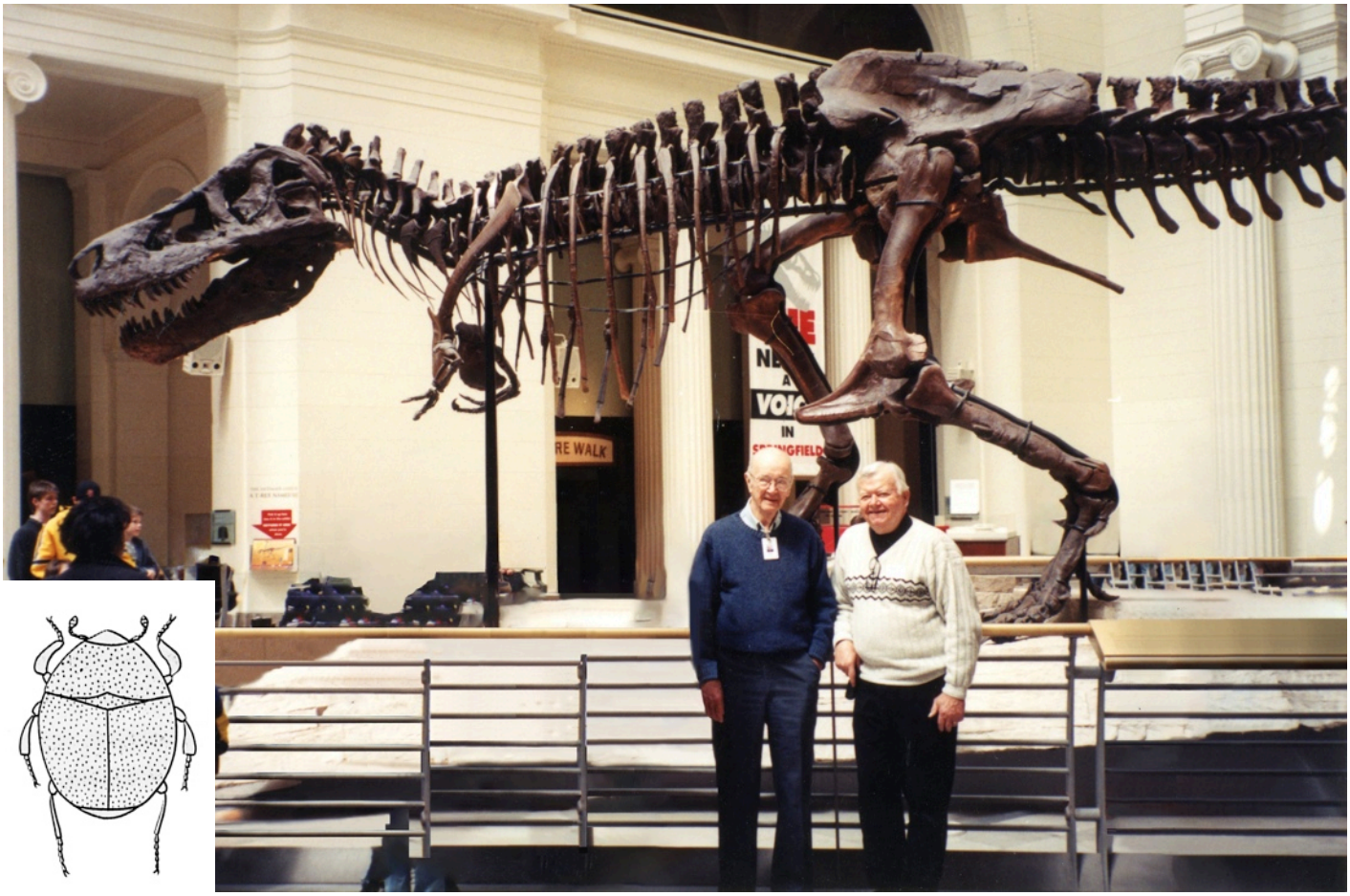

Volume 13
Numéro 34

Juillet 2025

ISSN (Print) : 2269 - 6016
ISSN (Online) : 2970 - 4960
Dépôt légal : Juillet 2025

Faunitaxys

Revue de Faunistique, Taxonomie et Systématique morphologique et moléculaire

ZooBank : https://zoobank.org/79A36B2E-F645-4F9A-AE2B-ED32CE6771CC

Directeur de la publication, rédacteur, conception graphique et PAO:
Lionel Delaunay

Cette revue ne peut pas être vendue
Elle est distribuée par échange aux institutions (version papier)
et sur simple demande aux particuliers (format PDF)
à l'adresse suivante:

AFCFF (Association française de Cartographie de la Faune et de la Flore)
28, rue Voltaire, F- 42100 Saint Etienne
E-mail: faunitaxys.journal@gmail.com

Elle est disponible librement au téléchargement à partir du site:

https://faunitaxys.fr/

La parution de *Faunitaxys* est apériodique

Faunitaxys est indexé dans / ***Faunitaxys*** is indexed in:
- Zoological Record
Articles and nomenclatural novelties are referenced by:
- ZooBank (https://zoobank.org)
Online Archives:
- HAL (https://hal.archives-ouvertes.fr)
- Internet Archive (https://archive.org/details/faunitaxys)

Imprimée sur les presses de SPEED COPIE, 6, rue Tréfilerie, F- 42100 Saint-Etienne

Imprimé le 12 07 2025

https://doi.org/10.57800/faunitaxys-13(34)

Contribution à la connaissance des *Bacaniini* Kryzhanovskij du Nouveau Monde avec une clé des espèces et la description de trois espèces nouvelles (Coleoptera, Histeridae, Dendrophilinae)

NICOLAS DEGALLIER (1,*), ALEXEY K. TISHECHKIN (2), PETER W. KOVARIK (3), VINCENZO VOMERO (4) & YVES GOMY (5)

(1) 120, rue de Charonne, F-75011 Paris, France. – E-mail : nicolas.degallier@free.fr
– ZooBank : https://zoobank.org/FD511028-C092-41C6-AF8C-08F32FADD16B – Orcid : https://orcid.org/0000-0002-5700-4198

(2) California State Collection of Arthropods, PPDC-CDFA, 3294 Meadowview Rd., Sacramento, CA 95932, USA. – E-mail : atishe8@gmail.com
– ZooBank : https://zoobank.org/341C5592-E307-43B4-978C-066999A6C8B5 – Orcid : https://orcid.org/0000-0003-0848-7450

(3) 239 Crestview Rd., Columbus, OH 43202, USA. – E-mail : pkovarik@cscc.edu
– ZooBank : https://zoobank.org/07B9622B-8216-470F-AD7F-E7C4563E9066 – Orcid : https://orcid.org/0000-0002-7650-3769

(4) c/o Museo Civico di Zoologia, Via Ulisse Aldrovandi 18, 00197 Roma, Italia – v.vomero@museiscientificiroma.eu
- ZooBank : https://zoobank.org/A96B5D27-81EB-4778-8FC8-64461871C101 – Orcid : https://orcid.org/0009-0002-3616-9513

(5) 2, boulevard Victor Hugo, F-58000 Nevers, France – halacritus@neuf.fr
- ZooBank : https://zoobank.org/E168A92D-60ED-4127-812E-C384251AFC09

* Correspondance.

Mots-clés:

Coleoptera ;
Histeridae ;
Dendrophilinae ;
Bacaniini ;
taxonomie ;
synonymie ;
nouvelles espèces ;
lectotypes ;
Bacanius ;
andersoni ;
tlanchinol ;
wenzeli ;
rugisternus ;
humicola ;
région néarctique ;
région néotropicale.

Résumé. – Trente-quatre espèces de *Bacaniini* Kryzhanovskij du Nouveau Monde ainsi que les espèces sub-cosmopolites *Abraeomorphus atomarius* (Sharp) et *Mullerister rombophorus* (Aubé) sont étudiées. Huit espèces sont retirées du sous-genre *Gomyister* Mazur pour retourner dans le sous-genre nominal : *Bacanius (s. str.) acuminatus* Casey **nov**. **comb**., *B.* (s. str.) *debilitans* Casey **nov**. **comb**., *B.* (s. str.) *ferrugineus* Bickhardt **nov**. **comb**., *B.* (s. str.) *gomyi* Yélamos **nov**. **comb**., *B.* (s. str.) *irlanda* Mazur & Sawoniewicz **nov**. **comb**., *B.* (s. str.) *misellus* Le Conte **nov**. **comb**., *B.* (s. str.) *montanus* Mazur & Sawoniewicz **nov**. **comb**. et *B.* (s. str.) *subcarinatus* Wenzel & Dybas **nov**. **comb**. Deux espèces, *Bacanius* (s. str.) *lissosternum* (Degallier) **nov**. **comb**. et *Bacanius* (s. str.) *parenthesis* (Degallier) **nov**. **comb**. sont retirées du genre *Degallierister* Gomy. *Bacanius* (s. str.) *striatinotum* Wenzel et *B. (s. str.) pusillus* Wenzel sont replacés dans leur genre d'origine. Un lectotype est désigné pour les quatre espèces suivantes: *B. convergens* Schmidt, *B. debilitans* Casey, *B. ferrugineus* Bickhardt et *B. humicola* Marseul. *B. rugisternus* Wenzel est mis en synonymie avec *B. humicola*. Trois espèces, *Bacanius andersoni* Degallier & Kovarik **nov**. **sp**., *Bacanius tlanchinol* Degallier & Kovarik **nov**. **sp**. et *Bacanius wenzeli* Degallier, Kovarik, Tishechkin & Vomero **nov**. **sp**. sont décrites d'Amérique centrale. Une clé d'identification est proposée pour les *Bacaniini* du Nouveau Monde.

Degallier N., Tishechkin A. K., Kovarik P. W., Vomero V. & Gomy Y., 2025. – Contribution à la connaissance des *Bacaniini* Kryzhanovskij du Nouveau Monde avec une clé des espèces et la description de trois espèces nouvelles (Coleoptera, Histeridae, Dendrophilinae). *Faunitaxys*, 13(34) : 1 – 66.

DOI: https://doi.org/10.57800/faunitaxys-13(34)

ZooBank: https://zoobank.org/4AFD76BF-7930-43C8-B30D-AF1B205C7EC5

Received: 22/03/2025 – *Revised*: 21/05/2025 – *Accepted*: 22/05/2025

Ce travail est dédié à la mémoire de Rupert L. Wenzel (1915-2006) (Fig. 1) *qui le premier a attiré l'attention des histéridologues sur la diversité extraordinaire des* Bacanius *du Nouveau Monde* (Gomy, 2014a, b).

Introduction

La tribu des *Bacaniini* Kryzhanovskij, 1976 est au sein des Dendrophilinae la deuxième tribu la plus nombreuse en espèces après les *Paromalini* Reitter, 1909 mais contient plus de genres que cette dernière (16 *vs*. 14 genres) (Mazur, 2011).

Le genre *Bacanius* Le Conte, 1853[1] a été créé pour deux espèces néarctiques (*B. tantillus* Le Conte, 1853 et *B. misellus* Le Conte, 1853) et regroupe actuellement presque la moitié des espèces de *Bacaniini* (75/170). Ces deux espèces se retrouvent maintenant classées dans deux sous-genres différents parmi les six sous-genres de *Bacanius*!

Les espèces de Bacaniini du Nouveau Monde qui nous intéressent ici appartiennent actuellement aux genres *Mullerister* Cooman, 1936 (1 esp.), *Bacanius*, sous-genres *Bacanius* (s. str.) (11 esp.) et *B.* (*Gomyister*) Mazur, 1984 (8 esp.), *Geocolus* Wenzel, 1944 (1 esp.) et *Troglobacanius*

[1] En grec et d'après Marseul (1853 : 567) puis Blatchley (1910 : 625), *Bacanius* signifie respectivement "graîne de rave" ou graîne de radis ["radish seed"] mais nous ne savons pas si J. E. Le Conte lui attribuait le même sens lorsqu'il a créé le genre.

Reviewer :
Tomas Lackner (*Allemagne*) - https://orcid.org/0000-0002-0108-5785 - https://zoobank.org/E1DA422B-F56F-4253-A55D-481479D933B8

This is an open access article under the terms of the Creative Commons Attribution-NonCommercial-NoDerivs License, which permits use and distribution in any medium, provided the original work is properly cited, the use is non-commercial and no modifications or adaptations are made.
Copyright 2025. The Authors. *Faunitaxys* published by Lionel Delaunay on behalf of the AFCFF (Association française de Cartographie de la Faune et de la Flore).

Fig. **1**. Rupert L. Wenzel dans son laboratoire au Field Museum, Natural History, Chicago, IL en 1982.

Vomero, 1973 (4 esp.). Le genre *Abraeomorphus* Reitter, 1886 compte une espèce probablement introduite.

Il s'agit de Coléoptères dont la taille moyenne est souvent inférieure au mm et dont les descriptions et les clés disponibles (Le Conte, 1853 ; Marseul, 1856 ; Horn, 1873 ; Casey, 1893 ; Wenzel & Dybas, 1941 ; Wenzel, 1944) sont anciennes, non illustrées et utilisent un nombre de caractères restreint. La clé publiée par Blatchley (1910) ne concerne que l'État nord américain de l'Indiana et celle de Mazur & Sawoniewicz (2008) que les espèces de *Bacanius (Gomyister)* du Mexique.

Etant donné la progression rapide des récoltes de ces Histérides, notamment avec l'emploi de pièges d'interception ("FIT") ou de l'extracteur de Berlese, il nous a semblé utile de faire le point sur les espèces connues du Nouveau Monde. Ces espèces très petites sont également susceptibles d'être retrouvées loin de leur pays d'origine à la faveur d'échanges commerciaux de bois ou de plantes, comme c'est déjà le cas de *Mullerister rombophorus* (Aubé, 1843), du *Abraeomorphus atomarius* (Sharp, 1885) (Yélamos, 1991) ou encore de *Bacanius punctiformis* (J. L. Le Conte, 1853) (Secq & Secq, 2017).

Matériel et méthodes

Matériel

Le matériel-type étudié est énuméré avant la redescription de chaque espèce tandis que les exemplaires présents dans diverses collections sont énumérés dans la section précisant la distribution géographique. La liste des types présents dans les collections du Muséum National d'Histoire Naturelle (MNHN, Paris), établie par Desbordes & Lesne (1914), ne fait état que d'une seule espèce de Bacaniini du Nouveau Monde (*cf. Bacanius humicola* Marseul), nous avons donc pensé utile d'en fournir une mise à jour en annexe 3. Les renseignements fournis par les étiquettes des spécimens étudiés présentant souvent de grandes variations dans les formats utilisés, nous avons tenté de suivre le plan suivant pour la transcription de ces données : **pays** : **région ou état**, commune ou lieu-dit, coordonnées géographiques et altitude [entre crochets si absentes des étiquettes], mode de récolte ou données écologiques, date de récolte [jour.mois.année], nom du récolteur, nom du déterminateur, nombre d'exemplaires [acronyme de la collection].

Méthodes d'étude et d'illustration

Lorsque cela était nécessaire pour préparer, nettoyer ou disséquer du matériel ancien ou conservé en alcool, nous avons utilisé la méthode de ramollissage publiée par Raingeard & Degallier (2018). Les observations et prises de mensurations ont été réalisées principalement par le premier auteur et avec une loupe binoculaire (Leica MZ8) à des grossissements variant de 6,3 à 150 fois. Un diffuseur de lumière (boîte de film en plastique blanc dépoli dont le fond a été découpé) a servi pour diminuer les artefacts dus aux reflets. Cependant, certains caractères comme les micro-striations ou l'aspect chagriné d'une surface sont plus visibles sans le diffuseur. Les photos numériques ont été prises aussi en entourant l'exemplaire d'un diffuseur, soit (a) par N. Degallier sur la station d'imagerie du bâtiment d'Entomologie du Muséum national d'Histoire naturelle, à Paris (MNHN) puis traitées à l'aide du logiciel Zerene Stacker (Rik Littlefield, Zerene Systems LLC), soit (b) par Francesco Sacco et Vincenzo Vomero avec un appareil photo Nikon D810, 36,3 Mpixels. Des objectifs Mitutoyo Plan Apo 5X 0.14 ont été utilisés pour les photos et des objectifs Mitutoyo Plan Apo 10X 0.28 couplés à des objectifs de focales F=100, 150, 200, 250 mm pour obtenir des grossissements de 2,5X à 12,5X. Le nombre de prises de vue est déterminé par la profondeur de champ des objectifs (± 14,0 µm

pour le 5X et ± 3,5 µm pour le 10X), le grossissement sur le capteur FX et l'épaisseur des échantillons. Le système d'avance de prise de vue automatique se compose d'un moteur pas à pas contrôlé par une application Arduino. L'éclairage est obtenu par un flash Nikon SB-R200 monté sur l'objectif. La vitesse d'obturation est fixée à 1/320 s avec l'ISO variable de 64 à 200. Les images successives d'un même spécimen ont été assemblées avec le logiciel Helicon Focus 7.0.0 - 8.2.0. et l'image finale retouchée avec Adobe Photoshop v. 23.3.2. Les photographies prises par Paul Skelley (c) l'ont été à l'aide d'un système d'auto-montage synchronisé avec un appareil photo numérique JVC 3-CCD, KY-F75U équipé d'un objectif Leica Z16 APO. La microscopie électronique à balayage (MEB) a été réalisée par Jonathan Bremer du FDACS-DPI avec un MEB de bureau Phenom XL G2 à l'aide d'un porte-échantillon eucentrique et du logiciel Phenom ProSuite. Les échantillons ont été photographiés à 10 kV sans revêtement métallique. Les figures au trait ont été réalisées par le premier auteur suivant la méthode décrite par Reisdorf (2013). La carte de distribution des espèces nouvelles a été réalisée avec le script en langage R version 3.2.1 (R Core Team, 2022) adapté de celui présenté par Degallier & Gomy (2018 : Annexe). Les mesures sont prises sous loupe binoculaire avec un micromètre oculaire étalonné par un micromètre objet gradué au centième de millimètre. Elles sont exprimées comme suit : L, longueur du pronotum et des élytres ; l, largeur maximale ; L/l, ratio de la longueur sur la largeur ; e, épaisseur ; L/e, ratio de L sur l'épaisseur ; la valeur moyenne entre parenthèses est respectivement précédée et suivie des valeurs minimale et maximale pour N spécimens mesurés. La base descriptive des divers taxons[2] a été réalisée sous le format DELTA[3] (DEscription Language for TAxonomy ; Dallwitz, 1974, 1980 ; Dallwitz *et al*., 2020) avec les logiciels DELTA Editor et INTKEY (Coleman *et al*., 2010) de la suite logicielle libre Open Delta v. 1.0.3., distribués par l'Atlas of Living Australia, 2011. Pour la clé d'identification des genres et une fois les caractères définis et décrits dans la base DELTA, les ensembles diagnostiques de chaque genre ont été reportés dans un tableau selon la méthode présentée par Queney & Prévost (2021). Ce tableau d'identification représente l'équivalent imprimé d'une clé d'identification interactive utilisable avec INTKEY.

Définition des caractères utilisés

Stries. – Chez les *Bacaniini*, les stries élytrales sont le plus souvent réduites en nombre, ce qui n'a pas facilité la recherche des homologies et créé une certaine confusion dans la nomenclature utilisée. Lorsqu'il n'y a qu'une seule strie visible dorsalement le long du bord élytral externe, elle a été nommée "sublateral stria", accompagnée ou non d'une "marginal carina" (Casey, 1893 : 559), "humérale" (Marseul, 1853 : 573), "subhumérale" (Bickhardt, 1918 : 286), "dorsale" (Marseul, 1853 : 574 ; Vomero, 1974), "first dorsal" (Lewis, 1888 : 237 ; Wenzel, 1944 : 95) ou enfin "marginale" (Le Conte, 1853 : 292 ; Marseul, 1853 : 576 ; Wenzel & Dybas, 1941 : 437). Lorsque ces stries sont au nombre de deux ou trois, elle ont été appelées "dorsale", "marginale" et "subhumérale" (Marseul, 1863 : 308), "subhumeral" et "first dorsal" (Blatchley, 1910 : 626), "sub-humérale", "marginale" et "épipleurale" (Gomy, 2010 : 259), "first dorsal", "marginal" et "marginal epipleural" (Wenzel, 1944 : 96) ou encore "dorsal", "internal subhumeral" et "external subhumeral" (Vomero, 1974 ; Yélamos, 1996). Nous considérons qu'une strie rarement absente et souvent ponctuée, l'épipleurale, peut servir de repère (Fig. 2 : *e*). Par ailleurs, lorsque le bord élytral externe est garni de trois stries, celles-ci seront nommées de l'intérieur vers l'extérieur, "dorsale", "subhumérale" et "épipleurale". Dans les cas où l'une des deux premières est absente, celle qui subsiste sera nommée soit "subhumérale" quand elle se trouve sur la marge de l'élytre et alignée avec la marge du pronotum, soit "dorsale" quand elle est distante de l'angle huméral à la base (Fig. 2 : *sh* ou *d*). Lorsqu'une strie élytrale suturale est présente (Fig. 2 : *s*), elle est plus ou moins nette et/ou ponctuée mais n'est pas constituée d'un alignement de petits tubercules comme chez les espèces du genre *Degallierister* Gomy, 2000 (Degallier *et al*., 2015). Nous verrons cependant l'exception présente chez *Troglobacanius reddellii* Vomero et *Troglobacanius maya* Vomero.

Chez beaucoup d'espèces et selon les observations faites à l'origine par Wenzel (1960 : 457) puis Gomy (1970 : Fig. 3), les stries et la ponctuation ornant le métaventrite latéral et le mésépimère revêtent une importance diagnostique essentielle (Fig. 2 : *metal*, *mep*). Une ou deux stries peuvent orner le mésépimère, l'une interne ou ventrale et l'autre, externe ou dorsale (Wenzel, 1955 : Fig. 137A), droite, coudée ou arrondie et souvent en continuité avec la strie métaventrale latérale (Fig. 2 : *mi* et *me-ml*) ou la strie méso-postcoxale (*pm* ; Wenzel, 1955). La strie métaventrale latérale délimite la plaque méso-postcoxale (Fig. 2 : pmpx).

Ponctuations. – La force (profondeur), taille et densité des ponctuations sont des caractères importants pour distinguer les espèces de *Bacanius*. Cependant, lorsqu'une comparaison entre espèces n'est pas possible ou des spécimens de référence indisponibles, ces caractères restent tout à fait subjectifs. Par exemple, Wenzel (1944) et des auteurs précédents ont caractérisé la ponctuation et sa densité par des expressions subjectives comme : "fine" *vs*. "coarse", "closely" *vs*. "remotely", "deep" *vs*. "shallow", "sparse" *vs*. "dense", "punctate" *vs*. "punctulate" etc. Dans la mesure du possible, nous avons comparé ces grandeurs entre différentes surfaces chez un même exemplaire. Nous utilisons aussi la relation entre le diamètre des points et leur densité qui semble avoir été définie pour la première fois par Mazur (1991: 3, note 1) bien que Wenzel (1944) utilisait ce caractère dans ses descriptions. Enfin, des mesures du diamètre réel des points ou de leur distance peut apporter des caractères diagnostiques mais implique de disposer d'un micromètre oculaire étalonné. Un cas particulier de ponctuation a été observé sur une espèce décrite plus loin comme nouvelle, où chaque point est remplacé par plusieurs points disposés en un pentagone ou un hexagone englobant une minuscule soie.

Pores. – A notre connaissance et excepté chez les *Degallierister* Gomy (Degallier *et al*., 2015), aucun auteur n'a encore signalé l'existence de pores soit dans les angles antérieurs du pronotum (Fig. 2 : p1), le long de la base des élytres (Fig. 2 : p2) ou encore vers la base de l'épipleure élytral (Fig. 2 : p3) des *Bacaniini*. Le pore des élytres peut se situer dans l'angle huméral, au tiers externe ou vers le milieu de la base élytrale. Un pore "invisible" peut être présent mais non détecté si la ponctuation est grosse et dense.

Caractères sexuels secondaires. – Chez quelques espèces, les mâles peuvent se différencier des femelles par un ou deux caractères externes : une dépression plus ou moins étendue et profonde sur le disque du métaventrite et/ou la présence de deux à trois soies modifiées en petites ventouses à la face inférieure des articles basaux des protarses (Fig. 121 *vs*. Fig. 120).

La liste des caractères et de leurs états est présentée en annexe 1.

[2] Ces données peuvent être obtenues sur demande au premier auteur.

[3] https://github.com/AtlasOfLivingAustralia/open-delta/releases/tag/1.0.3-beta

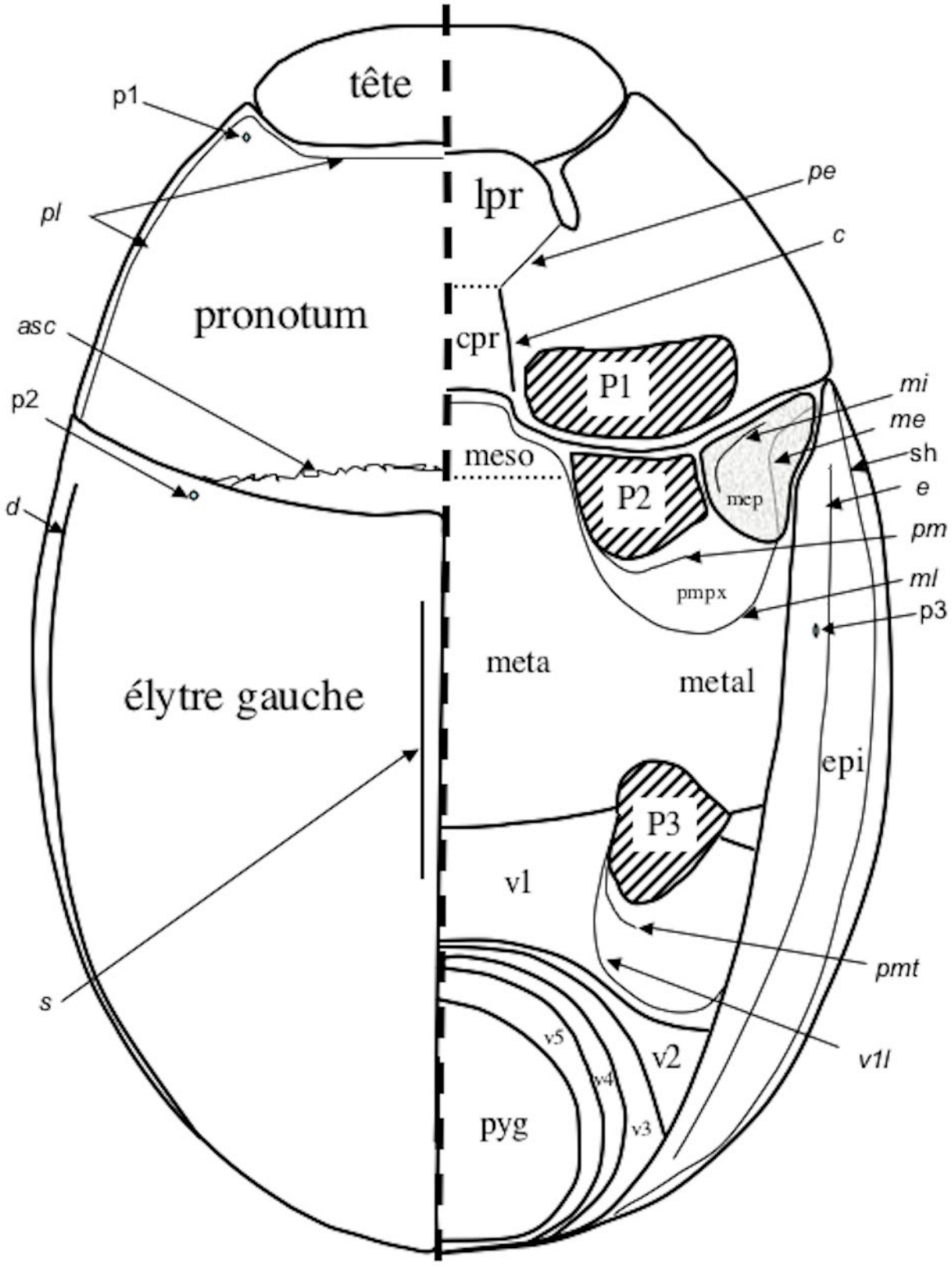

Fig. **2**. Habitus schématique dorsal (à gauche) et ventral (à droite) du genre *Bacanius* J.L. Le Conte et terminologie morphologique utilisée.

lpr: lobe prosternal ; **cpr** : carène prosternale ; **meso** : mésoventrite ; **meta** : métaventrite ; **metal** : métaventrite latéral ; **epi** : épipleure élytral ; **v1** à **v5** : ventrites abdominaux 1 à 5 ; **pyg** : pygidium ; **mep** : mésépimère ; **pmpx** : plaque méso-postcoxale ; **P1** à **P3** : pro-, méso- et métacoxa ; **p1** à **p3** : pores pronotal, élytral basal et épipleural ; **stries** : ***pl*** *:* pronotale marginale, ***asc*** *:* pronotale basale, ***s*** *:* suturale, ***d*** *:* élytrale dorsale, ***sh*** *:* élytrale subhumérale, ***e*** *:* épipleurale, ***pe*** *:* prosternale latérale, ***c*** *:* carénale, ***mi*** *:* mésépimérale interne, ***me*** *:* mésépimérale externe, ***pm*** *:* méso-postcoxale, ***ml*** *:* métaventrale latérale, ***pmt*** *:* méta-postcoxale, ***v1l*** *:* latérale du ventrite abdominal 1.

Clé tabulaire d'identification des genres néarctiques et néotropicaux de *Bacaniini*

Caractères	Etats des caractères	*Bacanius* (s. str.)	*Abraeomorphus atomarius*	*Geocolus caecus*	*Troglobacanius*	*Degallierister*	*Mullerister rombophorus*
Longueur (pronotum + élytres)	mm	0,64-1,25	0,87	1,26-1,31	1,36-1,9	0,85-1,44	1,25
Ligne de points antéscutellaire distincts							
- présente - absente	1 2	1 2	1	2	1 2	1 2	1
Mésoventrite							
- avec une rangée de sulci ou points allongés - sans rangée de sulci	1 2	1 2	1	2	2	2	2
Pore aux angles antérieurs du pronotum							
- allongé - indistinct, arrondi ou ovale	1 2	2	2	1	2	2	2
Lobe prosternal							
- avec une striation longitudinale irrégulière - non strié longitudinalement	1 2	1 2	2	2	1 2	2	2
Strie élytrale suturale							
- présente, simple - présente, constituée de tubercules alignés - absente	1 2 3	1 3	3	3	2 3	2	3
Moitié externe des élytres							
- avec une seule strie - avec deux stries	1 2	1 2	1	1	1 2	1	2
Strie subhumérale ou marginale des élytres							
- complète - raccourcie	1 2	1 2	1	1	2	1 2	1
Yeux							
- présents - absent ou réduits	1 2	1 2	1	2	2	1	1
Codes		**(1,2)(1,2)2(1,2)(1,3)(1,2)(1,2)(1,2)**	**11223111**	**22123112**	**(1,2)22(1,2)(2,3)(1,2)22**	**(1,2)22221(1,2)1**	**12223211**

Clé d'identification des espèces néarctiques et néotropicales de *Bacaniini*, exceptés celles des genres *Abraeomorphus*, *Geocolus*, *Degallierister* et *Mullerister* *

1. Yeux absents ou réduits à quelques ommatidies (deux espèces aveugles apparaissent aussi dans l'alternative suivante, du fait de la difficulté d'observation de ce caractère) **2**

— Yeux généralement présents, modes de vie variés, jamais cavernicole **7**

2(**1**). Longueur (pronotum + élytres) < 1,25 mm **3**

— Longueur (pronotum + élytres) > 1,3 mm ; pore aux angles antérieurs du pronotum indistinct, arrondi ou ovale ; corps moins de 1,5 fois aussi long que large ; ongles aplatis et lancéolés ; Mexique; ***Troglobacanius*** **4**

3(**2**). Longueur (pronotum + élytres) < 0,95 mm ; mésoventrite sans rangée de sulci ; ponctuation dorsale briévement sétigère . . . . . ***Bacanius acuminatus*** Casey, 1893

— Longueur (pronotum + élytres) > 0,95 mm ; mésoventrite avec une rangée de sulci ou points allongés ; ponctuation dorsale simple, non sétigère . . . . . ***Bacanius gomyi*** Yélamos, 1996

4(**2**). Strie élytrale suturale présente, formée de petits tubercules **5**

— Strie élytrale suturale absente **6**

5(**4**). Strie élytrale suturale atteignant le milieu de l'élytre . . . . . ***Troglobacanius reddelli*** Vomero, 1973

— Strie élytrale suturale n'atteignant pas le milieu de l'élytre . . . . . ***Troglobacanius maya*** Vomero, 1973

6(**4**). Marge pronotale antérieure derrière la tête droite ou convexe, non bisinuée . . . . . ***Troglobacanius sbordonii*** Vomero, 1973

— Marge pronotale antérieure bisinuée derrière la tête . . . . . ***Troglobacanius bolivari*** Vomero, 1973

7(**1**). Mésoventrite sans strie ou rangée de sulci **8**

— Mésoventrite avec une rangée de sulci ou points allongés **29**

8(**7**). Disque métaventral sans fine carène médiane apicale ou tubercule allongé **9**

— Disque métaventral avec une fine carène médiane apicale ou un tubercule allongé **27**

9(**8**). Lobe prosternal avec une striation longitudinale irrégulière **10**

— Lobe prosternal ponctué ou pointillé, sans striation longitudinale irrégulière **16**

10(**9**). Moitié externe des élytres avec une strie dorsale et une strie subhumérale (marginale) **11**

— Moitié externe des élytres avec une seule strie (dorsale, subhumérale ou marginale) **15**

11(**10**). Stries dorsale et subhumérale au moins deux fois plus distantes à la base qu'à l'apex ; épipleure avec un pore situé au niveau du quart basal et ventralement à la strie subhumérale ; suture méso-métaventrale invisible **12**

— Stries dorsale et subhumérale parallèles ou s'éloignant à la base de moins de deux fois de leur distance apicale ; épipleure sans pore distinct ; suture méso-métaventrale visible **13**

12(**11**). Mésoventrite avec la strie marginale arrondie latéralement à sa jonction avec la strie métaventrale latérale ; mésépimère à la strie externe angulée ou fortement recourbée ; strie marginale du pronotum rapprochée du bord en avant de moins de 0,018 mm; élytres ponctués . . . . . ***Bacanius convergens*** Schmidt,1896

— Mésoventrite avec la strie marginale marquant un angle net avec la strie métaventrale latérale ; mésépimère à la strie externe droite ou faiblement recourbée ; strie marginale du pronotum nettement éloignée du bord en avant, d'au moins 0,018 mm; élytres pointillés . . . . . ***Bacanius humicola*** Marseul, 1856

13(**11**). Ponctuation dorsale multiple, composée de points disposés en pentagone ou en hexagone ; mésépimère avec la strie externe droite ou faiblement recourbée ; corps (rapport de la longueur sur la largeur) 1 à 1,25 fois aussi long que large ; front alutacé entre les points . . . . . ***Bacanius wenzeli*** Degallier, Kovarik, Tishechkin & Vomero **nov**. **sp**.

— Ponctuation dorsale simple ; mésépimère avec la strie externe angulée ou fortement recourbée ; corps (rapport de la longueur sur la largeur) 1,25 à 1,5 fois aussi long que large ; front lisse entre les points **14**

14(**13**). Ponctuation dorsale non sétigère ; yeux bien développés ; ponctuation du clypeus au plus aussi grosse que celle du front ; Ponctuation pronotale plus grosse sur le disque que sur les bords . . . . . ***Bacanius crenulatus*** Wenzel, 1944

— Ponctuation dorsale briévement sétigère ; yeux absents ou réduits à quelques ommatidies ; ponctuation du clypeus plus grosse que celle du front ; ponctuation pronotale uniforme . . . . . ***Bacanius acuminatus*** Casey, 1893

15(**10**). Ligne de points distincts à la base du pronotum présente ; strie élytrale suturale absente; yeux absents ou réduits à quelques ommatidies ; front lisse entre les points . . . . . ***Bacanius andersoni*** Degallier & Kovarik **nov**. **sp**.

— Ligne de points distincts à la base du pronotum absente ; strie élytrale suturale présente; yeux bien développés ; front microstrié entre les points . . . . . ***Bacanius lissosternum*** (Degallier, 2015)

16(**9**). Ponctuation élytrale non reliée par des sillons ; front lisse entre les points; strie dorsale des élytres non recourbée le long de la base ; ponctuation de l'apex des élytres non striolée **17**

— Ponctuation élytrale reliée par des sillons (striolée) ; front microstrié entre les points; strie dorsale des élytres recourbée en direction de la suture ; ponctuation de l'apex des élytres striolée **26**

17(**16**). Stries élytrales dorsale et subhumérale au moins deux fois plus distantes à la base qu'à l'apex **18**

— Stries élytrales dorsale et subhumérale parallèles ou s'éloignant à la base de moins de deux fois de leur distance apicale **24**

18(**17**). Disque métaventral sans rangée longitudinale de points distincte ; strie élytrale suturale absente **19**

— Disque métaventral avec deux rangées longitudinales de points distinctes latéralement ; strie élytrale suturale présente . . . . . ***Bacanius irlanda*** Mazur & Sawoniewicz, 2008

19(**18**). Mésépimère imponctué ; métaventrite latéral sans strie méso-postcoxale **20**

— Mésépimère ponctué ; métaventrite latéral avec une strie méso-postcoxale **21**

20(**19**). Ponctuation dorsale non sétigère; ponctuation du clypeus plus grosse que celle du front ; strie marginale du pronotum non crénelée en avant ; disque méso-métaventral lisse ou pointillé, le diamètre des points inférieur ou égal à 0,009 mm . . . . . ***Bacanius montanus*** Mazur & Sawoniewicz, 2008

— Ponctuation dorsale brièvement sétigère ; ponctuation du clypeus au plus aussi grosse que celle du front; strie marginale du pronotum crénelée ou ponctuée en avant ; disque méso-métaventral ponctué, le diamètre des points supérieur à 0,01 mm . . . . . ***Bacanius misellus*** J.L. LeConte, 1853

21(**19**). Mésépimère sans strie coudée interne (ventrale) ; strie dorsale non recourbée le long de la base où elle est entière quoique pouvant devenir très fine en avant ; strie dorsale des élytres atteignant l'angle sutural en arrière ; mésoventrite sans ligne de points plus gros en avant **22**

— Mésépimère avec une strie coudée ou arrondie interne (ventrale) ; strie dorsale non recourbée le long de la base où elle est raccourcie ; strie dorsale des élytres n'atteignant pas l'angle sutural en arrière ; mésoventrite avec une ligne transversale de points plus gros en avant . . . . . ***Bacanius neoponerae*** Degallier & Gomy, 2023

22(**21**). Ponctuation du clypeus au plus aussi grosse que celle du front ; ponctuation pronotale aux rebords mal délimités ; stries prosternales parallèles en avant et en arrière **23**

— Ponctuation du clypeus plusgrosse que celle du front ; ponctuation pronotale aux rebords bien marqués ; stries prosternales convergentes en avant et divergentes en arrière . . . . . ***Bacanius debilitans*** Casey, 1893

23(**22**). Elytres avec un pore vers le tiers externe de la base ; ponctuation élytrale uniforme; pygidium ponctué comme les élytres ; lobe prosternal émarginé au milieu en avant . . . . . ***Bacanius ferrugineus*** Bickhardt, 1918

— Elytres avec un pore vers le milieu de la base ; ponctuation élytrale plus forte le long de la suture sur la moitié basale ; pygidium ponctué plus fortement que les élytres ; lobe prosternal non émarginé en avant . . . . . ***Bacanius subcarinatus*** Wenzel & Dybas, 1941

24(**17**). Ligne de points distincts à la base du pronotum présente ; strie élytrale suturale présente ; pronotum à ponctuation moins grosse sur le disque que sur les bords ; strie marginale du pronotum crénelée ou ponctuée en avant . . . . . ***Bacanius parenthesis*** (Degallier, 2015)

— Ligne de points distincts à la base du pronotum absente ; strie élytrale suturale absente ; pronotum à ponctuation uniforme; strie marginale du pronotum non crénelée en avant **25**

25(**24**). Mésépimère sans strie externe (dorsale), avec une strie coudée ou arrondie interne (ventrale) ; élytres avec un pore vers le quart externe de la base ; ponctuation du clypeus plus grosse que celle du front . . . . . ***Bacanius pusillus*** Wenzel, 1944

— Mésépimère avec une strie externe (dorsale), sans strie coudée interne (ventrale) ; élytres sans pore prébasal visible ; ponctuation du clypeus au plus aussi grosse que celle du front . . . . . ***Bacanius tantillus*** J.L. Le Conte, 1853

26(**16**). Pronotum à ponctuation non réunie par des sillons ; mésépimère avec la strie externe droite ou faiblement recourbée ; pronotum à ponctuation moins grosse sur le disque que sur les bords ; strie marginale du pronotum crénelée ou ponctuée en avant . . . . . ***Bacanius punctiformis*** (J.L. Le Conte, 1853)

— Pronotum à ponctuation réunie par des sillons longitudinaux profonds sur toute sa surface ; mésépimère avec la strie externe angulée ou fortement recourbée ; pronotum à ponctuation uniforme ; strie marginale du pronotum non crénelée en avant . . . . . ***Bacanius scalptus*** Lewis,1888

27(**8**). Mésépimère sans strie externe (dorsale) ; stries élytrales dorsale et subhumérale parallèles ou s'éloignant à la base de moins de deux fois de leur distance apicale ; lobe prosternal avec une striation longitudinale irrégulière ; élytres avec un pore à l'angle huméral . . . . . ***Bacanius tlanchinol*** Degallier & Kovarik **nov**. **sp**.

— Mésépimère avec une strie externe (dorsale) ; stries élytrales dorsale et subhumérale au moins deux fois plus distantes à la base qu'à l'apex ; lobe prosternal ponctué ou pointillé, sans striation longitudinale irrégulière ; élytres sans pore prébasal visible **28**

28(**27**). Pronotum à ponctuation moins grosse sur le disque que sur les bords, les points aux rebords bien marqués ; ponctuation élytrale moins forte le long de la suture sur la moitié basale ; strie élytrale subhumérale (marginale) interrompue en deux tronçons formant un angle . . . . . ***Bacanius globulinus*** Casey, 1893

— Pronotum à ponctuation plus grosse sur le disque que sur les bords, les points aux rebords mal délimités ; ponctuation élytrale uniforme ; strie élytrale subhumérale (marginale) raccourcie de deux tiers postérieurs . . . . . ***Bacanius hatchi*** Wenzel, 1960

29(**7**). Mésépimère sans strie externe (dorsale) ; strie marginale du pronotum crénelée ou ponctuée en avant ; strie épipleurale présente ; stries prosternales divergentes en avant **30**

— Mésépimère avec une strie externe (dorsale) ; strie marginale du pronotum non crénelée en avant ; strie épipleurale absente ; stries prosternales parallèles en avant **31**

30(**29**). Ponctuation élytrale simple, non reliée par des sillons ; moitié externe des élytres avec une strie dorsale et une strie subhumérale (marginale) ; mésoventrite avec la strie marginale marquant un angle net avec la strie métaventrale latérale . . . . . ***Bacanius striatinotum*** Wenzel, 1944

— Ponctuation élytrale double, reliée par des sillons (striolée) ; moitié externe des élytres avec une seule strie (dorsale, subhumérale ou marginale) ; mésoventrite avec la strie marginale arrondie latéralement à sa jonction avec la strie métaventrale latérale . . . . . ***Bacanius andrei*** Gomy, 2001

31(**29**). Lobe prosternal avec une striation longitudinale irrégulière ; mésépimère ponctué, avec une strie coudée ou arrondie interne (ventrale) ; strie élytrale suturale présente . . . . . ***Bacanius sulcisternus*** Wenzel, 1944

— Lobe prosternal ponctué ou pointillé, sans striation longitudinale irrégulière ; mésépimère alutacé, sans strie coudée interne (ventrale) ; strie élytrale suturale absente . . . . . ***Bacanius gomyi*** Yelamos, 1996

* An english version of the key is available in Annex 2.

Abréviations utilisées

BRIO (Biosystematic Research Institute, Ottawa, Canada)
BME (R. M. Bohart Museum of Entomology, University of California, Davis, CA, USA)
BMNH (Natural History Museum, London, UK)
CAS (California Academy of Sciences, San Francisco, CA, USA)
CBB (Brian Baldwin Collection, Tuttle, Oklahoma, USA)
CHPK (Coll. d'Histérides Peter W. Kovarik, Columbus, OH USA)
CHTL (Coll. d'Histérides Tomáš Lackner, temporairement au ZSM Zoologische Staatssammlung München, Munich, Allemagne)
CHTY (Coll. d'Histérides Tomàs Yélamos, Barcelone, Espagne)
CHVV (Coll. d'Histérides Vincenzo Vomero, Rome, Italie)
CHYG (Coll. d'Histérides Yves Gomy, Nevers puis à la ZSM)
CPKN (Coll. Piet Kanaar au Musée "Naturalis", Leiden, Pays Bas)
CJML (Coll. Jean-Michel Lemaire, Nice, France)
CORU (Université Cornell, Ithaca, NY, USA)
CSCA (California State Collection of Arthropods, California Department of Food and Agriculture, Sacramento, CA, USA)
FIT (Flight intercept trap ou piège d'interception de vol)
FMNH (Field Museum of Natural History, Chicago IL, USA)
FSCA (Florida State Collection of Arthropods, Gainesville, FL, USA)
KUNHM (Snow Entomological Collection, Kansas University Biodiversity Institute, Lawrence, KS, USA)
MCZ (Museum of Comparative Zoology, Harvard University, Cambridge, MA, USA)
MEM (Mississippi Entomological Museum, Mississippi State University, Starkville, MS, USA)
MHNH (Museum d'Histoire Naturelle de Hongrie, Budapest, Hongrie)
MNB (Museum für Natürkunde, Berlin, Allemagne)
MNHN (Muséum National d'Histoire Naturelle, Paris, France)
MZSUR (Museo di Zoologia, Sapienza Università di Roma, Rome, Italie)
SBMNH (Santa Barbara Museum of Natural History, Santa Barbara, CA, USA)
TAMU (Texas A&M University Insect Collection, College Station, TX, USA)
USNM (National Museum of Natural History, Smithsonian Institution, Washington, DC, USA)
ZSM (Zoologische Staatssammlung München, Munich, Allemagne).

Résultats

Les *Bacanius* du Nouveau Monde du sous-genre *Gomyister* Mazur, 1984

Le sous-genre *Gomyister* Mazur, 1984 (nom de remplacement pour *Antongilus* Gomy, 1977, préoccupé par *Antongilus* Gomy, 1969) a été érigé pour inclure les espèces de *Bacanius* ayant la strie subhumérale (ou première dorsale des élytres) complète. Chez les espèces américaines de *Bacanius*, cette strie peut être entière ou plus ou moins raccourcie en avant et présente des intermédiaires entre une strie complète ou très peu raccourcie et un raccourcissement d'environ le tiers ou la moitié en avant, ces espèces restant très similaires par leurs autres caractères. Par ailleurs, ce sous-genre regroupe des espèces d'origines très diverses (néotropicales, africaines, malgaches, orientales etc.) et pour beaucoup différentes de son espèce-type (*Bacanius peyrierasi* Gomy, 1969 de Madagascar). Nous considérons que les espèces néotropicales de *Bacanius* ayant été rassemblées par Mazur (1984 ; 1997 ; 2011) dans le sous-genre *Gomyister* Mazur, 1984 devraient provisoirement être incluses dans les *Bacanius* (*s. str*.). Il s'ensuit les changements adoptés dans le présent travail :

B. (s. str.) acuminatus **nov**. **comb**. ;
B. (s. str.) debilitans **nov**. **comb**. ;
B. (s. str.) ferrugineus **nov**. **comb**. ;
B. (s. str.) gomyi **nov**. **comb**. ;
B. (s. str.) irlanda **nov**. **comb**. ;
B. (s. str.) misellus **nov**. **comb**. ;
B. (s. str.) montanus **nov**. **comb**. ;
B. (s. str.) subcarinatus **nov**. **comb**.

Redescription des espèces d'*Abraeomorphus* Reitter, *Bacanius* Le Conte, *Geocolus* Wenzel, *Mullerister* Cooman et *Troglobacanius* Vomero du Nouveau Monde, notes synonymiques sur quelques espèces des genres *Bacanius*, *Degallierister* Gomy et *Mullerister* et description de trois espèces nouvelles.

Abraeomorphus atomarius (Sharp, 1885)

(Fig. 3-7)

Bacanius atomarius Sharp *in* Blackburn & Sharp, 1885 : 128 ; Scott, 1908 : 510.
Bacanius (Neobacanius) atomarius Sharp : Gomy, 1969 : 73 ; 1978 : 91.
Abraeomorphus atomarius (Sharp) : Gomy, 1980 : 194 ; Yélamos, 1991 : Fig. 2, 4 ; Mazur, 2011 : 143.

Matériel-type. – Non étudié.

Habitus. – L = 0,87 mm ; l = 0,65 mm ; e = 0,47 mm ; L/l = 1,35 ; L/e = 1,84 (N = 1). Dessus du corps ponctué au moins sur le pronotum. Ponctuation non sétigère, double.

Tête. – Yeux bien développés. Front alutacé entre les points. Ponctuation du clypeus au plus aussi grosse que celle du front. Apex des mandibules non bifide.

Pronotum. – Ponctuation non réunie par des sillons, plus grosse sur le disque que sur les bords, d'environ 0,018 mm de diamètre, aux rebords bien marqués, distante de 0,5 à 1,5 diamètres sur le disque. Angles antérieurs sans pore distinct. Apex des mandibules non bifide. Marge antérieure derrière la tête droite ou peu convexe, non bisinuée. Ligne de points distincts à la base présente. Espace entre

Fig. **3**-**7**. *Abraeomorphus atomarius* (Sharp).

3. Habitus en vue dorsale. **4**. Détail de la région périscutellaire. **5**. Apex élytral. **6**. Habitus en vue ventrale. **7**. Habitus en vue latérale.

la ligne antéscutellaire de points et la base ponctué. Strie marginale rapprochée du bord en avant de moins de 0,018 mm, non crénelée.

Elytres. – Élytres ponctués, sans pore prébasal visible. Ponctuation non reliée par des sillons, plus grosse que celle du pronotum, plus forte le long de la suture sur la moitié basale. Disque sans strie transverse. Moitié externe des élytres avec seulement la strie subhumérale (marginale) qui est complète et sensiblement déplacée à l'extérieur de la marge élytrale. Élytres avec des traces de courtes stries de longueurs inégales. Strie suturale absente. Ponctuation de l'apex des élytres striolée. Strie épipleurale absente. Épipleure ponctué.

Pygidia. – Pygidium ponctué moins fortement que les élytres, avec les points arrondis, distants de 0,2 à 0,5 diamètres.

Sterna. – Lobe prosternal avec une strie marginale antérieure, non émarginé en avant, ponctué ou pointillé, sans striation longitudinale irrégulière. Stries prosternales divergentes en avant, parallèles en arrière. Carène prosternale ponctuée, plus large que longue. Mésoventrite avec une rangée de sulci ou points allongés, sans ligne de points plus gros en avant, avec la strie marginale arrondie latéralement à sa jonction avec la strie métaventrale latérale, en continuité avec la strie mésopostcoxale. Strie méso-métaventrale absente. Suture méso-métaventrale visible ou sa trace plus foncée droite. Disque méso-métaventral ponctué entièrement, le diamètre des points supérieur à 0,01 mm. Disque métaventral avec une zone médiane plus finement et densément ponctuée, sans rangée longitudinale de points distincte, sans fine carène médiane apicale ou tubercule allongé. Métaventrite latéral ponctué avec seulement une strie de chaque côté, sans strie méso-postcoxale. Aire méso-postcoxale ponctuée. Mésépimère alutacé et ponctué, sans strie coudée interne (ventrale), avec une strie externe (dorsale) angulée ou fortement recourbée. Métépimère ponctué. Premier ventrite abdominal à ponctuation au moins aussi grosse que celle du métaventrite latéral, ronde, sans rangée de points distincts de la ponctuation longeant la marge antérieure, avec une strie latérale régulièrement arrondie vers l'extérieur. Strie post-métacoxale absente.

Pattes. – Protibias à la marge apicale concave, alutacés sur leur face ventrale avec quatre denticules le long du bord externe. Protarses sans soies modifiées en massue ou allongées en plus des soies simples. Métatibias 0,27 fois aussi longs que le corps.

Distribution. – Régions zoogéographiques orientale, afrotropicale et Hawaï (Yélamos, 1991). **La Réunion**, Etang-Salé-Les-Bains, Parc départemental, tamisage *Agave* et terreau, 22.II.1972, Y. Gomy dét., 2 [CHND]. **Indonésie**, Sumatra, dét. Y. Gomy, 1 ; **Viêt-Nam** : Saigon, 12-1926 (= *B. cinctipectus* De Cooman), dét. Y. Gomy, 1 ; Bengkalis, 1885, Maindron, 6783 85, 1 ; Sumatra, tabacs, A. Grouvelle, dét. de Cooman & Y. Gomy, 4 [MNHN].

Bioécologie. – Dans matériaux végétaux en décomposition.

Remarques. – Le genre *Abraeomorphus* se distingue des autres genres de *Bacaniini* par la combinaison de caractères suivante (Tableau 1 ; Gomy, 1980 ; 1981 ; 1983 : Fig. 20b) : ponctuation double, strie antéscutellaire pronotale présente délimitant un espace basal ponctué, strie mésoventrale présente, lobe prosternal nettement échancré apicalement, absence de strie élytrale dorsale. Pour l'inclusion de cette espèce et de *Mullerister rombophorus* à cette étude, voir la discussion en fin d'article.

Bacanius acuminatus Casey, 1893

(Fig. 8-12)

Bacanius acuminatus Casey, 1893 : 561.
Bacanius acuminatus : Wenzel, 1944 : 102.
Bacanius (Gomyister) acuminatus Casey : Mazur, 1984 : 120 ; 2011 : 142.
Bacanius (Bacanius) acuminatus Casey, **nov**. **comb**.

Matériel-type. – Holotype (par indication) [USNM, Fig. 12] ; 1 ex. comparé au type par R.L. Wenzel [CHVV].

Habitus. – L = 0,98–1,25 mm ; l = 0,72–0,9 mm ; e = 0,54–0,65 mm ; L/l = 1,35–1,38 ; L/e = 1,81–1,9 (N = 2). Dessus du corps ponctué au moins sur le pronotum. Ponctuation brièvement sétigère, simple.

Tête. – Yeux absents ou réduits à quelques ommatidies. Front lisse entre les points. Ponctuation du clypeus plus grosse que celle du front et transversalement rugueuse. Apex des mandibules non bifide. Marge antérieure derrière la tête droite ou peu convexe, non bisinuée.

Pronotum. – Ponctuation non réunie par des sillons, uniforme, d'environ 0,009 mm de diamètre, aux rebords bien marqués, distante de 1,5 à 3 diamètres sur le disque. Marge antérieure derrière la tête droite ou peu convexe, non bisinuée. Angles antérieurs avec un pore distinct. Ligne de points distincts à la base absente. Strie marginale rapprochée du bord en avant de moins de 0,018 mm, non crénelée.

Elytres. – Élytres ponctués, sans pore prébasal visible. Ponctuation non reliée par des sillons mais faiblement ridulée entre les points, plus grosse que celle du pronotum, moins forte le long de la suture sur la moitié basale. Disque sans strie transverse. Moitié externe des élytres avec deux stries (dorsale et subhumérale ou marginale) parallèles ou s'éloignant à la base de moins de deux fois de leur distance apicale. Strie dorsale non recourbée le long de la base où elle est entière ou à peine raccourcie, atteignant l'apex et l'angle sutural en arrière en devenant plus fine. Strie subhumérale (marginale) complète, non réunie à la strie dorsale en arrière. Élytres sans stries basales supplémentaires. Strie suturale absente. Ponctuation de l'apex des élytres non striolée. Strie épipleurale présente, plus fortement sinuée que la subhumérale dans sa moitié antérieure, raccourcie en arrière. Épipleure ponctué, sans pore distinct.

Pygidia. – Pygidium ponctué moins fortement que les élytres, avec les points arrondis, distants de 1 à 2 diamètres.

Sterna. – Lobe prosternal avec une strie marginale antérieure, non émarginé en avant, avec une striation longitudinale irrégulière courte. Stries prosternales parallèles en avant, divergentes en arrière. Carène prosternale ponctuée, plus large que longue. Mésoventrite sans strie ou rangée de sulci, sans ligne de points plus gros en avant, avec la strie marginale marquant un angle net avec la strie métaventrale latérale, en continuité avec la strie mésopostcoxale. Strie méso-métaventrale absente. Suture méso-métaventrale visible ou sa trace plus foncée convexe vers l'arrière. Disque méso-métaventral ponctué entièrement, le diamètre des points supérieur à 0,01 mm. Disque métaventral sans rangée longitudinale de points distincte, sans fine carène médiane apicale ou tubercule allongé. Métaventrite latéral ponctué avec seulement une strie de chaque côté, sans strie méso-postcoxale. Aire méso-postcoxale ponctuée. Mésépimère ponctué sur sa moitié externe à la strie, sans strie coudée interne (ventrale), avec une strie externe (dorsale) angulée ou fortement recourbée. Premier ventrite abdominal à ponctuation plus fine que celle du métaventrite latéral, ronde, sans rangée de points distincts de la ponctuation longeant la marge antérieure, avec une strie latérale d'abord longitudinale puis coudée ou arrondie. Strie post-métacoxale absente.

Pattes. – Protibias avec un denticule le long du bord externe. Protarses avec des soies au moins aussi longues que la moitié du dernier article. Métatibias 0,29 fois aussi longs que le corps.

Distribution. – Région zoogéographique néarctique. **U.S.A.** : **California**, Alameda Co., Oakland Hills [37.8°N 122.2°W], 17-I-1954, J. R. Helfer Colr., R.L. Wenzel dét., 1 [CHVV] ; **Butte Co.,** 2 mi SW Nimshew [39.85°N 121.65°W], forest litter, 17.I.1979, D. S. Chandler, 1 [CSCA] ; *idem*, 20.VI. 1980, 2 [CSCA] ; **Contra Costa Co.,** Mount Diablo [37.9°N 121.9°W], rotten oak/oak litter, 15.II.1953, G. A. Marsh, 2 [CAS] ; Redwood Park [37.8°N 122.15°W], 28.V.1953, E. E. Gilbert, 8 [CAS] ; **Humboldt Co.**, Willow Creek [40.95°N 123.6°W], 15.III.1979, T. R. Haig, 1 [CSCA] ; **Los Angeles Co.,** Cold Creek Preserve at 34.085°N 118.6465°W, *Quercus* litter, 22.IV.2009, K. J. Hopp & M. Polihronakis, 1 [SBMNH] ; Pasadena [34.15°N 121.9°W], A. Fenyes, 3 [CAS] ; Peter Straus Ranch at 34.1115°N 118.7785°W, *Umbellularia/Quercus* litter, 29.IV.2009, K. J. Hopp, 1 [SBMNH] ; Santa Monica Mountains, Tuna Canyon [34.05°N 118.6°W], rotten sycamore stump, 2.III.1972, E. M. Fisher, 45 [CSCA] ; Santa Monica Mountains National Recreational Area, Castro Crest at 34.081°N 118.796°W, *Umbellularia* litter, 29.IV.2009, K. J. Hopp, 5 [SBMNH] ; Santa Monica Mountains National Recreational Area, Hume Road at 34.056°N 118.6435°W, *Heteromeles* litter, 30.III.2009, K. J. Hopp, 12 [SBMNH] ; Topanga State Park at 34.0975°N 118.585°W, *Heteromeles* / *Neotoma* litter, 8.II.2009, M. S. Caterino & K. J. Hopp, 3 [SBMNH] ; Topanga State Park, Santa Ynez Canyon at 34.081°N 118.5655°W, *Heteromeles/Quercus* litter, 16.III.2009, M. S. Caterino & K. J. Hopp, 2 [SBMNH] ; Topanga State Park, Santa Ynez Canyon at 34.0825°N 118.566°W, *Platanus* / *Quercus* litter, 30.III.2009, K. J. Hopp, 1 [SBMNH] ; Topanga State Park, Tuna Canyon at 34.057°N 118.602°W, *Umbellularia* litter, 30.III.2009, K. J. Hopp, 3 [SBMNH] ; **Monterey Co.,** Los Padres National Forest, Nathaniel Owens Memorial Redwood Grove at 35.836°N 121.391°W, 210 m, forest litter / rotten wood sifting, 19.II.2022, A. K. Tishechkin & I. M. Tishechkina, 11

8

10

11

9

12

Fig. **8**-**12**. *Bacanius acuminatus* Casey. Holotype.

8. Habitus en vue dorsale. **9**. Détail de l'avant-corps. **10**. Habitus en vue ventrale. **11**. Habitus en vue latérale. **12**. Etiquettes.

[CSCA] ; **Napa Co.,** R. L. Stivenson State Park, Mount St. Helena at 38.653°N 126.600°W, *Quercus* litter, 16.I.2007, M. S. Caterino & S.Chatzimanolis, 2 [SBMNH] ; **Santa Clara Co.,** Mount Madonna County Park [37.0°N 121.7°W], oak and laurel litter, 10.II.1980, D. S. Chandler, 1 [CSCA] ; 0.7 mi W Saratoga [37.55°N 122.05°W], berlesed from madrone crotch, 18.V.1976, S. C. Kuba, 1 [CSCA] ; Stephens Creek [39.3°N 122.0°W], forest litter, 2.2.VI.1957, R. O. Schuster, 2 [CSCA] ; **Santa Cruz Co.,** 3 mi N Santa Cruz [37.0°N 122.05°W], redwood litter, 8.VII.1999, J. F. Cornell, 1 [SBMNH] ; Santa Cruz Mountains, 7.5 mi S Los Gatos [37.1°N 121.95°W], 23.II.1963, M. Irwin & R. Westcott, 6 [CSCA] ; **Shasta Co.,** Silverthorne [40.65°N 122.4°W], 11.IV.-7.V.1974, T. R. Haig, 11 [CSCA] ; **Trinity Co.,** Del Loma [40.75°N 123.3°W], *Alnus* litter, 23.II.1978, T. R. Haig, 1 [CSCA]. **Oregon**: **Curry Co**., Siskiyou National Forest, 28 mi E Gold Beach [42.4°N 123.85°W], 180 m, '[under bark of?] fir', 10.III.1972, E. M. Benedict, 1 [CSCA].

Bioécologie. – Dans la litière ou les troncs pourris de diverses essences feuillues et la litière de petits mammifères.

Remarques. – Sous ce nom ont été réunis des exemplaires provenant d'habitats variés et de localités éloignées, du sud de l'Oregon au sud de la Californie. S'agissant d'insectes aveugles et surtout aptères, il est possible que plusieures entités taxonomiques aient été confondues sous ce nom d'espèce, nécessitant une étude approfondie qui sortirait cependant du cadre du présent travail.

Bacanius andersoni Degallier & Kovarik **nov**. **sp**.

(Fig. 13-20 ; 145)

ZooBank: https://zoobank.org/82A80EC6-C372-4C0C-BF93-D066B6CD9B0F

Localité-type. – Mexique (Oaxaca).

Holotype mâle : "MEXICO: Oaxaca, 19mi. S. Suchixtipec 4250' 12.VII.1987 R. S. Anderson; leaf litter" [15°58'14"N, 96°31'22"W, alt. 1295 m] [FSCA].

Paratype : 1 ex. probablement mâle, même provenance que l'holotype [MNHN].

Habitus. – L = 0,9 (0,93) 0,95 mm ; l = 0,71 (0,73) 0,75 mm ; e = 0,49–0,5 mm ; L/l = 1,27 ; L/e = 1,84 (1,87) 1,9 (N = 2). Dessus du corps ponctué au moins sur le pronotum. Ponctuation non sétigère, simple.

Tête. – Yeux absents ou réduits à quelques ommatidies. Front lisse entre les points. Ponctuation du clypeus au plus aussi grosse que celle du front. Apex des mandibules bifide.

Pronotum. – Ponctuation non réunie par des sillons, uniforme, d'environ 0,005 mm de diamètre, aux rebords mal délimités, distante de 3 à 5 diamètres sur le disque. Marge antérieure derrière la tête droite ou peu convexe, non bisinuée. Angles antérieurs avec un pore distinct. Ligne de points distincts à la base présente. Espace entre la ligne antéscutellaire de points et la base lisse. Strie marginale rapprochée du bord en avant de moins de 0,018 mm, très faiblement crénelée ou ponctuée.

Elytres. – Élytres ponctués avec un pore à l'angle huméral. Ponctuation non reliée par des sillons, plus grosse que celle du pronotum, uniforme. Disque sans strie transverse. Moitié externe des élytres avec une seule strie (dorsale, subhumérale ou marginale). Strie dorsale absente. Strie subhumérale (marginale) raccourcie à la base. Élytres avec des traces de courtes stries basales de longueurs inégales. Strie suturale absente. Ponctuation de l'apex non striolée. Strie épipleurale présente, interrompue en deux branches dont l'inférieure est raccourcie en avant. Épipleure imponctué ventralement à la strie épipleurale, sans pore distinct.

Pygidia. – Pygidium ponctué moins fortement que les élytres, avec les points étirés transversalement et disposés en cercles concentriques apicalement, distants de 1 à 3 diamètres.

Sterna. – Lobe prosternal avec une strie marginale antérieure, non émarginé en avant, avec une striation longitudinale irrégulière. Stries prosternales parallèles en avant et en arrière. Carène prosternale ponctuée, aussi large que longue. Mésoventrite sans strie ou rangée de sulci, sans ligne de points plus gros en avant mais uniformément garni de gros points distants de un à deux diamètres, avec la strie marginale marquant un angle net avec la strie métaventrale latérale, en continuité avec la strie mésopostcoxale. Strie méso-métaventrale absente. Suture méso-métaventrale visible ou sa trace plus foncée droite. Disque méso-métaventral ponctué, le diamètre des points supérieur à 0,01 mm. Disque métaventral sans impression longitudinale chez les mâles, sans zone médiane plus finement et densément ponctuée, sans rangée longitudinale de points distincte, sans fine carène médiane apicale ou tubercule allongé. Métaventrite latéral ponctué avec seulement une strie de chaque côté, avec une strie méso-postcoxale atteignant presque le mésépimère. Aire méso-postcoxale ponctuée. Mésépimère ponctué, sans strie coudée interne (ventrale), avec une strie externe (dorsale) droite ou faiblement recourbée et plus ou moins raccourcie ou fragmentée. Premier ventrite abdominal à ponctuation plus fine que celle du métaventrite latéral, ronde, sans rangée de points distincts de la ponctuation longeant la marge antérieure, avec une strie latérale régulièrement arrondie vers l'extérieur. Strie post-métacoxale présente, parallèle à la strie latérale.

Pattes. – Protarses chez le mâle avec des soies ventrales modifiées en ventouses sur les deuxième et troisième articles (une de ces soies est visible sur la figure 18). Métatibias 0,3 fois aussi longs que le corps.

Genitalia mâles. – Paramères de l'édéage séparés apicalement.

Distribution. – Région zoogéographique néotropicale : Mexique (Fig. 145).

Bioécologie. – Dans la litière de feuilles.

Derivatio nominis – Espèce nommée en hommage à son récolteur Robert S. Anderson, du Musée Canadien de la Nature à Ottawa, Canada.

Remarques. – L'espèce se distingue des autres *Bacanius* par la combinaison de caractères suivante : taille (pronotum + élytres) inférieure à 1 mm, rapport de la longueur sur la largeur entre 1,2 et 1,3, ponctuation dorsale simple, ligne de points présente à la base du pronotum, élytres avec un pore à l'angle huméral, avec une seule strie (dorsale ou marginale), sans strie transverse sur le disque, strie suturale absente, strie épipleurale présente, lobe prosternal avec une striation longitudinale irrégulière, mésoventrite sans strie ou rangée de sulci, mésépimère avec une strie externe coudée, disque métaventral sans tubercule pré-apical, sans concavité chez le mâle.

13

14

15

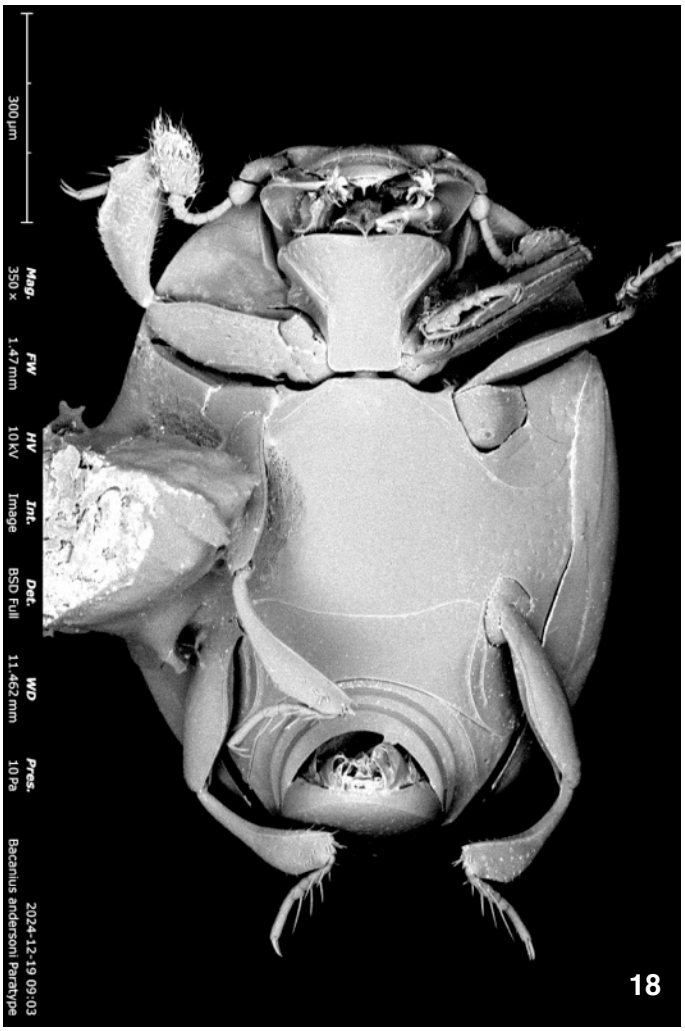

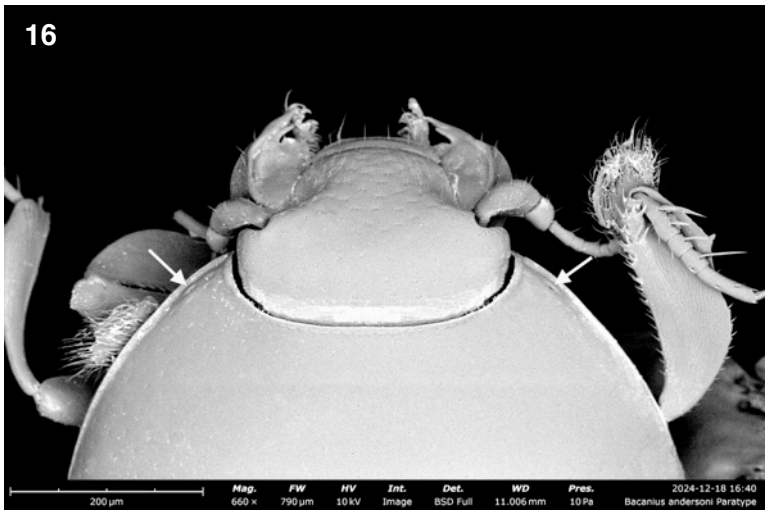

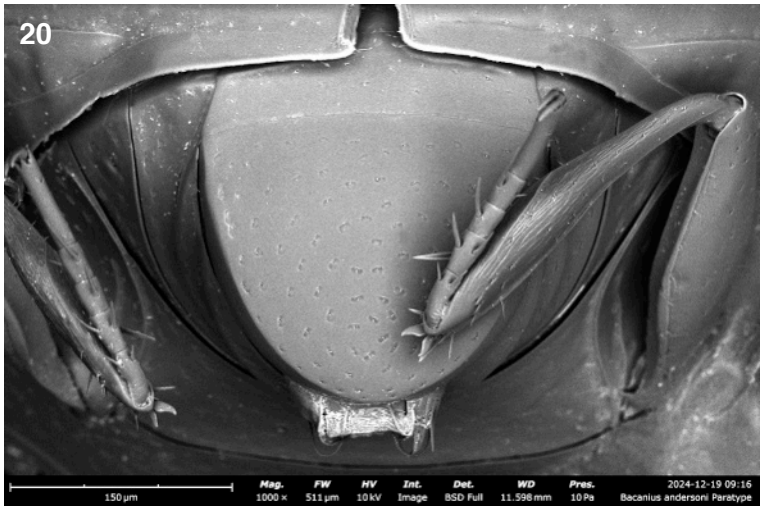

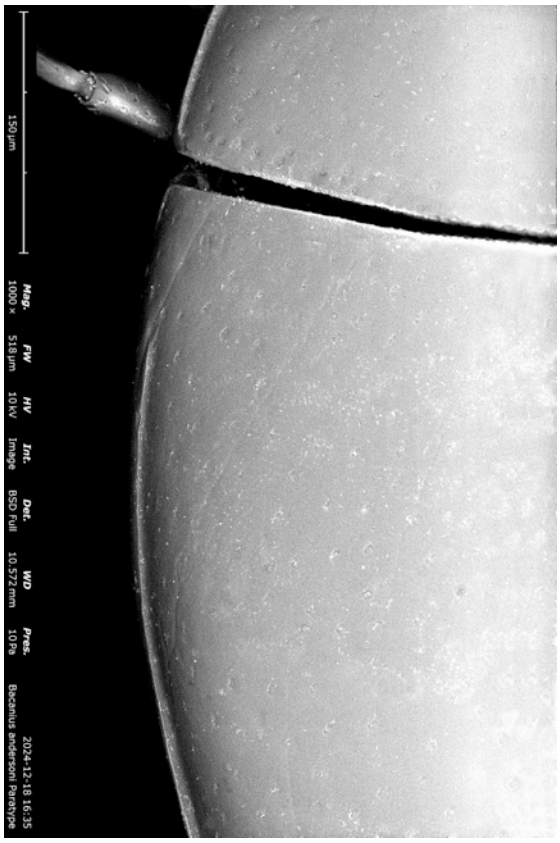

Fig. **13**-**20**. *Bacanius andersoni* **nov**. **sp**. Holotype.

13. Habitus en vue dorsale. **14**. Habitus en vue ventrale. **15**. Vue latérale. **16**. Détail de l'avant corps, les flèches indiquent les pores. **17**. Détail de la région humérale des élytres. **18**. Vue ventrale. **19**. Détail du métaventrite latéral. **20**. Pygidium.

Bacanius andrei Gomy, 2001

(Fig. 21-24)

Bacanius andrei Gomy, 2001 : 271.
Bacanius (Bacanius) andrei Gomy : Mazur, 2011 : 141.

Matériel-type. – Holotype femelle [ZSM].

Habitus. – L = 0,9 mm ; l = 0,72 mm ; e = 0,54 mm ; L/l = 1,25 ; L/e = 1,66 (N = 1). Dessus du corps ponctué au moins sur le pronotum. Ponctuation non sétigère ou brièvement sétigère, double.

Tête. – Yeux bien développés mais non proéminents. Front microstrié entre les points. Ponctuation du clypeus au plus aussi grosse que celle du front. Apex des mandibules non bifide.

Pronotum. – Ponctuation non réunie par des sillons, plus grosse sur le disque que sur les bords, distante de 1 à 2 diamètres sur le disque. Angles antérieurs avec un pore distinct. Ligne de points distincts à la base présente. Espace entre la ligne antéscutellaire de points et la base strié longitudinalement, les stries se prolongeant sur la base des élytres. Strie marginale rapprochée du bord en avant de moins de 0,018 mm, faiblement crénelée ou ponctuée.

Elytres. – Élytres ponctués avec un pore à l'angle huméral. Ponctuation reliée par des sillons (striolée) très fins, moins grosse que celle du pronotum, uniforme. Disque sans strie transverse. Moitié externe des élytres avec une seule strie (dorsale, subhumérale ou marginale). Strie dorsale non recourbée le long de la base où elle est entière ou à peine raccourcie, atteignant l'apex et l'angle sutural en arrière. Élytres avec des traces de courtes stries basales de longueurs inégales, la plus longue près de la suture. Strie suturale absente. Ponctuation de l'apex des élytres striolée. Strie épipleurale présente, interrompue, le tiers antérieur droit, le tronçon postérieur sinué et atteignant l'apex. Épipleure imponctué.

Pygidia. – Pygidium ponctué moins fortement que les élytres.

Sterna. – Lobe prosternal sans strie marginale antérieure, non émarginé en avant, avec une striation longitudinale irrégulière latéralement. Stries prosternales divergentes en avant, parallèles en arrière. Carène prosternale ponctuée, un peu plus large que longue. Mésoventrite avec une rangée de sulci ou points allongés, sans ligne de

22

23

21

24

Fig. 21-24. *Bacanius andrei* Gomy : Holotype.

21. Habitus en vue dorsale. **22**. Avant-corps. **23**. Habitus en vue ventrale. **24**. Détail de la région du métaventrite latéral et du mésépimère.

points plus gros en avant, en continuité avec la strie mésopostcoxale. Strie méso-métaventrale absente. Suture méso-métaventrale à peine visible ou sa trace plus foncée faiblement convexe vers l'arrière. Disque méso-métaventral lisse ou pointillé, le diamètre des points inférieur ou égal à 0,009 mm. Disque métaventral ponctué de points allongés striiformes, sans zone médiane plus finement et densément ponctuée, sans rangée longitudinale de points distincte, sans fine carène médiane apicale ou tubercule allongé. Métaventrite latéral ponctué, avec seulement une strie de chaque côté, et une strie méso-postcoxale droite. Aire méso-postcoxale ponctuée. Mésépimère ponctué, sans strie coudée interne (ventrale), sans strie externe (dorsale). Premier ventrite abdominal à ponctuation plus fine que celle du métaventrite latéral, étirée transversalement et striiforme, avec une strie latérale.

Pattes. – Protibias avec un denticule le long du bord externe. Protarses sans soies modifiées en massue ou allongées en plus des soies simples.

Distribution. – Région zoogéographique néotropicale (Nicaragua, nouveau pour le Costa Rica et le Panama). **Costa Rica** : **Heredia**, La Selva Biological Station, 10°26'N 84°01'W, 50-150 m, IV.1993, INBio-OET, 1 [CSCA]. **Panama** : **Colón**, San Lorenzo Forest, STRI Canopy Crane Site, 9°17'N 79°58'W, FIT, ground level, 22-23.IX.2003, A. K. Tishechkin, 1 [CSCA] ; same locality, method and collector, but 13-14.X.2003, 1 [CSCA] ; same locality, method and collector, but 24-25.V.2004, 1 [CSCA] ; same locality, UV trap, ground level, 30.IX.2003, R. Kitching, 1 [CSCA] ; same locality, method and collector, but 23.X.2003, 1 [CSCA].

Bioécologie. – FIT en forêt pluviale en grande partie primaire, éventuellement attiré par la lumière ultra-violette.

Remarques. – Cette espèce est la seule actuellement connue qui montre l'espace basal du pronotum et la base des élytres longitudinalement parcourus de nombreuses et fines stries irrégulières.

Bacanius convergens Schmidt, 1896

(Fig. 25-32)

Bacanius convergens Schmidt, 1896 : 65.
Bacanius convergens : classé dans les Abraeinae par Wenzel & Dybas, 1941 : 438.
Bacanius (Bacanius) convergens Schmidt : Mazur, 2011 : 141.

Matériel-type. – Schmidt (1896 : 65-66) ne précise pas le nombre d'exemplaires ayant servi à sa description et pour éviter des confusions d'espèces similaires dans une série typique (CINZ, 1999 : Art. 74.7.), nous désignons comme Lectotype (présente désignation) l'exemplaire étiqueté comme sur la Fig. 32 [MNB] et représenté par les Fig. 30-31.

Habitus. – L = 0,96 (1,07) 1,15 mm ; l = 0,73 (0,82) 0,89 mm ; e = 0,53 (0,59) 0,64 mm ; L/l = 1,26 (1,3) 1,38 ; L/e = 1,74 (1,81) 1,88 (N = 15). Dessus du corps ponctué au moins sur le pronotum. Ponctuation non sétigère, simple.

Tête. – Yeux bien développés. Front lisse entre les points. Ponctuation du clypeus plus grosse que celle du front. Apex des mandibules bifide.

Pronotum. – Ponctuation non réunie par des sillons, uniforme, d'environ 0,009 mm de diamètre, aux rebords mal délimités, distante de 2 à 3 diamètres sur le disque. Angles antérieurs avec un pore distinct. Marge antérieure derrière la tête droite ou peu convexe, non bisinuée. Ligne de points distincts à la base absente. Strie marginale rapprochée du bord en avant de moins de 0,018 mm, crénelée ou ponctuée.

Elytres. – Élytres ponctués, avec un pore vers le milieu de la base, situé à 63-66 % de la largeur basale de l'élytre depuis la suture. Ponctuation non reliée par des sillons, moins grosse que celle du pronotum, uniforme. Disque sans strie transverse. Moitié externe des élytres avec deux stries (dorsale et subhumérale ou marginale) au moins deux fois plus distantes à la base qu'à l'apex. Strie dorsale non recourbée le long de la base, nettement carénée où elle est raccourcie de son quart antérieur, atteignant l'apex et l'angle sutural en arrière. Strie subhumérale (marginale) complète, réunie à la strie dorsale en arrière. Élytres sans stries basales supplémentaires. Strie suturale absente. Ponctuation de l'apex des élytres non striolée. Strie épipleurale présente, raccourcie aux deux extrémités. Épipleure imponctué, avec un pore situé au niveau du quart basal et ventralement à la strie subhumérale.

25

26

27

Fig. **25-27**. *Bacanius convergens* Schmidt.

25. Habitus en vue dorsale. **26**. Avant corps. **27**. Habitus en vue ventrale.

28

29

31

30

32

Fig. **28**-**32**. *Bacanius convergens* Schmidt.

28. Détail des sterna. **29**. Vue latérale. **30**. Lectotype, 3/4 dorsal. **31**. Lectotype, vue latérale. **32**. Etiquettes du Lectotype.

Pygidia. – Pygidium ponctué plus fortement que les élytres, avec les points arrondis, distants de 2 à 3 diamètres.

Sterna. – Lobe prosternal avec une strie marginale antérieure, non émarginé en avant, avec une striation longitudinale irrégulière. Stries prosternales faiblement convergentes en avant, faiblement divergentes en arrière. Carène prosternale lisse sur sa moitié postérieure, avec de courts sillons longitudinaux en avant, plus large que longue. Mésoventrite sans strie ou rangée de sulci, sans ligne de points plus gros en avant, avec la strie marginale arrondie latéralement à sa jonction avec la strie métaventrale latérale, en continuité avec la strie mésopostcoxale. Strie méso-métaventrale absente. Suture méso-métaventrale invisible. Disque méso-métaventral lisse ou pointillé, le diamètre des points inférieur ou égal à 0,009 mm. Disque métaventral sans rangée longitudinale de points distincte, sans fine carène médiane apicale ou tubercule allongé. Métaventrite latéral imponctué avec seulement une strie de chaque côté, avec une strie méso-postcoxale très courte et fine. Aire méso-postcoxale éparsement et finement ponctuée. Mésépimère imponctué, sans strie coudée interne (ventrale), avec une strie externe (dorsale) angulée ou fortement recourbée. Premier ventrite abdominal imponctué ou pointillé, sans rangée de points distincts de la ponctuation longeant la marge antérieure, avec une strie latérale régulièrement arrondie vers l'extérieur. Strie post-métacoxale présente, très courte.

Pattes. – Protibias alutacés sur leur face ventrale, avec un denticule le long du bord externe. Protarses sans soies modifiées en massue ou allongées en plus des soies simples. Métatibias 0,28 à 0,35 fois aussi longs que le corps.

Distribution. – Région zoogéographique néotropicale (Brésil : Rio de Janeiro, Rio Grande do Sul, Santa Catarina ; Bolivie). **Brésil** : **Rio de Janeiro**, Fry Coll. 1905.100, 5818, [det. B. *humicola* par R. Wenzel], 1, [BMNH] ; **Rio Grande do Sul**, Erechim, VII.1960, litter, leg. F. Plaumann, 4 [FMNH] ; **Santa Catarina**, Nova Teutonia, litter, 23.V. 1960, Fritz Plaumann leg., 5 [FMNH] ; *idem*, XII.1976, dét. S. Mazur, 10 [CHVV] ; *idem*, IV.1976, 1 [CHVV] ; *idem*, VII.1977, 1 [CHVV] ; *idem*, 20.IX.1957, F. Plaumann leg., det. R. Wenzel 1957, 1 [MNHN] ; *idem*, 18.IV.1954, 1 [MNHN].

Bioécologie. – Dans la litière.

Remarques. – Cette espèce n'est sans doute pas synonyme de *B. humicola* comme l'avait suggéré R.L. Wenzel (1954, *in litteris* ; Fig. 69 et voir *B. humicola*). Très ressemblante, elle s'en distingue cependant par les caractères suivants : strie épipleurale présente mais raccourcie en arrière du pore épipleural ; angle formé à la rencontre de la strie métaventrale latérale et de la strie mésépimérale presque aigu, ces deux stries presque alignées chez *B. humicola* ; portion latérale de la strie mésoventrale arrondie ou coudée (droite chez *B. humicola*), rejoignant la strie métaventrale latérale sans former d'angle net ; stries prosternales plus éloignées l'une de l'autre, légèrement arquées et moins convergentes en avant, droites et plus convergentes chez *B. humicola* ; ponctuation pygidiale distribuée irrégulièrement, moins dense chez *B. convergens* que chez *B. humicola*.

Bacanius crenulatus Wenzel, 1944

(Fig. 33-35)

Bacanius crenulatus Wenzel, 1944 : 100.
Bacanius (Bacanius) crenulatus Wenzel : Mazur, 2011 : 141.

Matériel-type. – Holotype [FMNH].

Habitus. – L = 0,92 mm ; l = 0,68 mm ; e = 0,52 mm ; L/l = 1,35 ; L/e = 1,77 (N = 1). Dessus du corps ponctué au moins sur le pronotum. Ponctuation non sétigère, simple.

Tête. – Yeux bien développés. Front lisse entre les points. Ponctuation du clypeus au plus aussi grosse que celle du front.

Pronotum. – Ponctuation non réunie par des sillons, plus grosse sur le disque que sur les bords, d'environ 0,004 mm de diamètre, aux rebords mal délimités, distante de 2 à 3 diamètres sur le disque. Angles antérieurs avec un pore distinct. Marge antérieure derrière la tête droite ou peu convexe, non bisinuée. Ligne de points distincts à la base absente. Strie marginale nettement éloignée du bord en avant, d'au moins 0,018 mm, crénelée ou ponctuée.

Elytres. – Élytres pointillés, avec un pore vers le milieu de la base. Situé à 55 % de la largeur basale de l'élytre depuis la suture. Ponctuation non reliée par des sillons, moins grosse que celle du pronotum, uniforme. Disque sans strie transverse. Moitié externe des élytres avec deux stries (dorsale et subhumérale ou marginale) parallèles ou s'éloignant à la base de moins de deux fois de leur distance apicale. Strie dorsale non recourbée le long de la base où elle est raccourcie d'un tiers, atteignant l'apex et l'angle sutural en arrière. Strie subhumérale (marginale) complète, réunie à la strie dorsale en arrière. Élytres sans stries basales supplémentaires. Strie suturale absente. Ponctuation de l'apex des élytres non striolée. Strie épipleurale absente ou réduite et très proche du rebord de l'épipleure en arrière. Épipleure imponctué, sans pore distinct.

Pygidia. – Pygidium pointillé comme les élytres, avec les points arrondis, distants de 2 à 3 diamètres.

Sterna. – Lobe prosternal avec une strie marginale antérieure, faiblement émarginé au milieu en avant, avec une striation longitudinale irrégulière. Stries prosternales convergentes en avant, divergentes en arrière. Carène prosternale pointillée, plus large que longue. Mésoventrite sans strie ou rangée de sulci, sans ligne de points plus gros en avant, avec la strie marginale marquant un angle net avec la strie métaventrale latérale, en continuité avec la strie mésopostcoxale. Strie méso-métaventrale absente. Suture méso-métaventrale visible ou sa trace plus foncée convexe vers l'arrière. Disque méso-métaventral lisse ou pointillé, le diamètre des points inférieur ou égal à 0,009 mm. Disque métaventral sans rangée longitudinale de points distincte, sans fine carène médiane apicale ou tubercule allongé. Métaventrite latéral ponctué, avec seulement une strie de chaque côté, sans strie méso-postcoxale. Mésépimère sans strie coudée interne (ventrale), avec une strie externe (dorsale) angulée ou fortement recourbée.

Pattes. – Protibias alutacés sur leur face ventrale, avec un denticule le long du bord externe. Métatibias 0,27 fois aussi longs que le corps.

Distribution. – Région zoogéographique néotropicale (Costa Rica, Reventazon, Limon). L'espèce ne semble pas avoir été reprise depuis sa description.

Bioécologie. – Dans nid de *Psarocolius montezuma* (Lesson, 1830) [Aves, Icteridae].

33

34

35

Fig. **33**-**35**. *Bacanius crenulatus* Wenzel, Holotype.

33. Habitus en vue dorsale. **34**. *Idem* en vue ventrale. **35**. *Idem* en vue latérale.

Remarques. – Dans la clé publiée par Wenzel (1944), *B. crenulatus* se trouve opposé à *B. rugisternus* dont il se distingue par des caractères relativement subjectifs ou variable (taille, ponctuation). Or, nous mettons plus loin *B. rugisternus* en synonymie avec *B. humicola*. *Bacanius crenulatus* serait-il donc également synonyme de *B. humicola*? *B. crenulatus* n'est malheureusement connu que par sa description originale et son holotype tandis que l'holotype de *B. humicola* n'a pas été retrouvé! Examinant le premier sans cependant le repréparer vu son état fragilisé, nous avons noté que plusieurs caractères de ses striations dorsale et ventrale sont identiques avec ceux observés chez des spécimens comparés au type de *B. humicola*. Du fait des incertitudes subsistant au sujet de l'identité de ces deux taxons, nous ne statuerons pas ici sur leur identité.

Bacanius debilitans Casey, 1893

(Fig. 36-41)

Bacanius debilitans Casey, 1893 : 560.
Bacanius (Gomyister) debilitans Casey : Mazur, 1984 : 120 ; 2011 : 142.
Bacanius (Bacanius) debilitans Casey, **nov**. **comb**.

Matériel-type. – Lectotype (présente désignation) [le nombre d'exemplaires n'est pas précisé dans la description originale] étiqueté : "Crescent City Fla. / debilitans Csy (manuscrit par Casey) / CASEY bequest 1925 / TYPE USNM 38491" [USNM] ; en 1950, un exemplaire étiqueté comme sur la figure 36 a été comparé au "type" par R.L. Wenzel [FMNH].

Habitus. – L = 0,75 (0,82) 0,89 mm ; l = 0,47 (0,6) 0,68 mm ; e = 0,42 (0,47) 0,51 mm ; L/l = 1,26 (1,36) 1,73 ; L/e = 1,61 (1,76) 1,92 (N = 30). Dessus du corps ponctué au moins sur le pronotum. Ponctuation brièvement sétigère, simple.

Tête. – Yeux bien développés. Front lisse entre les points. Ponctuation du clypeus plus grosse que celle du front. Apex des mandibules bifide.

Pronotum. – Ponctuation non réunie par des sillons, plus grosse sur le disque que sur les bords, d'environ 0,012 mm de diamètre, aux rebords bien marqués, distante de 1 à 1,5 diamètres sur le disque. Angles antérieurs avec un pore distinct. Marge antérieure derrière la tête droite ou peu convexe, non bisinuée. Ligne de points distincts à la base absente. Strie marginale rapprochée du bord en avant de moins de 0,018 mm, non crénelée.

Elytres. – Élytres ponctués avec un pore vers le tiers externe de la base, situé dans le prolongement de la strie à 83 % de la largeur basale de l'élytre depuis la suture. Ponctuation non reliée par des sillons, plus grosse que celle du pronotum, uniforme. Disque sans strie transverse. Moitié externe des élytres avec deux stries (dorsale et subhumérale ou marginale) au moins deux fois plus distantes à la base qu'à l'apex. Strie dorsale non recourbée le long de la base où elle est entière ou à peine raccourcie quoique pouvant devenir très fine en avant, atteignant l'apex et l'angle sutural en arrière. Strie subhumérale (marginale) complète, sinuée, non réunie à la strie dorsale en arrière. Élytres sans stries basales supplémentaires. Strie suturale absente. Ponctuation de l'apex des élytres non striolée. Strie épipleurale présente, entière. Épipleure imponctué, avec un pore situé au niveau du quart basal et ventralement à la strie subhumérale.

Pygidia. – Pygidium ponctué plus fortement que les élytres, avec les points arrondis et distants de 1 à 2 diamètres.

Fig. 36. *Bacanius debilitans* Casey, étiquettes d'un spécimen "comparé au type" par R. L. Wenzel.

Sterna. – Lobe prosternal avec une strie marginale antérieure très fine, non émarginé en avant, ponctué ou pointillé, sans striation longitudinale irrégulière. Stries prosternales convergentes en avant, divergentes en arrière. Carène prosternale ponctuée, plus large que longue. Mésoventrite sans strie ou rangée de sulci, sans ligne de points plus gros en avant, avec la strie marginale marquant un angle net avec la strie métaventrale latérale, en continuité avec la strie mésopostcoxale. Strie méso-métaventrale absente. Suture méso-métaventrale invisible ou sa trace plus foncée droite. Disque méso-métaventral entièrement ponctué, le diamètre des points supérieur à 0,01 mm. Disque métaventral sans zone médiane plus finement et densément ponctuée, sans rangée longitudinale de points distincte, sans fine carène médiane apicale ou tubercule allongé. Métaventrite latéral ponctué, sans stries; avec une strie méso-postcoxale. Aire méso-postcoxale ponctuée. Mésépimère ponctué dorsalement à la strie, sans strie coudée interne (ventrale), avec une strie externe (dorsale) angulée ou fortement recourbée. Premier ventrite abdominal à ponctuation au moins aussi grosse que celle du métaventrite latéral, ronde, avec une rangée de points distincts de la ponctuation longeant la marge antérieure, moins gros que ceux ornant le disque, avec une strie latérale régulièrement arrondie vers l'extérieur. Strie post-métacoxale absente.

Pattes. – Protibias ponctués sur leur face ventrale avec un denticule le long du bord externe. Protarses sans soies modifiées en massue ou allongées en plus des soies simples. Profémurs sans aire imponctuée microstriée ventralement. Métatibias 0,25 fois aussi longs que le corps.

Genitalia mâles. – Paramères de l'édéage incurvés ventralement à l'apex en crochet à angle droit, séparés apicalement sur 0,48 fois leur longueur, sans soies ventrales préapicales, avec des soies ventrales apicales.

Distribution. – Région zoogéographique néarctique et néotropicale (USA, Cuba : Wenzel, 1944). **USA** : **Alabama**, **Mobile Co.**, W. shore of Mobile Bay, 10 mi. S. of Mobile, under bark, 17-20.VIII.1949, H. Dybas coll., det. R. Wenzel 1957, 2 [CHVV, MNHN] ; **Dale Co**., Ft. Rucker Military Reserve [31°21'N; 85°40'W], stump litter Berlese extr., 12.IV.1995, R. Turnbow, 1 [CHPK] ; Level Plains, blacklight trap, 5-8.V.2015, R. Turnbow, det. A. K. Tishechkin, 1 [FSCA]. **California: Los Angeles Co**., Tuna Cyn., Sta. Monica Mts., rotten sycamore stump, 2.III.72, E.M. Fisher, det. Y. Gomy, ex. coll. D.S. Verity, 1[4] [CHYG]. **Florida** : **Alachua Co**., San Felasco Hammock Preserve State Park at 29.717°N 82.4594°W, 65 m, V-Flight intercept trap, 8-15.V.2021 and 10.IV.-29.V.2022, K. E. Schnepp, 9 [CSCA] ; *idem*, 29.717°N 82.4595°W, 21-30.IV.2022, 2 [CHND] ; Gainesville, organic debris from hollow tree, 24.XI. 1990, D. Dean, 1 [CHPK] ; Gainesville, 16.VII.1978, M. C. Thomas, det. A. K. Tishechkin, 1 [FSCA] ; **Highlands Co**., Highlands Hammock, 6 mi. W. of Sebring, 23-24.VIII.1949, Col. by Henry S. Dybas, 14 [FMNH] ; Parker Is. Baygall, SE Lake Placid, stage III & log litter, 13.XII.1973, FMHD#73-94 W. Suter, 2 [FMNH] ; **Leon Co.,** Tallahassee [30.45°N 84.3°W], X.1943, E. S. Ross, 1 [CAS] ; **Levy Co.**, 3.8 mi. SW. Archer [29º30'05"N; 82º34'21"W], leaf litter Berlese extr., 11.XI.1987, P. Skelley, 1 [CHPK] ; 7 mi. S Willaston on SR-21 [29°15'27"N, 82°53'35"W], organic debris from hollow turkey oak tree Berlese extr., 28.II.1988, P. Skelley, 2 [CHPK ; FSCA] ; **Marion Co**., Ocala, blacklight trap, 4.VIII.1977, M. C. Thomas, dét. A. K. Tishechkin, 1 [FSCA] ; *idem*, 25.VIII.1977, 2 [FSCA] ; **Miami-Dade Co.**, Paradise Key, Everglades Nat. Pk. WSW of Homestead, under bark, 24-25.VIII.1949, H. Dybas leg., det. R. Wenzel [MNHN : 2 ; FMNH : 12 ; MCZ : 2] ; same locality and collector, compared with type RLWenzel, 1950 [FMNH nr. 3815556] ; **Monroe Co,** upper Key Largo [25.25°N 80.3°W], v-flight intercept trap[5], 19.V.-11.VI.2018, K. E. Schnepp, 9 [CSCA] ; **Volusia Co**., SW Enterprise, Palmeto axilis and debris, 23.VIII.1965, H.R. Steeves, 1 mâle [Fig. 41 ; CHVV] ; 2 mi. SW Enterprise, Palmeto axilis and debris, 23.VIII.1965, H.R. Steeves, Jr., 3 [FMNH] ; Spring Hill, Pine bark, 18.XI.(année illisible), Liebeck coll., H. C. Fall Collection, B. debilitans Casey, 2 [MCZ]. **Georgia**: **Thomas Co**., Ty Ty Hammock nr. Jct. Metcalf & Springhill Rd. [30°42'00"N; 84°03'53"W], organic material from rotting *Fagus grandifolia* Berlese extr., 8.V.1997, P.W. Kovarik, 4 [CHPK] ; Florida [state only], 20.XI.1900, Rev. J. Schmitt, 3 [CSCA]. **Louisiana: West Feliciana Par.**, nr. Freeland, Feliciana Preserve at 30°47.4'N 91°15.3'W, Sante trap [Anonyme, 2000], canopy, 6-17.V.2008, C. E. Carlton, 1 [CSCA] ; **South Carolina**: **Barnwell Co.**, Savannah River Site [33.2°N 81.5°W], bottomland hardwood forest, emerged from rotten log, 8.V. 2007, M. D. Ulyshen, 1 [CSCA].

Bioécologie. – Sous écorces de pin, sur hêtre pourrissant, dans débris de palmier.

[4] Du fait de son origine géographique et de ses étiquettes identiques à une longue série de *B. acuminatus* citée plus haut [CSCA], ce spécimen n'est sans doute pas un *B. debilitans*.
[5] Voir Warner (2017) pour une description de ce type de piège

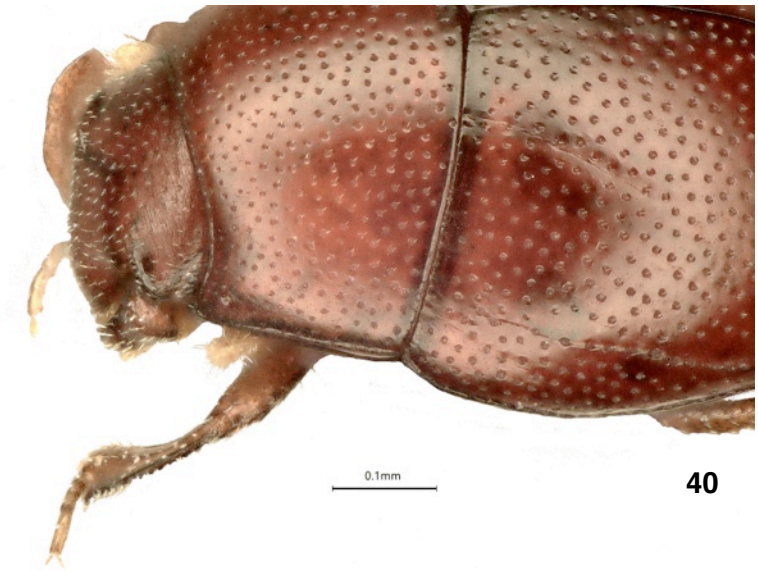

Fig. **37**-**41**. *Bacanius debilitans* Casey.

37. Habitus en vue dorsale. **38**. Habitus en vue ventrale. **39**. Vue latérale. **40**. Detail de la région humérale. **41**. édéage.

Bacanius ferrugineus Bickhardt, 1918

Bacanius ferrugineus Bickhardt, 1918 : 286.
Bacanius ferrugineus : classé dans les Abraeinae par Wenzel & Dybas, 1941 : 438.
Bacanius (Gomyister) ferrugineus Bickhardt : Mazur, 1984 : 120 ; 2011 :142 ; Degallier & Gomy, 2024 : 55 ; Fig. 6-15.
Bacanius (Bacanius) ferrugineus Bickhardt, **nov**. **comb**.

Matériel-type. – Cette espèce a été décrite sur une série-type de huit exemplaires étiquetés "Typen" (Bickhardt, 1918: 287) dont cinq ont pu être étudiés. L'un d'entre eux, déposé dans sa collection d'origine (MHNH), a reçu ultérieurement une étiquette "Holotype" et est accompagné d'une étiquette verte manuscrite probablement de la main de Bickhardt. Cet exemplaire a été désigné comme Lectotype par Degallier & Gomy (2024 : Fig. 6-11) et des Paralectotypes ont été déposés comme suit : 1 ex. au MNHN, 2 ex. au MHNH et 3 ex. au MNB.

Habitus. – L = 0,82 (0,91) 1,02 mm ; l = 0,62 (0,69) 0,75 mm ; e = 0,44 (0,47) 0,51 mm ; L/l = 1,27 (1,33) 1,44 ; L/e = 1,81 (1,93) 2,13 (N = 6). Dessus du corps ponctué au moins sur le pronotum. Ponctuation brièvement sétigère, simple.

Tête. – Yeux bien développés. Front lisse entre les points. Ponctuation du clypeus au plus aussi grosse que celle du front.

Pronotum. – Ponctuation non réunie par des sillons, plus grosse sur le disque que sur les bords, d'environ 0,009 mm de diamètre, aux rebords mal délimités, distante de 1,5 à 2 diamètres sur le disque. Angles antérieurs avec un pore distinct. Marge antérieure derrière la tête droite ou peu convexe, non bisinuée. Ligne de points distincts à la base absente. Strie marginale rapprochée du bord en avant de moins de 0,018 mm, non crénelée.

Elytres. – Élytres ponctués avec un pore vers le tiers externe de la base, situé à 78-81 % de la largeur basale de l'élytre depuis la suture. Ponctuation non reliée par des sillons, un peu plus grosse que celle du pronotum, uniforme. Disque sans strie transverse. Moitié externe des élytres avec deux stries (dorsale et subhumérale ou marginale) au moins deux fois plus distantes à la base qu'à l'apex. Strie dorsale non recourbée le long de la base où elle est entière ou à peine raccourcie, atteignant l'apex et l'angle sutural en arrière. Strie subhumérale (marginale) complète, non réunie à la strie dorsale en arrière. Élytres sans stries basales supplémentaires. Strie suturale absente. Ponctuation de l'apex des élytres non striolée. Strie épipleurale présente, entière. Épipleure imponctué, avec un pore situé au niveau du quart basal et ventralement à la strie subhumérale.

Pygidia. – Pygidium ponctué comme les élytres, avec les points arrondis distants de 1,5 à 2,5 diamètres.

Sterna. – Lobe prosternal avec une strie marginale antérieure, faiblement émarginé au milieu en avant, ponctué ou pointillé, sans striation longitudinale irrégulière. Stries prosternales parallèles en avant et en arrière. Carène prosternale ponctuée, plus large que longue. Mésoventrite sans strie ou rangée de sulci, sans ligne de points plus gros en avant, avec la strie marginale marquant un angle net avec la strie métaventrale latérale, en continuité avec la strie mésopostcoxale. Strie méso-métaventrale absente. Suture méso-métaventrale visible ou sa trace plus foncée convexe vers l'arrière. Disque méso-métaventral entièrement lisse ou pointillé, le diamètre des points inférieur ou égal à 0,009 mm. Disque métaventral sans zone médiane plus finement et densément ponctuée, sans rangée longitudinale de points distincte, sans fine carène médiane apicale ou tubercule allongé. Métaventrite latéral ponctué, avec seulement une strie de chaque côté et une strie méso-postcoxale. Aire méso-postcoxale ponctuée. Mésépimère ponctué, sans strie coudée interne (ventrale), avec une strie externe (dorsale) angulée ou fortement recourbée. Premier ventrite abdominal à ponctuation plus fine que celle du métaventrite latéral, ronde, avec une rangée de points distincts de la ponctuation longeant la marge antérieure et une strie latérale d'abord longitudinale puis coudée ou arrondie. Strie post-métacoxale absente.

Pattes. – Protibias à la marge apicale droite, ponctués sur leur face ventrale. Profémurs avec une aire imponctuée microstriée ventralement. Métatibias 0,28 fois aussi longs que le corps.

Bioécologie. – Aucune donnée n'est disponible sur le mode de vie de cette espèce connue que par des exemplaires anciens.

Distribution. – Région zoogéographique néotropicale (Guadeloupe). **Guadeloupe** : dét. J. Thérond, 4 ; *idem*, L. Dufau, 1 [CHVV] ; Guadeloupe, Peschet dedit, dét. N. Degallier, 1 [CHVV].

Bacanius globulinus Casey, 1893

(Fig. 42-51)

Bacanius globulinus Casey, 1893 : 560.
Bacanius (Bacanius) globulinus Casey : Mazur, 2011 : 141.

Matériel-type. – Espèce décrite d'après un nombre non précisé d'exemplaires et morphologiquement difficile à distinguer de plusieurs autres. Nous désignons donc comme lectotype (présente désignation) l'exemplaire mâle étiqueté selon la figure 42 et illustré par les Fig. 43 à 45 [USNM]. Paralectotypes : 1 femelle [USNM] ; 1 mâle, "Cal. / CASEY bequest 1925 / globulinus-4 PARATYPE USNM 38490" ; 1 mâle, "Siskiyou Co. CAL. / CASEY bequest 1925 / globulinus-5 PARATYPE USNM 38490" [USNM].

Habitus. – L = 0,96 (1,03) 1,09 mm ; l = 0,73 (0,79) 0,85 mm ; e = 0,53 (0,55) 0,58 mm ; L/l = 1,28 (1,3) 1,33 ; L/e = 1,83 (1,85) 1,88 (N = 2). Dessus du corps ponctué au moins sur le pronotum. Ponctuation brièvement sétigère (soies visibles à grossissement 10 X), simple.

Tête. – Yeux bien développés. Front lisse entre les points. Ponctuation du clypeus au plus aussi grosse que celle du front.

Pronotum. – Ponctuation non réunie par des sillons, moins grosse sur le disque que sur les bords, surtout sur la moitié basale, d'environ 0,009 à 0,012 mm de diamètre, aux rebords bien marqués, distante de 1 à 2,5 diamètres sur le disque. Angles antérieurs sans pore distinct. Marge antérieure derrière la tête droite ou peu convexe, non bisinuée. Ligne de points distincts à la base absente. Strie marginale rapprochée du bord en avant de moins de 0,018 mm, non crénelée.

Elytres. – Élytres ponctués, sans pore prébasal visible. Ponctuation non reliée par des sillons, plus grosse que celle du pronotum sur le disque des élytres, moins forte le long de la suture sur la moitié basale. Disque sans strie transverse. Moitié externe des élytres avec deux stries (dorsale et subhumérale ou marginale), au moins deux fois plus distantes à la base qu'à l'apex. Strie dorsale non recourbée le long de la base où elle est raccourcie environ du tiers de sa longueur, atteignant l'apex mais n'atteignant pas l'angle sutural en arrière. Strie subhumérale (marginale) interrompue en deux tronçons formant un angle, non réunie à la strie dorsale en arrière. Élytres avec des traces de courtes stries basales de longueurs inégales. Strie suturale absente. Ponctuation de l'apex des élytres non striolée. Strie épipleurale présente, entière. Épipleure ponctué, sans pore distinct.

Pygidia. – Pygidium ponctué; comme les élytres, avec les points arrondis, distants de 0,5 à 1 diamètres.

Sterna. – Lobe prosternal avec une strie marginale antérieure ponctuée, non émarginé en avant, ponctué ou pointillé, sans striation longitudinale irrégulière. Stries prosternales divergentes en avant et en arrière. Carène prosternale ponctuée, plus large que longue. Mésoventrite sans strie ou rangée de sulci, sans ligne de points plus gros en avant, avec la strie marginale marquant un angle net avec la strie métaventrale latérale, cet angle cependant très ouvert, en continuité avec la strie mésopostcoxale. Strie méso-métaventrale absente. Suture méso-métaventrale visible ou sa trace plus foncée droite. Disque méso-métaventral entièrement ponctué, le diamètre des points supérieur à 0,01 mm. Disque métaventral avec une zone médiane plus finement et densément ponctuée, sans rangée longitudinale de

42

43

44

45

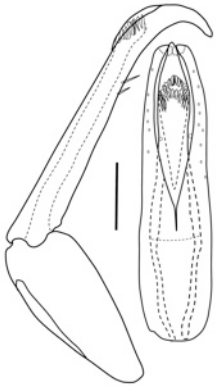

46

47

48

Fig. **42**-**48**. *Bacanius globulinus* Casey.

42. Lectotype mâle, étiquettes. **43**. *Idem*, habitus en vue dorsale. **44**. *Idem*, habitus en vue ventrale. **45**. *Idem*, vue latérale. **46**. *Idem*, genitalia mâles, vue latérale à gauche, vue dorsale à droite. **47**. Avant-corps. **48**. Femelle, habitus en vue ventrale.

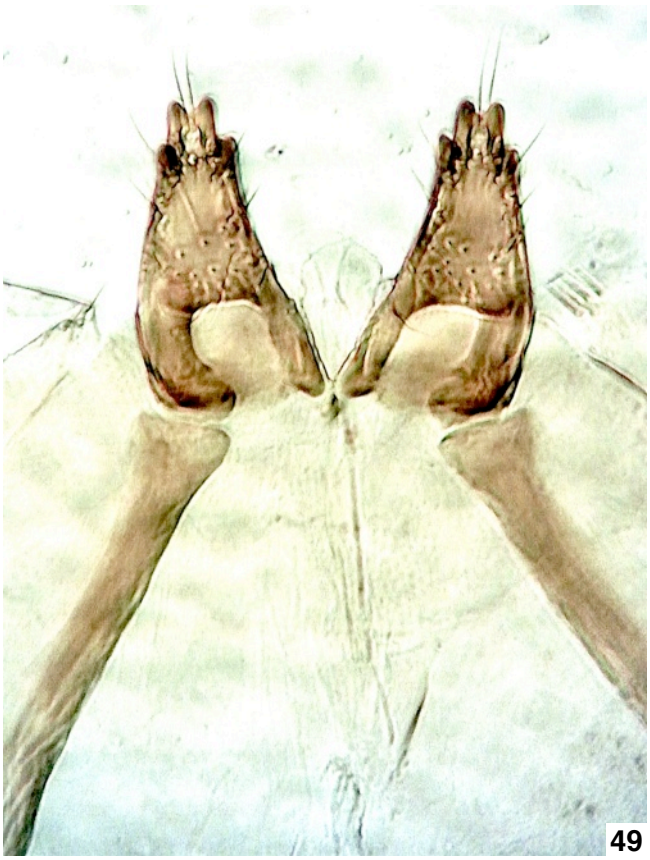

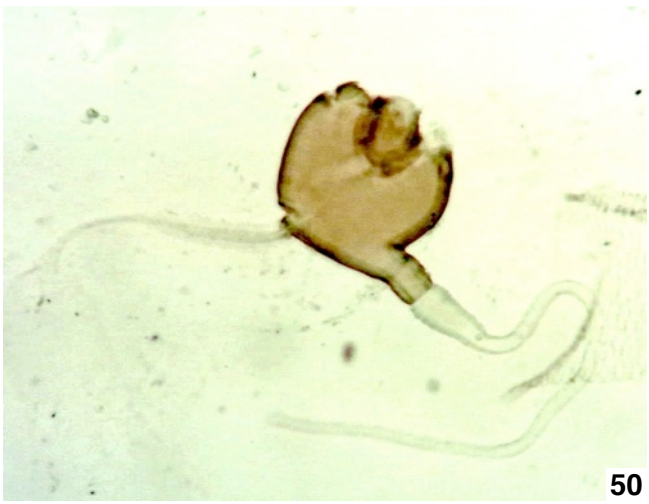

Fig. **49**-**51**. *Bacanius globulinus* Casey.

49. Paralectotype femelle, coxites en vue ventrale. **50**. *Idem*, spermathèque. **51**. *Idem*, contenu stomacal, conidies de champignon du genre *Pestalotia* DeNot.

points distincte, avec une fine carène médiane apicale ou un tubercule allongé. Disque métaventral chez le mâle concave sur tout le disque mais pas sur le mésoventrite. Métaventrite latéral ponctué, avec seulement une strie de chaque côté et une strie méso-postcoxale très courte. Aire méso-postcoxale ponctuée. Mésépimère ponctué, sans strie coudée interne (ventrale) mais avec une strie externe (dorsale) angulée ou fortement recourbée. Premier ventrite abdominal à ponctuation au moins aussi grosse que celle du métaventrite latéral, ronde, sans rangée de points distincts de la ponctuation longeant la marge antérieure, avec une strie latérale d'abord longitudinale puis coudée ou arrondie. Strie post-métacoxale présente.

Pattes. – Protibias avec trois denticules le long du bord externe. Protarses chez le mâle avec des ventouses ventrales sur les deuxième et troisième articles. Métatibias 0,29 fois aussi longs que le corps.

Genitalia mâles. – Paramères de l'édéage incurvés ventralement à l'apex en crochet à angle droit, 4,15 fois aussi longs que large ensemble, environ 1,56 fois aussi longs que la pièce basale, en vue dorsale sans élargissement préapical, séparés apicalement sur 0,55 fois leur longueur, avec des soies ventrales préapicales au nombre de 2 sur chaque paramère, sans soies ventrales apicales.

Genitalia femelles. – Coxites (valvifers) environ 1,9 fois aussi longs que larges, avec deux dents apicales et deux dents préapicales chacun.

Distribution. – Région zoogéographique néarctique. **USA: California**: **Butte Co.,** 5 mi NE Butte Meadows, Cherry Hill Campground [40.105°N 121.495°W], 7-9.V.1976, F. G. Andrews, 2 [CSCA] ; Feather Falls [39.6°N 121.25°W], 16.V.1971, D. S. Chandler, 2 [BME] ; **El Dorado Co.,** Uncle Toms [38.93°N 120.485°W], 5.IX.1971, F. G. Andrews, 2 [CSCA] ; *idem*, 2 [CHND] ; **Madera Co.,** Sugar Pine [37.45°N 119.65°W], A. Fenyes, 1 [CAS] ; **Nevada Co.,** Sagehen Creek, 39°26'N 120°14'W, 1920 m, with *Formica propinqua* Creighton, 16-18.VII.2006, A. Lucky, 1 [SBMNH] ; **Shasta Co.,** Castle Crag [41.15°N 122.3°W], VII, 3 [CAS] ; **Sierra Co.,** Yuba Pass [39.3°N 120.6°W], 26.VI.1985, F. G. Andrews & A. Hardy, 1 [CSCA] ; **Trinity Co.,** 10 mi W Hayfork [40.55°N 123.35°W], 23.IX.1967, H. G. Real, 1 [CAS].

Bioécologie. – Cette espèce semble se nourrir de conidies de champignon Sordariomycetes du genre *Pestalotia* De Not [syn. *Pestalozzia* De Not], mises en évidence par l'un de nous (VV) dans le tube digestif du paralectotype femelle désigné ci-dessus (Fig. 51) et identifiées par Bruno Cetto, mycologue italien (1921-1991). Ce mode d'alimentation par filtration de spores a aussi été signalé chez divers genres d'Histeridae par Kovarik & Caterino (2016). L'association éventuelle de l'espèce avec des nids de fourmis du genre *Formica* serait à confirmer.

Bacanius gomyi Yélamos, 1996

(Fig. 52)

Bacanius gomyi Yélamos, 1996 : 256, Fig. 1-6.
Bacanius (Gomyister) gomyi Yélamos : Mazur, 2001 : 29 ; 2011 : 143 ; Mazur & Sawoniewicz, 2008 : 74.
Bacanius (Bacanius) gomyi Yélamos, **nov**. **comb**.

Matériel-type. – 1 Paratype femelle [ZSM].

Habitus. – L = 0,75–0,88 mm ; l = 0,55–0,64 mm ; e = 0,47 mm ; L/l = 1,36–1,39 ; L/e = 1,85 (N = 3). Dessus du corps ponctué au moins sur le pronotum. Ponctuation non sétigère, simple.

Tête. – Yeux absents ou réduits à quelques ommatidies. Labre sétigère. Front lisse entre les points. Ponctuation du clypeus au plus aussi grosse que celle du front.

Pronotum. – Marge antérieure derrière la tête droite ou peu convexe, non bisinuée. Pronotum à ponctuation non réunie par des sillons, plus grosse sur le disque que sur les bords, d'environ 0,009 mm de diamètre, aux rebords bien marqués. Ponctuation distante de 3–4 diamètres sur le disque. Angles antérieurs avec un pore distinct. Ligne de points distincts à la base présente et limitée à des festons dans la partie médiane. Espace entre la ligne antéscutellaire de points et la base du pronotum très étroit ou nul. Strie marginale rapprochée du bord en avant de moins de 0,018 mm, non crénelée.

Elytres. – Ponctués, sans zone prébasale commune ponctuée différemment de part et d'autre de la suture, avec un pore à l'angle huméral, très proche de la base de la strie dorsale à l'extérieur. Ponctuation non reliée par des sillons, égale à celle du pronotum, uniforme. Disque sans strie transverse. Moitié externe avec une strie dorsale et une strie subhumérale (marginale) parallèles ou s'éloignant à la base de moins de deux fois de leur distance apicale. Strie dorsale non recourbée le long de la base où elle est entière ou à peine raccourcie, atteignant l'apex en

Fig. **52**. *Bacanius gomyi* Yélamos. Paratype, avant-corps en vue dorsale.

arrière mais pas l'angle sutural. Strie subhumérale (marginale) complète, réunie à la strie dorsale en arrière. Strie suturale absente. Ponctuation de l'apex non striolée. Strie épipleurale absente. Épipleure imponctué, avec un pore situé au niveau du quart basal et ventralement à la strie subhumérale.

Pygidia. – Pygidium lisse.

Sterna. – Lobe prosternal sans striation longitudinale irrégulière. Stries prosternales parallèles en avant et en arrière. Carène pointillée. Mésoventrite avec une rangée de sulci ou points allongés, sans ligne de points plus gros en avant, avec la strie marginale latéralement en continuité avec la strie mésopostcoxale. Suture méso-métaventrale visible ou sa trace plus foncée convexe vers l'arrière. Disque méso-métaventral lisse ou pointillé, le diamètre des points inférieur ou égal à 0,009 mm, sans impression longitudinale chez les mâles, sans rangée longitudinale de points distincte et sans fine carène médiane apicale ou tubercule allongé. Disque métaventral chez le mâle sans concavité. Métaventrite latéral avec seulement une strie de chaque côté; avec une strie méso-postcoxale recourbée à son extrémité externe. Aire méso-postcoxale alutacée. Mésépimère alutacé, sans strie coudée interne (ventrale), avec une strie externe (dorsale) droite ou faiblement recourbée. Premier ventrite abdominal imponctué ou pointillé comme le disque métasternal, sans rangée de points distincts de la ponctuation longeant la marge antérieure, avec une strie latérale.

Pattes. – Protibias à la marge apicale droite, avec 1 denticule(s) le long du bord externe. Métatibias 0,27 fois aussi longs que le corps.

Genitalia mâles. – Paramères de l'édéage incurvés ventralement à l'apex, en crochet à angle droit, 5,5 fois aussi longs que large ensemble, environ 2 fois aussi longs que la pièce basale, en vue dorsale sans élargissement préapical, réunis apicalement, sans soies ventrales préapicales et apicales.

Genitalia femelles. – Coxites (valvifers) environ 3 fois aussi longs que larges.

Distribution. – Région zoogéographique : néotropicale (Mexique : Xalapa). L'espèce ne semble pas avoir été reprise depuis sa description.

Bioécologie. – Dans de la terre végétale superficielle.

Bacanius hatchi Wenzel, 1960

(Fig. 53-59)

Bacanius hatchi Wenzel, 1960 : 454.
Bacanius (Bacanius) hatchi Wenzel : Hatch, 1962 : 269 ; Mazur, 2011 : 141.

Matériel-type. – 2 Paratypes [FMNH] ; 1 Paratype "Baring Wash" / "July" / "A. Fenyes Collection" / "Bacanius hatchi Wenzel Paratype" [CAS] (Fig. 53).

Habitus. – L = 0,93 (1,07) 1,18 mm ; l = 0,74 (0,81) 0,9 mm ; e = 0,55 (0,57) 0,6 mm ; L/l = 1,26 (1,32) 1,46 ; L/e = 1,7 (1,86) 1,97 (N = 6). Dessus du corps ponctué au moins sur le pronotum. Ponctuation brièvement sétigère, simple.

Tête. – Yeux bien développés. Front lisse entre les points. Ponctuation du clypeus au plus aussi grosse que celle du front.

Pronotum. – Ponctuation non réunie par des sillons, plus grosse sur le disque que sur les bords, d'environ 0,01 mm de diamètre, aux rebords mal délimités (mais profonde), distante de 1 à 2 diamètres sur le disque. Angles antérieurs avec un pore distinct. Marge antérieure derrière la tête droite ou peu convexe, non bisinuée. Ligne de points distincts à la base absente. Strie marginale rapprochée du bord en avant de moins de 0,018 mm, non crénelée.

Elytres. – Élytres ponctués, sans pore prébasal visible. Ponctuation non reliée par des sillons, plus grosse que celle du pronotum au moins sur le disque, uniforme. Disque sans strie transverse. Moitié externe des élytres avec deux stries (dorsale et subhumérale ou marginale), au moins deux fois plus distantes à la base qu'à l'apex. Strie dorsale non recourbée le long de la base où elle est raccourcie d'au moins un tiers de sa longueur, atteignant l'apex mais n'atteignant pas l'angle sutural en arrière. Strie subhumérale (marginale) raccourcie de deux tiers postérieurs, non réunie à la strie dorsale en arrière. Élytres sans stries basales supplémentaires. Strie suturale absente. Ponctuation de l'apex des élytres non striolée. Strie épipleurale présente, raccourcie du quart antérieur. Épipleure ponctué seulement dans sa partie dorsale par rapport à la strie, avec un pore situé au niveau du quart basal et ventralement à la strie subhumérale.

Pygidia. – Pygidium ponctué moins fortement que les élytres, avec les points arrondis, distants de 0,5 à 1 diamètres.

Sterna. – Lobe prosternal avec une strie marginale antérieure, non émarginé en avant, ponctué ou pointillé, sans striation longitudinale irrégulière. Stries prosternales divergentes en avant, parallèles en arrière. Carène prosternale ponctuée, plus large que longue. Mésoventrite sans strie ou rangée de sulci, sans ligne de points plus gros en avant, avec la strie marginale marquant un angle net avec la strie métaventrale latérale, en continuité avec la strie mésopostcoxale. Strie méso-métaventrale absente. Suture méso-métaventrale visible ou sa trace plus foncée droite. Disque méso-métaventral lisse ou pointillé, le diamètre des points inférieur ou égal à 0,009 mm. Disque métaventral avec une zone médiane plus finement et densément ponctuée, sans rangée longitudinale de points distincte, avec une fine carène médiane apicale ou un tubercule allongé mais sans concavité chez le mâle. Métaventrite latéral ponctué, avec seulement une strie de chaque côté, avec une strie méso-postcoxale. Aire méso-postcoxale ponctuée. Mésépimère ponctué sur sa moitié supérieure, sans strie coudée interne (ventrale), avec une strie externe (dorsale) angulée ou fortement recourbée. Premier ventrite abdominal à ponctuation plus fine que celle du métaventrite latéral, ronde, sans rangée de points distincts de la ponctuation longeant la marge antérieure, avec une strie latérale d'abord longitudinale puis coudée ou arrondie. Strie post-métacoxale absente.

Pattes. – Protibias à la marge apicale droite, alutacés sur leur face ventrale, avec un denticule le long du bord externe. Protarses sans soies modifiées en massue ou allongées en plus des soies simples. Profémurs avec une aire imponctuée microstriée ventralement. Métatibias 0,25 (0,31) 0,36 fois aussi longs que le corps.

Distribution. – Région zoogéographique néarctique. **USA** : **California**, [Tuolumne Co., Stanislaus National Forest, 37.88° -119.85°, 1400 m] Mather, 15.VI.1969, K. Stephan, det. R. Wenzel, 1 [CHVV] ; *idem*, det. P. Kanaar, 1 [CHVV]. **Oregon**, **Benton Co**., ex litter, frass under *Acer macrophyllum* logs, 22.III.1966, W.B. Warner det., 4 [1, CHTL ; 1, CHND ; 2, CHYG] ; **Lane Co**., Dolly Varden Cpgd. Willamette Nat. Fort., 3 mi. N, 8 mi. E Lowell, 1100' [alt. 335 m], tree hollow red alder., ZB-1499, 30.VIII.1973, E.M. Benedict, 1 [BRIO]. **Washington**, **Whitman Co**., 2 mi E Wawawai County Park, 46°37'31"N, 117°20'14"W, 9.V.1965, R.L. Westcott, 1 [CHPK].

Bioécologie. – Dans la litière ou le terreau d'arbres creux.

Fig. **53**. *Bacanius hatchi* Wenzel. Paratype, étiquettes.

54

55

56

57

58

59

Fig. **54**-**59**. *Bacanius hatchi* Wenzel. Paratype.

54. Habitus en vue dorsale. **55**. *Idem* en vue ventrale. **56**. *Idem*, avant-corps. **57**. *Idem*, vue latérale. **58**, *Idem*, pygidium. **59**. *Idem*, habitus en vue ventrale.

Remarques. – L'holotype de cette espèce était identifié *B. tantillus* LeC. et classé dans les Abraeinae par McGrath & Hatch (1941 : 57) (Wenzel, 1960 : 457). Cependant, nous ne savons pas si les autres *B. tantillus sensu* McGrath & Hatch sont des *B. hatchi* Wenzel. Par ailleurs, la série typique compte d'après R. Wenzel un mâle et quatre femelles et l'examen d'un couple de paratypes [FMNH] montre une légère dépression médiane dans la moitié antérieure du disque méso-métaventral chez le mâle, dépression absente chez le spécimen supposé du sexe opposé.

Bacanius humicola Marseul, 1856

(Fig. 60-69)

Bacanius humicola Marseul, 1856 : 570.
Bacanius humicola : classé dans les Abraeinae par Wenzel & Dybas, 1941 : 438.
Bacanius (Bacanius) humicola Marseul : Mazur, 2011 : 141.

Matériel-type. – La redescription qui suit a été faite d'une part à partir de notes manuscrites très aimablement communiquées par notre ami Tomàs Yélamos qui a pu observer un spécimen de la série typique et d'autre part, de spécimens comparés à ce type et communiqués par le même collègue [CHTY]. Afin de fixer la nature de cette espèce dont aucun exemplaire de la série typique n'a pu être retrouvé, nous lui désignons ci-après un lectotype (CINZ, 1999 : Article 74.4.).
LECTOTYPE (présente désignation): l'exemplaire étiqueté "MUSEUM PARIS COLL. DE MARSEUL 1860"/ "TYPE"/ "Bacanius humicola M., Caracas" (man.) [T. Yélamos, comm. pers.] et figuré par De Marseul (1856) sur la planche XXIII, genre XLI, figure 1.
Bacanius rugisternus Wenzel, 1944 : 96, **nouvelle synonymie**.
Bacanius (Bacanius) rugisternus Wenzel : Mazur, 2011 : 142.
Matériel-type : Holotype et 1 Paratype[6] [FMNH], 1 Paratype[6] [MNHN : coll. J. Thérond ; Fig. 60], 1 Paratype [USNM].

Habitus. – L = 1,05 (1,13) 1,25 mm ; l = 0,71 (0,82) 0,91 mm ; e = 0,58 (0,65) 0,71 mm ; L/l = 1,18 (1,36) 1,51 ; L/e = 1,61 (1,72) 1,81 (N = 16). Dessus du corps ponctué au moins sur le pronotum. Ponctuation non sétigère, simple.

Tête. – Yeux bien développés. Front lisse entre les points. Ponctuation du clypeus plus grosse que celle du front. Apex des mandibules bifide. Marge antérieure derrière la tête droite ou peu convexe, non bisinuée.

Pronotum. – Ponctuation non réunie par des sillons, uniforme, d'environ 0,003 à 0,004 mm de diamètre, aux rebords mal délimités, distante de 3 à 5 diamètres sur le disque. Angles antérieurs avec un pore distinct. Marge antérieure derrière la tête droite ou peu convexe, non bisinuée. Ligne de points distincts à la base absente. Strie marginale nettement éloignée du bord en avant, d'au moins 0,018 mm, crénelée ou ponctuée.

Elytres. – Pointillés, avec un pore vers le milieu de la base, situé à 58 % de la largeur basale de l'élytre depuis la suture. Ponctuation non reliée par des sillons, moins grosse que celle du pronotum, uniforme. Disque sans strie

60

61

62

63

64

Fig. **60**-**64**. *Bacanius humicola* Marseul.

60. Etiquettes d'un paratype de *B. rugisternus* **nov**. **syn**. **61**. Habitus en vue dorsale. **62**. Vue latérale. **63**. Avant-corps. **64**. détails du métaventrite latéral et du mésépimère.

[6] La date de récolte ("22.iv.28") de ce paratype ne correspond pas à celle citée par Wenzel (1944 : 96) mais ses autres étiquettes correspondent à la série de 15 exemplaires citée par l'auteur.

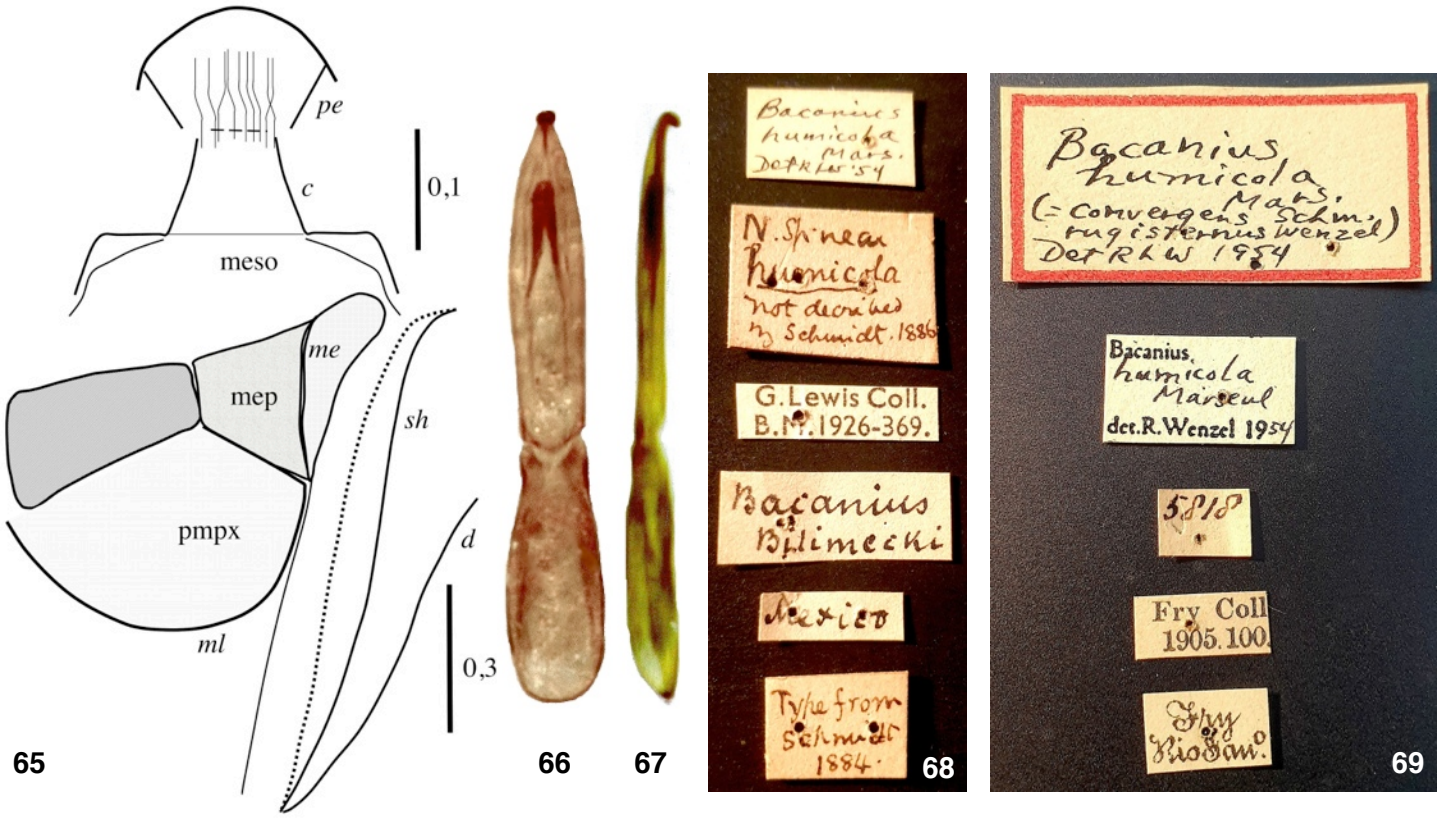

Fig. **65**-**69**. *Bacanius humicola* Marseul.

65. Sterna et épipleure. **66**, Edéage en vue ventrale. **67**. *Idem*, vue latérale. **68** & **69**. Etiquettes de spécimens identifiés par R. L. Wenzel.

transverse. Moitié externe des élytres avec deux stries (dorsale et subhumérale ou marginale) au moins deux fois plus distantes à la base qu'à l'apex. Strie dorsale non recourbée le long de la base où elle est raccourcie d'environ un tiers de sa longueur, atteignant l'apex mais n'atteignant pas l'angle sutural en arrière. Strie subhumérale (marginale) complète, non réunie à la strie dorsale en arrière. Élytres avec des traces de courtes stries basales de longueurs inégales. Strie suturale absente. Ponctuation de l'apex des élytres non striolée. Strie épipleurale absente. Épipleure imponctué, avec un pore situé au niveau du quart basal et ventralement à la strie subhumérale.

Pygidia. – Pygidium ponctué plus fortement que les élytres, avec les points arrondis, distants de 2 à 2,5 diamètres.

Sterna. – Lobe prosternal avec une strie marginale antérieure, très faiblement émarginé au milieu en avant, avec une striation longitudinale irrégulière. Stries prosternales convergentes en avant, divergentes en arrière. Carène prosternale lisse, aussi large que longue. Mésoventrite sans strie ou rangée de sulci, sans ligne de points plus gros en avant, avec la strie marginale marquant un angle net avec la strie métaventrale latérale, en continuité avec la strie mésopostcoxale. Strie méso-métaventrale absente. Suture méso-métaventrale invisible. Disque méso-métaventral entièrement lisse ou pointillé, le diamètre des points inférieur ou égal à 0,009 mm. Disque métaventral sans impression longitudinale chez les mâles, sans rangée longitudinale de points distincte, sans fine carène médiane apicale ou tubercule allongé. Métaventrite latéral ponctué, avec seulement une strie de chaque côté, sans strie méso-postcoxale. Aire méso-postcoxale alutacée et éparsément ponctuée. Mésépimère alutacé et imponctué, sans strie coudée interne (ventrale), avec une strie externe (dorsale) droite ou faiblement recourbée. Premier ventrite abdominal imponctué ou pointillé, sans rangée de points distincts de la ponctuation longeant la marge antérieure, avec une strie latérale d'abord longitudinale puis coudée ou arrondie. Strie post-métacoxale présente, très courte.

Pattes. – Protibias à la marge apicale convexe, alutacés sur leur face ventrale, avec un denticule le long du bord externe. Protarses sans soies modifiées en massue ou allongées en plus des soies simples mais avec des soies modifiées en cupule chez les mâles. Métatibias 0,25 (0,28) 0,32 fois aussi longs que le corps.

Genitalia mâles. – Paramères de l'édéage incurvés ventralement à l'apex, en crochet à angle droit, 4,6 fois aussi longs que large ensemble, environ 1,33 fois aussi longs que la pièce basale, en vue dorsale sans élargissement préapical, réunis apicalement, avec des soies ventrales préapicales au nombre de deux sur chaque paramère, sans soies ventrales apicales.

Genitalia femelles. – Coxites (valvifers) environ 2,3 fois aussi longs que larges, avec deux dents apicales et deux dents préapicales chacun.

Distribution. – Région zoogéographique : néotropicale (Venezuela : Caracas, Honduras, Mexique, Costa Rica, Colombie, Bolivie). Sous le nom *B. humicola* : **Mexique :** Mexico, "Bacanius Bilimecki" [*in litteris*] / "type from Schmidt 1884" (man. par Lewis) / "N. Sp. near *humicola* not described by Schmidt. 1886" (man. par Lewis), dét. RL Wenzel [BMNH : Fig. 68]. **Honduras** [tous CHTY] : El Ocotal, Sierra de El Armado, Portillo del Pozo, Setbre 97, C. Hernando leg., 3 femelles ; *idem*, 3 mâles; *idem*, 1 ex. **Costa Rica** : Sta. Elena, 10°20'N 84°50'W, "Fusta descomposta amb formigues", 26.08.2000, T. Yélamos leg., 1 mâle et 1 ex. [CHTY]. **Colombie** : Pandi, 1913 det. S. Mazur, 1 [CHTL]. **Bolivie** : coll. Schmidt-Bickhardt, 3 [MNB].
Sous le nom *B. rugisternus* : **Venezuela** : UTM: E 751.500, N 1.152.300, humidité 99%, temp. 15°C, T2 Cueva de la Pared Norte, Latéral, tout près de la grande salle, 1750 m, sur guano de guácharos, Berlese, alcool 70%, 13.III.1991, Expedición Vasco-Venezolana Mesa Turik 1991, leg. José Ignacio Calvo, det. P. Kanaar, 1 [CHTL] ; *idem*, 1 [CHYG].

Bioécologie. – Espèce récoltée à l'origine sous écorces déhiscentes en Colombie et au Costa Rica puis trouvée sur du guano dans des grottes habitées par des oiseaux *Steatornis caripensis* (Aves, Caprimulgiformes, Steatornithidae) au Venezuela (Kanaar, 1993 ; Galan & Herrera, 2006).

Remarques. – L'exemplaire mâle provenant du Costa Rica, celui provenant de Colombie et les trois exemplaires de Bolivie ne montrent aucune différence notable avec les spécimens provenant du Honduras et comparés au type par T. Yélamos. Le premier, récolté avec des fourmis sur un fruit décomposé, peut suggérer un comportement myrmécophile.
Wenzel (1944 : 97) note une ressemblance possible entre son *B. rugisternus* et *B. convergens* dont il n'a à l'époque pas vu de type (Wenzel, 1944 : 100). En 1954, Wenzel nommait *B. humicola* un

exemplaire en provenance de Rio de Janeiro (Fig. 69) en suspectant une synonymie entre cette espèce, *B. convergens* et *B. rugisternus*. Comme signalé plus haut, *B. convergens* n'est pas synonyme de *B. humicola*, différant de ce dernier par sa distribution géographique et surtout son ornementation sternale. Par contre, *B. rugisternus* qui s'est révélé indistinct de *B. humicola* après comparaison des descriptions disponibles est mis en synonymie avec *B. humicola* comme l'avait suggéré R.L. Wenzel *in litteris*. Les mensurations, la ponctuation dorsale et ventrale, la forme des stries du prosternum, du mésoventrite, du métaventrite et du mésépimère sont parfaitement concordantes entre les deux espèces.

Bacanius irlanda Mazur & Sawoniewicz, 2008
(Fig. 70-72)

Bacanius irlanda Mazur & Sawoniewicz, 2008 : 74.
Bacanius (Gomyister) irlanda Mazur & Sawoniewicz : Mazur, 2011 : 143.
Bacanius (Bacanius) irlanda Mazur & Sawoniewicz, **nov**. **comb**.

Matériel-type. – 2 Paratypes [CHND ; CHPK].

Habitus. – L = 0,82 (0,92) 1,01 mm ; l = 0,64 (0,71) 0,78 mm ; e = 0,49 (0,54) 0,58 mm ; L/l = 1,25 (1,3) 1,37 ; L/e = 1,63 (1,71) 1,78 (N = 23). Dessus du corps ponctué au moins sur le pronotum. Ponctuation brièvement sétigère, simple mais irrégulière.

Tête. – Yeux bien développés. Front lisse entre les points. Ponctuation du clypeus au plus aussi grosse que celle du front.

Pronotum. – Ponctuation non réunie par des sillons, un peu plus grosse sur le disque que sur les bords, d'environ 0,009 mm de diamètre, aux rebords bien marqués, distante de 1 à 1,5 diamètres sur le disque. Angles antérieurs avec un pore distinct. Marge antérieure derrière la tête droite ou peu convexe, non bisinuée. Ligne de points distincts à la base absente. Strie marginale rapprochée du bord en avant de moins de 0,018 mm, très finement crénelée ou ponctuée.

Elytres. – Élytres ponctués, avec un pore vers le milieu de la base, situé à 60 % de la largeur basale de l'élytre depuis la suture. Ponctuation non reliée par des sillons, plus grosse que celle du pronotum mais moins enfoncée, uniforme. Disque sans strie transverse. Moitié externe des élytres avec deux stries (dorsale et subhumérale ou marginale) au moins deux fois plus distantes à la base qu'à l'apex. Strie dorsale non recourbée le long de la base où elle est entière ou à peine raccourcie, atteignant l'apex et l'angle sutural en arrière ou très faiblement raccourcie juste avant. Strie subhumérale (marginale) complète, non réunie à la strie dorsale en arrière. Élytres sans stries basales supplémentaires. Strie suturale présente, simple, indiquée par une impression linéaire. Ponctuation de l'apex des élytres non striolée. Strie épipleurale présente, entière et sinuée. Épipleure imponctué, avec un pore situé au niveau du quart basal et ventralement à la strie subhumérale.

Pygidia. – Pygidium ponctué plus fortement que les élytres, avec les points arrondis, distants de 1 à 3 diamètres.

Sterna. – Lobe prosternal avec une strie marginale antérieure, non émarginé en avant, ponctué ou pointillé, sans striation longitudinale irrégulière. Stries prosternales parallèles en avant, divergentes en arrière. Carène prosternale ponctuée, plus large que longue. Mésoventrite sans strie ou rangée de sulci, sans ligne de points plus gros en avant, avec la strie marginale marquant un angle net avec la strie métaventrale latérale, en continuité avec la strie mésopostcoxale. Strie méso-métaventrale absente. Suture méso-métaventrale visible ou sa trace plus foncée droite. Disque méso-métaventral lisse ou pointillé, le diamètre des points inférieur ou égal à 0,009 mm. Disque métaventral sans impression longitudinale chez les mâles, sans zone médiane plus finement et densément ponctuée, avec deux rangées longitudinales de points distinctes latéralement, sans fine carène médiane apicale ou tubercule allongé. Métaventrite latéral ponctué, avec seulement une strie de chaque côté, sans strie méso-postcoxale. Aire méso-postcoxale ponctuée. Mésépimère ponctué sur sa moitié dorsale, sans strie coudée interne (ventrale), avec une strie externe (dorsale) angulée ou fortement recourbée et ne formant pas d'angle avec la strie métaventrale latérale. Métépimère imponctué ou ponctué. Premier ventrite abdominal à ponctuation plus fine que celle du métaventrite latéral, ronde, sans rangée de points distincts de la ponctuation longeant la marge antérieure, avec une strie latérale d'abord longitudinale puis coudée ou arrondie. Strie post-métacoxale absente ou très courte.

Pattes. – Protibias à la marge apicale droite, ponctués sur leur face ventrale, avec un denticule le long du bord externe. Protarses avec des soies modifiées en

70

71

72

Fig. **70**-**72**. *Bacanius irlanda* Mazur & Sawoniewicz. **70**. Habitus en vue dorsale. **71**. Habitus en vue ventrale. **72**. Vue latérale.

massue allongée en plus des soies simples (caractère présent que chez les mâles?). Profémurs avec une aire imponctuée microstriée ventralement. Métatibias 0,27 fois aussi longs que le corps.

Genitalia mâles. – Paramères de l'édéage incurvés ventralement à l'apex, séparés apicalement.

Distribution. – Région zoogéographique néotropicale (Mexique, Belize). L'espèce est signalée pour la première fois du **Belize :** Cayo District, Chiquibul N.F., Las Cuevas Res. Station, 16°43'59" N; 88°59'11" W [580 m], extracteur Berlese, 14-IX-2004, P.W. Kovarik, 4 [CHPK, FMNH] ; *idem*, FIT, 14/16-IX-2002, P.W. Kovarik, 2 [CHPK, CHND] ; Toledo District, Columbia Forest Reserve, Edwards Central, 16°20'24.7" N 89°09'09.7" W [720 m], FIT, 9/17-VIII-2006, P. W. Kovarik, 2 [CHPK, CHND].

Bioécologie. – Dans bois décomposé.

Bacanius lissosternum (Degallier, 2015)

Degallierister lissosternum Degallier, 2015 : 361, Fig. 38-39 ; Degallier *et al.,* 2023 : 8.
Bacanius (Bacanius) lissosternum (Degallier), **nov**. **comb**.

Matériel-type. – Holotype [MNHN].

Comme dans le cas de *Bacanius pusillus* Wenzel, 1944 redécrit ci-dessous, *B. lissosternum*, décrit du Pérou, ne possède pas d'élément de strie hamiforme composée de petits tubercules alignés et caractéristique du genre *Degallierister*. Il se distingue des autres espèces de *Bacanius* par les caractères utilisés dans la clé.

Bacanius misellus J.L. Le Conte, 1853

(Fig. 73-79)

Bacanius misellus J.L. Le Conte, 1853 : 292.
Bacanius misellus J.L. Le Conte : Marseul, 1856 : 573 ; Pl. XXIII, genre XLI, Fig. 3b-e.
Bacanius (Gomyister) misellus J.L. Le Conte : Mazur, 1984 : 120 ; 2011 : 143.
Bacanius (Bacanius) misellus J.L. Le Conte, **nov**. **comb**.

Matériel-type. – Dans la collection du MNHN, deux exemplaires étiquetés par Marseul portent la mention de sa main "3 Bacanius misellus LeC. Et. Unis T[ype]. leC." (Fig. 73-74). Par ailleurs, Marseul (1856 : 569) note avoir obtenu "un seul individu de l'une" des "deux petites espèces nouvelles des Etats-Unis" [*Bacanius misellus* Le Conte et *B. tantillus* Le Conte]. Plus loin, p. 575, il déclare n'avoir pas vu la deuxième espèce! L'un des deux spécimens de *B. misellus* présent au MNHN correspond donc à celui cité par Marseul mais comme Le Conte (1853 : 292) a décrit son espèce nouvelle d'après deux spécimens provenant de New York, il reste impossible de déterminer le statut des exemplaires de la collection du MNHN. Les figures 75 et 76 représentent respectivement les étiquettes et une vue latérale d'un des deux syntypes cités par l'auteur [MCZ].

Habitus. – L = 0,65 (0,75) 0,87 mm, l = 0,49 (0,57) 0,65 mm, e = 0,36 (0,4) 0,45 mm, L/l = 1,22 (1,31) 1,35, L/e = 1,66 (1,85) 2,23 (N = 80). Dessus du corps ponctué, au moins sur le pronotum. Ponctuation briévement sétigère, simple.

Tête. – Yeux bien développés. Front lisse entre les points. Ponctuation du clypeus au plus aussi grosse que celle du front. Apex des mandibules bifide. Marge antérieure derrière la tête droite ou peu convexe, non bisinuée.

Pronotum. – Ponctuation non réunie par des sillons, plus grosse sur le disque que sur les bords, d'environ 0,009 mm de diamètre, aux rebords bien marqués, distante de 1 à 2 diamètres sur le disque. Angles antérieurs avec un pore distinct. Marge antérieure derrière la tête droite ou peu convexe, non bisinuée. Ligne de points distincts à la base absente. Strie marginale rapprochée du bord en avant de moins de 0,018 mm, crénelée ou ponctuée, avec une zone étroite finement striée en long.

Elytres. – Élytres ponctués avec un pore vers l'angle huméral à la base de la strie dorsale. Ponctuation non reliée par des sillons, plus grosse que celle du pronotum, moins forte le long de la suture sur la moitié basale, les points devenant ovales sur le disque. Pas de strie transverse. Moitié externe des élytres avec deux stries (dorsale et subhumérale ou marginale) au moins deux fois plus distantes à la base qu'à l'apex. Strie dorsale non recourbée le long de la base où elle est entière ou à peine raccourcie, atteignant l'apex et l'angle sutural en arrière. Strie subhumérale (marginale) complète, fortement sinuée dans sa partie médiane, non réunie à la strie dorsale en arrière. Élytres sans stries basales supplémentaires. Strie suturale absente. Ponctuation de l'apex des élytres non striolée. Strie épipleurale présente, entière. Épipleure imponctué, sans pore distinct.

Pygidia. – Pygidium ponctué moins fortement que les élytres, avec les points arrondis distants de 2 à 3 diamètres.

Sterna. – Lobe prosternal avec une strie marginale antérieure, non émarginé en avant, ponctué ou pointillé, sans striation longitudinale irrégulière. Stries prosternales parallèles en avant et en arrière. Carène prosternale lisse, plus large que longue. Mésoventrite sans strie ou rangée de sulci, sans ligne de points plus gros en avant, avec la strie marginale marquant un angle net avec la strie métaventrale latérale. Strie méso-métaventrale absente. Suture méso-métaventrale visible ou sa trace plus foncée droite. Disque méso-métaventral ponctué, le diamètre des points supérieur à 0,01 mm. Disque métaventral pointillé seulement entre les métacoxae et le long de l'apex, sans impression longitudinale chez les mâles, sans zone médiane plus finement et densément ponctuée, sans rangée longitudinale de points distincte, sans fine carène médiane apicale ou tubercule allongé. Métaventrite latéral ponctué avec seulement une strie de chaque côté, sans strie méso-postcoxale. Aire méso-postcoxale ponctuée. Mésépimère imponctué, sans strie coudée interne (ventrale), avec une strie externe (dorsale) angulée ou fortement recourbée. Premier ventrite abdominal à ponctuation au moins aussi grosse que celle du métaventrite latéral, ronde, avec une rangée de points distincts de la ponctuation longeant la marge antérieure, avec une strie latérale d'abord longitudinale puis coudée ou arrondie. Strie post-métacoxale absente.

Pattes. – Protibias ponctués sur leur face ventrale. Protarses chez le mâle avec des ventouses ventrales sur les deuxième et troisième articles. Profémurs avec une aire imponctuée microstriée ventralement. Métatibias 0,28 fois aussi longs que le corps.

Genitalia mâles. – Paramères de l'édéage incurvés ventralement à l'apex, en crochet à angle droit, en vue dorsale sans élargissement préapical, séparés apicalement.

Distribution. – Région zoogéographique néarctique. **USA: Alabama**, **Houston Co**., Chattahoochee St. Pk., FM(HD)#69-1, Berlese #156, log litter, 139 lbs., 150 liters, 2.IV.1969, S. Peck, 1 mâle [FMNH] ; **Russel Co**., 3.5 mi NW Seale, 1 mi W junctions RT-169 on CR-22, longleaf pine/wiregrass savanna, FIT, 13.VI.-24.x.1999, P.W. Kovarik, 1 [CHPK]. **Florida, Alachua Co.,** 3.4 mi WNW Archer [29.55°N 82.55°W], Lingren funnel trap, 17.VII.-21.VIII.2015, K. E. Schnepp, 1 [CSCA] ; *idem*, Gainesville, Hogtown Creek & I-75, tree hole litter on ground, 2-VII-1987, P. E. Skelley, det. R. L. Wenzel, 1 [CPKN] ; *idem*, Gainesville I-75 & Hogtown Creek, 29°38'13"N, 82°23'32"W, organic debris from hollow tree berlese extr., 2.VII.1987, P. Skelley, R.L. Wenzel det., 1 [CHPK] ; *idem***,** 5 mi. E of Micanopy, sawdust pile fairly new, 22.VIII.1965, col. & pres. H.R. Steeves, Jr., 8 [2 : CHVV ; 6 : FMNH] ; **Columbia Co**., 7 mi. SE of Lake City, under bark of pine, 28.VIII. 1949, H. Dybas, 9 [FMNH] ; **Dade Co**., S. Miami, Deering Estate Park [25°37'14"N; 80°18'29"W], forest litter Berlese extr., 25.VIII.1986, S. Peck & J. Peck, 4 [CHPK] ; **Highlands Co.,** Archbold Biological Station, rotten *Quercus* wood/bark, 6.VI.1994, M. Deyrup, 1 [CSCA] ; Archbold Biological Station at 27.180°N 81.352°W, 45 m, v- flight intercept trap, 20.V.-2.VI.2018 and 20.V.-9.VII.2022, K. E. Schnepp, 2 [CSCA] ; Parker Islands, 7 mi. SE Lake Placid, FMNH(HD)#67-91, wet *Passalus* log, 28.III.1967, W. Suter, 3 [FMNH] ; **Jackson Co**., Florida Caverns S.P. [30°48'47"N, 85°13'36"W], UV light trap, 30.V.1988, P. Skelley, 1 [CHPK] ; *idem*, FMNH(HD)#69-4 Berlese #160 log leaf litter 228 lbs., 220 liters, 6.IV.1969, S. Peck, 1 mâle [FMNH] ; *idem*, FMNH(HD)#69-6 Berlese #157 log litter, 131 lbs., 111 liters, S. Peck, 1 [FMNH] ; *idem*, FMNH(HD)#69-3 Berlese #159 log leaf litter 131 lbs., 130 liters, S. Peck, 3 [FMNH] ; **Jefferson Co**., rt. 98 nr. Aucilla river, 2.IV.1970, Ber. #523, leg. W.B. Muchmore, 10 [FMNH] ; **Lee Co**., SE Sanibel Is., J.N. "Ding" Darling Pres. nr lighthouse, FMHD #73-95, palm log & litter at log, 31.XII. 1973, W. Suter, 6 [FMNH] ; **Lafayette Co**., Mayo [30°03'07" N, 83°10'32" W], live oak treehole #4, 31.III.1950, 2 [FMNH] ; **Levy Co**., 3.8 mi. SW. Archer [29°30'05"N; 82°34'21"W], Berlese extr., 14.IV.1987, P. Skelley, 1 [CHPK] ; **Marion Co.,** Ocala National Forest, ~16 mi ENE Silver Springs at 29.268°N 81.834°W, 40 m, v- flight intercept trap, 28.VI.-13.VII.2021, K. E. Schnepp, 6 [CSCA] ; **Voulsia [= Volusia] Co**., Enterprise, tree hole, 13.IX.1959, J. Wagner,

73

74

75

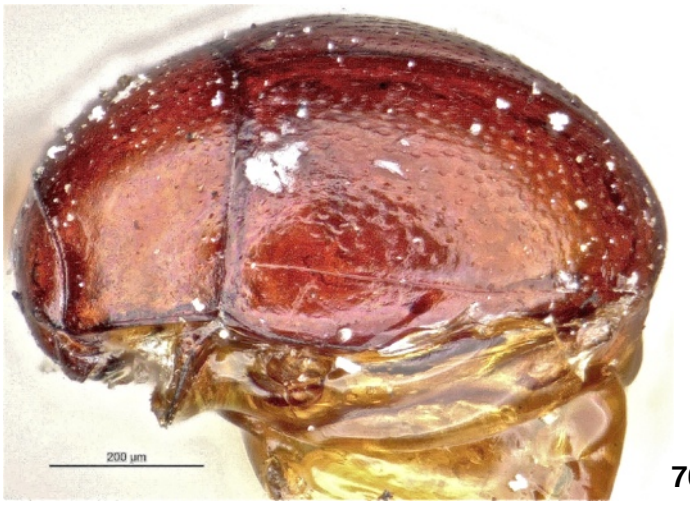

76

79

77

78

Fig. **73**-**79**. *Bacanius misellus* J.L. Le Conte.

73 & **74**. Etiquettes de deux exemplaires peut-être syntypes [MNHN]. **75**. Etiquettes d'un syntype [MCZ]. **76**. Habitus en vue latérale du syntype [MCZ]. **77**. Habitus en vue semi dorsale. **78**. Habitus en vue ventrale. **79**. Habitus en vue postérieure.

37 ex. et 1 femelle [FMNH] ; **Walton Co.,** ~7 mi W Defuniak Springs at 30.755°N 86.277°W, 80 m, v- flight intercept trap, 7.v.-2.VI.2022, K. E. Schnepp, 9 [CSCA] ; *idem*, 0.3 mi. S. DeFuniak [30°43'40"N, 86°09'27"W], *Quercus laevis* stump litter Berlese extr., 13.I.1992, R. Turnbow, 1 [CHPK] ; **Washington Co**., Falling Waters State Recreation Area [30°43'40"N; 85°31'43"W], organic material from rotting *Fagus grandifolia* Berlese extr., 6.V.1997, P. Kovarik, 1 [CHPK]. **Georgia: Glynn Co**., Brunswick [31°14'22"N, 81°30'00"W], pine litter, 20.XII.1992, V. Golia, 1 [FSCA]. **South Carolina: Barnwell Co.**, Savannah River Site, emerged from dead pine, 8.VIII. 2006-4.IV.2007, M. D. Ulyshen, 1 [CSCA].

Bioécologie. – Sous écorces déhiscentes et dans la litière de feuillus ou de conifères.

Bacanius montanus Mazur & Sawoniewicz, 2008

(Fig. 80-82)

Bacanius montanus Mazur & Sawoniewicz, 2008 : 73.
Bacanius (Gomyister) montanus Mazur & Sawoniewicz : Mazur, 2011 : 143.
Bacanius (Bacanius) montanus Mazur & Sawoniewicz, **nov**. **comb**.

Matériel-type. – 2 Paratypes [CHND ; CHPK].

Habitus. – L = 0,8 (0,92) 1 mm, l = 0,6 (0,7) 0,75 mm, e = 0,45 (0,53) 0,6 mm, L/l = 1,23 (1,32) 1,58, L/e = 1,58 (1,73) 1,89 (N = 21). Dessus du corps ponctué au moins sur le pronotum. Ponctuation non sétigère, simple.

Tête. – Yeux présents, contrairement à ce qui est décrit par les auteurs de l'espèce. Front lisse entre les points. Ponctuation du clypeus plus grosse que celle du front.

Pronotum. – Ponctuation non réunie par des sillons. Angles antérieurs avec un pore distinct. Marge antérieure derrière la tête droite ou peu convexe, non bisinuée. Ligne de points distincts à la base absente. Strie marginale rapprochée du bord en avant de moins de 0,018 mm, non crénelée.

Elytres. – Élytres ponctués. Ponctuation non reliée par des sillons, plus grosse que celle du pronotum. Disque sans strie transverse. Moitié externe des élytres avec deux stries (dorsale et subhumérale ou marginale) au moins deux fois plus distantes à la base qu'à l'apex. Strie dorsale non recourbée le long de la base où elle est entière ou à peine raccourcie, atteignant l'apex et l'angle sutural en arrière. Strie subhumérale (marginale) complète. Élytres sans stries basales supplémentaires. Strie suturale absente. Ponctuation de l'apex des élytres non striolée. Strie épipleurale présente, entière. Épipleure imponctué.

Pygidia. – Pygidium ponctué moins fortement que les élytres, les points distants de 2 à 3 diamètres.

Sterna. – Lobe prosternal avec une strie marginale antérieure, non émarginé en avant, ponctué ou pointillé, sans striation longitudinale irrégulière. Stries prosternales parallèles en avant et en arrière. Mésoventrite sans strie ou rangée de sulci, sans ligne de points plus gros en avant, en continuité avec la strie mésopostcoxale. Strie méso-métaventrale absente, contrairement à ce qui est écrit dans la description originale. Disque méso-métaventral entièrement lisse ou pointillé, le diamètre des points inférieur ou égal à 0,009 mm. Disque métaventral sans zone médiane plus finement et densément ponctuée, sans rangée longitudinale de points distincte, sans fine carène médiane apicale ou tubercule allongé. Métaventrite latéral ponctué avec seulement une strie de chaque côté, sans strie méso-postcoxale. Mésépimère imponctué. Premier ventrite abdominal à ponctuation plus fine que celle du métaventrite latéral, ronde, sans rangée de points distincts de la ponctuation longeant la marge antérieure, avec une strie latérale.

Pattes. – Protibias ponctués sur leur face ventrale avec un denticule le long du bord externe. Protarses sans soies modifiées en massue ou allongées en plus des soies simples.

Distribution. – Région zoogéographique néotropicale (Mexique, nouveau pour le Guatemala et le Belize). **Belize**: **Toledo District**, Columbia Forest Reserve, Edwards Central, 16°20'24.7"N ; 89°09'09.7"W, FITs, 9-17.VIII. 2006, P. W. Kovarik, 2 [CHPK] ; **Cayo District**, Chiquibul N.P., Doyle's Delight, Dry Creek Area, 16°29'N ; 89°02'W, 950-1100 m, yellow pan traps, 19-20.VIII.2007, P. Kovarik, 1 [CHPK]. **Guatemala**: **Sololá Dept**., 5 mi. W Nahuala, 2999 m [14°50'38"N ; 91°22'54"W], organic debris in hollow oak tree in *Cupressus* forest, Berlese extr., 6.VIII.1991, dét. P. Kovarik, P. W. Kovarik & T. K. Philips, 4 [CHPK] ; *idem*, leaf litter Berlese extr., 3 [CHPK]. **Mexique**: **Chiapas**, Mpio. La Trinitaria, Lagunas de Montebello N. P., Cinco

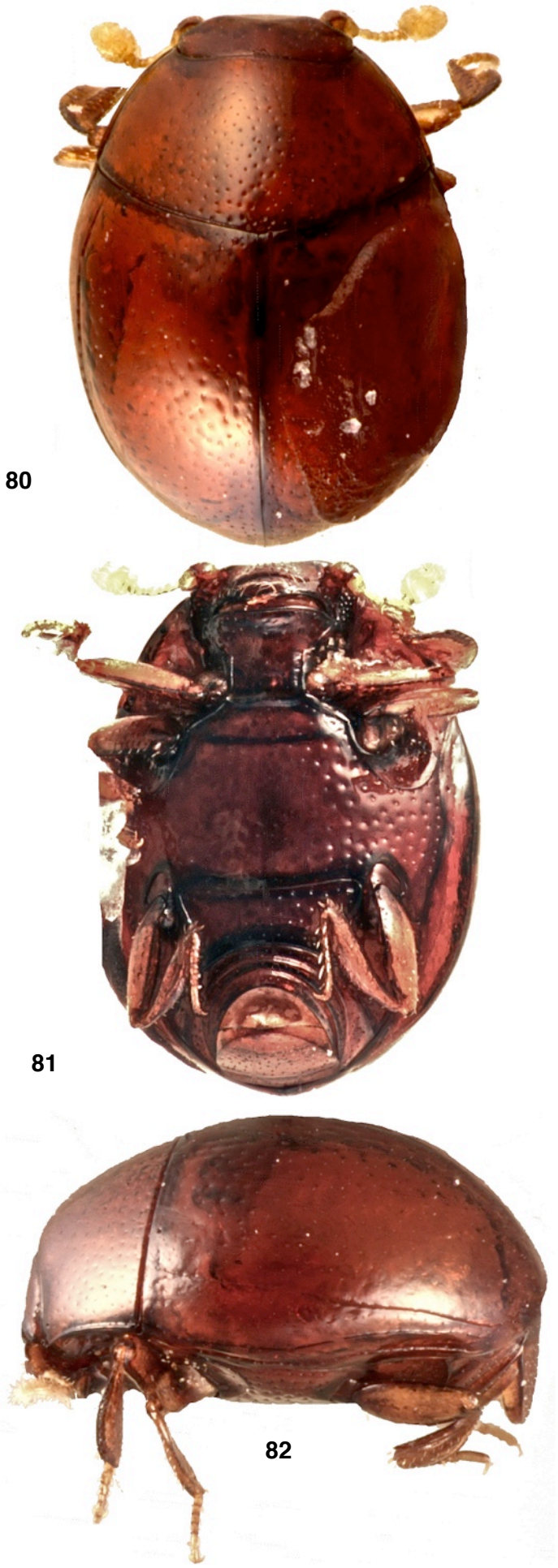

Fig. **80-82**. *Bacanius montanus* Mazur & Sawoniewicz.
80. Habitus en vue dorsale. **81**. Habitus en vue ventrale. **82**. Vue latérale.

Lagos, 1530m [16°06'47"N, 91°40'40"W], ex. stump debris, 4-5.VIII.1991, P. W. Kovarik & T. K. Philips, 6 [5 : CHPK ; 1: CHND] ; **Nuevo Léon**, Chipinque, 3700' [1127 m], oak litter Berlese, 21.VI.1983, dét. P. Kovarik, C. W. O'Brien, L. B. O'Brien & G. B. Marshall, 6 [2 : CHPK ; 2 : CHND ; 2 : FSCA] ; **Oaxaca**, Mpio. Sta. Maria Chimalapas Cerro Azul, 449m, 16°52'05"N, 94°42'13"W, FIT, 15-19.VII.2017, J. L. Sanchez-Huerta & V. Moctezuma, dét. P. Kovarik, 1 [CHPK] ; *idem*, 22.V.1981, 1 [CHPK].

Bioécologie. – Dans des débris organiques de troncs creux, la litière ou des troncs morts.

Bacanius neoponerae Degallier & Gomy, 2023

Bacanius neoponerae Degallier & Gomy *in* Pérez-Lachaud *et al*., 2023 : 4, Fig. 2-6 et Suppl. 1-2.

Matériel-type. – Holotype [MNHN] ; 4 Paratypes [MNHN], 2 Paratypes [BMNH], 2 Paratypes [FMNH], 18 Paratypes [CHND] et 9 Paratypes [CHYG].
Les caractères diagnostiques de cette espèce décrite récemment sont énumérés dans la clé ci-dessus. Son association avec des fourmis des genres *Neoponera* et *Camponotus* confirme la grande diversité bioécologique du genre *Bacanius* (Pérez-Lachaud *et al*., 2023).

Distribution. – Région zoogéographique néotropicale (Mexique).

Bacanius parenthesis (Degallier, 2015)

Degallierister parenthesis Degallier *in* Degallier *et al*., 2015 : 361, Fig. 40-41, 52 ; Degallier *et al.,* 2023 : 3.
Bacanius (Bacanius) parenthesis (Degallier), **nov**. **comb**.

Matériel-type. – 3 Paratypes [CHND].
Comme dans les cas de *Bacanius pusillus* Wenzel, 1944 et *B. lissosternum*, *B. parenthesis* possède une strie suturale géminée qui apparait crénelée mais non composée de petits tubercules alignés, caractéristiques du genre *Degallierister*. Il se distingue des autres espèces de *Bacanius* américains par les caractères utilisés dans la clé.

Distribution. – Région zoogéographique néotropicale (Brésil, Equateur).

Bioécologie. – Espèce uniquement récoltée au piège d'interception de vol dont le mode de vie reste inconnu.

Bacanius punctiformis (J. L. Le Conte, 1853)

(Fig. 83-93)

Abraeus punctiformis J.L. Le Conte, 1853 : 288.
Bacanius punctiformis : Marseul, 1856 : 574 ; Pl. XXIII, genre XLI, Fig. 4 ; Le Conte, 1863 : 28 ; Wenzel & Dybas, 1941 : 438 ; Watrous, 2006 : 24.
Bacanius (Bacanius) punctiformis (J.L. Le Conte) : Gomy, 2009 : 326 ; Mazur, 2011 : 142 ; Secq & Secq, 2017 : Fig. 3-11.

Matériel-type. – 1 Syntype [MCZ : Fig. 83] ; 3 ex. comparés au type par R. Wenzel [2 : FMNH, 1 : MNHN : Fig. 84]. Comme dans le cas du *B. misellus,* trois exemplaires portent une étiquette avec la mention "Abraeus punctiformis LeC Et. unis LeC. Type" de la main de Marseul (Fig. 85 - 87) [MNHN]. D'après la description originale, il pourrait s'agir de syntypes.

Habitus. – L = 0,75 (0,8) 0,86 mm ; l = 0,53 (0,59) 0,62 mm ; e = 0,38 (0,43) 0,47 mm ; L/l = 1,3 (1,35) 1,41 ; L/e = 1,73 (1,85) 2 (N = 18). Dessus du corps ponctué au moins sur le pronotum. Ponctuation briévement sétigère, simple.

Tête. – Yeux bien développés. Front alutacé ou microstrié entre les points. Ponctuation du clypeus au plus aussi grosse que celle du front. Apex des mandibules bifide ou trifide (chez les deux sexes : M. Secq, comm. pers.).

Pronotum. – Marge antérieure derrière la tête droite ou peu convexe, non bisinuée. Ponctuation non réunie par des sillons, moins grosse sur le disque que sur les bords, d'environ 0,009 à 0,014 mm de diamètre, aux rebords bien marqués, les points distants de 1 à 1,5 diamètres sur le disque. Angles antérieurs sans pore distinct. Ligne de points distincts à la base absente. Strie marginale rapprochée du bord en avant de moins de 0,018 mm, crénelée ou ponctuée.

Elytres. – Élytres ponctués, sans pore prébasal visible. Ponctuation reliée par des sillons (striolée), plus grosse que celle du pronotum, uniforme. Disque sans strie transverse. Moitié externe des élytres avec une seule strie (dorsale, subhumérale ou marginale), recourbée en direction de la suture puis se prolongeant en un court arc vers l'arrière, sa branche principale est entière ou à peine raccourcie, atteignant l'apex mais n'atteignant pas l'angle sutural en arrière. Strie subhumérale (marginale) absente. Élytres sans stries basales supplémentaires. Strie suturale absente. Ponctuation de l'apex des élytres striolée. Strie épipleurale présente, raccourcie des deux tiers antérieurs. Épipleure ponctué, sans pore distinct.

Pygidia. – Pygidium ponctué moins fortement que les élytres, avec les points arrondis, distants de 0,5 à 1 diamètre.

Sterna. – Lobe prosternal avec une strie marginale antérieure très fine, non émarginé en avant, ponctué ou pointillé, sans striation longitudinale irrégulière. Stries prosternales divergentes en avant, parallèles en arrière. Carène prosternale ponctuée, plus large que longue. Mésoventrite sans strie ou rangée de sulci, sans ligne de points plus gros en avant, avec la strie marginale arrondie latéralement à sa jonction avec la strie métaventrale latérale. Strie méso-métaventrale absente. Suture méso-métaventrale visible ou sa trace plus foncée droite. Disque méso-métaventral entièrement ponctué, le diamètre des points supérieur à 0,01 mm. Disque métaventral concave sur tout le disque et le mésoventrite chez les mâles, sans zone médiane plus finement et densément ponctuée mais avec les points plus petits que sur les bords, sans rangée longitudinale de points distincte, sans fine carène médiane apicale ou tubercule allongé. Métaventrite latéral ponctué, avec seulement une strie de chaque côté, sans strie méso-postcoxale. Aire méso-postcoxale ponctuée. Mésépimère microstrié et ponctué, sans strie coudée interne (ventrale), avec une strie externe (dorsale) droite ou faiblement recourbée. Premier ventrite abdominal à ponctuation au moins aussi grosse que celle du métaventrite latéral, ronde, avec une rangée de points distincts de la ponctuation longeant la marge antérieure, avec une strie latérale d'abord longitudinale puis coudée. Strie post-métacoxale absente.

Pattes. – Protibias ponctués sur leur face ventrale, avec un denticule le long du bord externe. Protarses sans soies modifiées en massue ou allongées en plus des soies simples. Profémurs avec une aire imponctuée microstriée ventralement. Métatibias 0,28 fois aussi longs que le corps.

Genitalia mâles. – Paramères de l'édéage incurvés ventralement à l'apex, en crochet à angle droit, quatre fois aussi longs que large ensemble, environ 0,8 fois aussi longs que la pièce basale, en vue dorsale sans élargissement préapical, réunis apicalement, avec des soies ventrales préapicales (deux paires) et des soies ventrales apicales.

Distribution. – Région zoogéographique néarctique, importé en Europe (France) et en Argentine, cité du Paraguay par Mazur (2011). Cette espèce est l'une des plus communes de la faune saproxylique néarctique (Ulyshen & Hanula, 2010 : 192 ; Ruesink & Parsons, 2023 : 7). **Argentine** [probablement introduit] : **Buenos Aires**, San Fernando, V.1955, Daguerre leg., 2 [CHYG]. **Canada** : **Ontario**, Essex Co. Wheatley, oct. 1967, K. Stephan leg., P. Kanaar dét., 1 [CHND]. **États-Unis**, réc. Sallé, Col. Théry, Col. Auzat, 6 [MNHN] ; États-Unis, Coll. Théry, Coll. Desbordes 1933, 9 [MNHN] ; "4. Bacanius punctiformis Lec [Carolina?] écorces juin", 3[7] [MNHN] ; "Caroline méridion. [South Carolina], collection Sédillot", 1 [MNHN]. **Alabama**: **Blount Co.,** nr. Highland Lake at 33.8825°N 86.422°W, 285 m, FIT, V.2013, T. King, 1 [CSCA] ; Highland Lake, *Quercus* root Berlese extraction, 27.II.2012, T. King, dét. A. K. Tishechkin, 6 [FSCA] ; **Dale Co**., Ft. Rucker Military Reserve [31°21'N; 85°40'W], 11.VIII.1993, R. Turnbow, P. Kovarik det., 1 [FSCA] ; *idem*, 5.VIII.1992, R. Turnbow, 1 [FSCA] ; *idem*, cypress litter Berlese extr., 1.V.1995, R. Turnbow, 1 [FSCA] ; *idem*, stump litter Berlese extr., 12.IV.1995, R. Turnbow, det. P. Kovarik, 18 [FSCA] ; *idem*, 18.IV.1995, R. Turnbow, 3 [FSCA] ; *idem*, passalid frass from hardwood logs Berlese extr., 23.IV.1995, R. Turnbow, 1 [FSCA] ; *idem*, FIT, 28.VI-1.VII.1994, R. Turnbow, 1 [FSCA] ; *idem*, FIT, 5-8.VIII.1994, R. Turnbow, 1 [FSCA] ; **Russell Co**. , 3.5 mi. NW of Seale, 1 mi. W jct. RT-169 on CR-22, 32°20'50"N ; 85°12'01"W, FIT, 13.VI-24.X.1999, P. W. Kovarik, det. R.L. Wenzel, 4 [CHPK] ; **Tuscaloosa Co**., Tuscaloosa [Valentine Coll'n Rec. 2016] 30.III.1949, B. D. Valentine, dét. A. K. Tishechkin, 1 [FSCA]. **Arkansas: Logan Co**., Magazine Mt., 35°10'02"N;93°38'41"W, 13.III.1990, J. Danoff & R. Leschen, 2 [CHPK] ; **Washington Co**., 2 mi. SW. West Fork, 35°54.03N 094°12.59W, FIT, 8-19.VI.1988, C.E. Carlton, 2 [CHPK, FSCA] ; Little Rock, FIT, 19.IX.2001, 1 [CBB]. *idem*, piège à lumière noire, 2.VI.

[7] Il s'agit probablement d'exemplaires récoltés par Marseul lui-même et cités dans sa Monographie (Marseul, 1856 : 575).

83

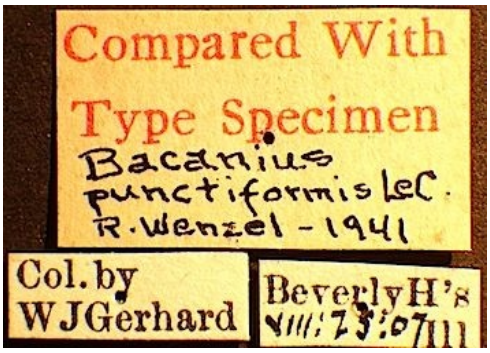

84

85

88

89

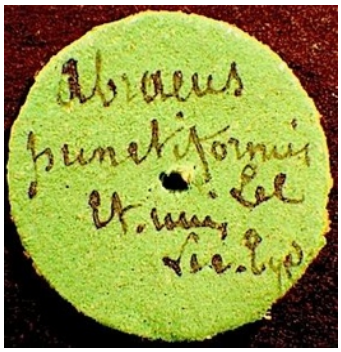

86

87

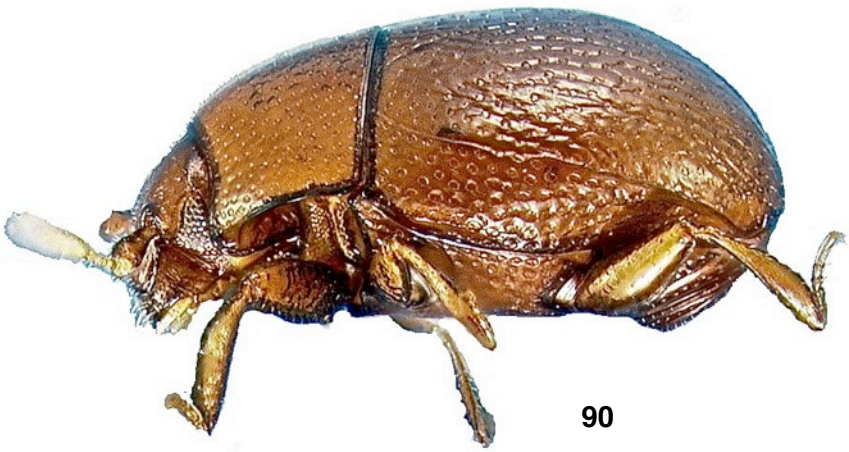

90

91

Fig. 83-91. *Bacanius punctiformis* (J. L. Le Conte).

83. Etiquettes d'un syntype [MCZ]. **84**. Etiquettes d'un exemplaire "comparé au type" par R.L. Wenzel [MNHN]. **85-87**. Etiquettes de trois exemplaires marqués "Type" par Marseul [MNHN]. **88**. Habitus en vue dorsale. **89**. Habitus en vue ventrale. **90**. Vue latérale. **91**. Vue frontale.

92

93

Fig. **92 - 93**. *Bacanius punctiformis* (J. L. Le Conte).
92. Spécimen comparé au "type", habitus dorsal. **93**. *Idem*, apex élytral.

1998, 23.VIII.2001, 25.VIII.2001, 5.VI.1998, 4 [CBB]. **Florida, Alachua Co.,** 3.4 mi WNW Archer, V-flight intercept trap [Warner, 2017], 7-23.VIII. 2017, K. E. Schnepp, dét. A. K. Tishechkin, 1 [FSCA] ; *idem*, 23.VIII.-8.IX. 2017, 4 [1 : CSCA ; 3 : FSCA] ; 3.8 mi SW Archer, Berlese extraction, 14.IV. 1987, P. Skelley, dét. R. L. Wenzel, 6 [FSCA] ; CR-346, 6mi. E. SR-441, 27.I. 1991, F. W. Skillman, Jr., dét. A. K. Tishechkin, 1 [FSCA] ; Gainesville, near Airport, under bark, 14.VI.1987, P. Skelley, dét. R. L. Wenzel, 1 [FSCA] ; S. end Paynes Prairie & US-441, old sawdust pile Berlese extraction, 24.I.1992, P. E. Skelley, dét. A. K. Tishechkin, 1 [FSCA] ; San Felasco Hammock, 28.III. 1983, M. C. Thomas, dét. A. K. Tishechkin, 1 [FSCA] ; Watermelon Pond [29.65°N 82.6°W], under bark,18.I.2014, K. E. Schnepp, 1 [CSCA] ; **Collier Co.**, Naples [26.15°N 81.8°W], 26.III.1947, 1 [CSCA] ; **Dade Co**., Coral Gables Girl Scout Camp Mahachee, blacklight trap, 17-24.VI.1998, J. & N. Gleason, dét. A. K. Tishechkin, 1 [FSCA] ; **Highlands Co**., Archbold Biological Station, 7 mi. S. Lake Placid, 23.XI.2002, P. Skelley, dét. A. K. Tishechkin, 25 [FSCA] ; *idem*, under dead *Pinus* sp., 5.II.1994, V. Golia, dét. P. W. Kovarik, 1 [FSCA] ; **Leon Co.,** Tallahassee, X.1943, E. S. Ross, 5 [CAS] ; **Levy Co**., 3.8 mi. SW Archer, Berlese extr., 14.IV.1987, P. E. Skelley, det. R.L. Wenzel, 1 [CHPK] ; *idem*, 3.8 mi. SW. Archer [29º30’05”N; 82º34’21”W], leaf litter Berlese extr., 11.XI.1987, P. E. Skelley, 1 [CHPK] ; *idem*, litter under Florida rosemary (*Ceratiola ericoides*) Berlese extr., 27.II. 1988, P.E. Skelley, 1 [CHPK] ; *idem*, 3.0 mi. SW. Archer [29º30’20”N; 82º34’07”W], Berlese extr., 14.III.1987, P. Skelley, 9 [FSCA] ; *idem*, 14.IV. 1987, P.E. Skelley, 1 [CHPK] ; *idem*, litter from hollow turkey oak tree Berlese extr., 30.III.1989, R. E. Woodruff & P.E. Skelley, 10 [1: CHPK ; 9: FSCA] ; 4.0 mi. SW Archer, under turkey oak bark, 21.II.1992, P. Skelley, dét. A. K. Tishechkin, 7 [FSCA] ; 8 mi. W Archer, 20.I.1991, F. W. Skillman, dét. A. K. Tishechkin, 2 [FSCA] ; **Sarasota Co**., Myakka River St. Pk., turpentine bait [piège à la térébenthine] FFA/N, Lindgren funnel trap, 27.X-2.XI.2000, J. L. Poltz, dét. A. K. Tishechkin, 1 [FSCA] ; **St. Johns Co**., 1 mi. SW St. Augustine on Rt. 207, 9.IV.1993, L. R. Davis, dét. A. K. Tishechkin, 1 [FSCA] ; **Walton Co.,** ~7 mi W DeFuniak Springs at 30.755°N 86.277°W, 80 m, V-flight intercept trap, 7.V.-2.VI.2022, K. E. Schnepp, 1 [CSCA] ; *idem*, 0.3 mi. S. DeFuniak [30°43'40"N, 86°09'27"W], *Quercus laevis* stump litter Berlese extr., 13.I.1992, R. Turnbow, P.W. Kovarik det., 4 [FSCA] ; Elgin AFB, 5.1 mi. W. Hwy 331 on Range Rd. 205, 15w blacklight trap, 16-17.VI. 1995, P. Skelley, dét. A. K. Tishechkin, 1 [FSCA] ; **Liberty Co**., Torreya State Park [30°33”59”N, 84°56’52”W], 26.III.1988, P.E. Skelley, 2 [FSCA]. **Georgia: Thomas Co**., Ty Ty Hammock (nr. jct. Metcalf & Springhill Rd.), 30º43’N; 84º03’W, rotting *Fagus* Berlese funnel, 8.V.1997, P.W. Kovarik, 1 [CHPK] ; 2 mi. SW Metcalf, under dead oak bark, 15.III.2015, K. E. Schnepp, dét. A. K. Tishechkin, 1 [FSCA]. **Illinois**: **Mason Co**., Sand Ridge State Forest, organic debris in live white oak, 11.V.1989, P. E. Skelley, det. R.L. Wenzel, 2 [FSCA], 1 [CHPK] ; *idem*, det P. Kovarik, 1 [FSCA] ; Tiedtville, 18.II.1930, F. Psota, 1 [MNHN]. **Indiana : LaPorte Co**. NE. of Springville, Smith's Woods, under bark of beech, 25.V.1935, Col. by R. Wenzel, 2 [MNHN] ; **Newton Co**., Sumava [Resorts, Lake Township], 1 [MNHN]. **Louisiana**, Sallé, '69, 1 [MNHN] ; **Evangeline Par.,** Chicot State Park at 30.786°N 92.277°W, forest litter sifting, 19.II.2003, A. K. Tishechkin, 1 [CSCA] ; *idem*, 19.II.2004, S. T. Dash, 47 [CSCA] ; **Vernon Par.,** Kisatchie National Forest, 12 mi. SE Leesville, 5.X.1997, A.K.Tishechkin leg. & dét., 1 [CHND] ; **West Feliciana Par.**, 6 mi. ESE St. Francisville, pines under bark, 18.X.1997, A.K. Tishechkin leg. & dét., 1 [CHND] ; *idem*, deciduous trees, under bark, A.K. Tishechkin leg. & dét., 2 [CHYG] ; Tunica Hills Wildlife Management Area, 30.93°N 91.51°W, under hardwood bark, 17.X. 1997, A. K. Tishechkin, 2 [CSCA]. **Maryland**: **Prince George's Co**., College Park, 6772, 30.IX.1949, G. H. Nelson, dét. C. A. Frost, 1 [FSCA] ; *idem*, 1.X. 1950, H. L Dozier, dét. A. K. Tishechkin, 1 [FSCA] ; Priest Bridge, U.S. 50, under oak bark, 11.III.1951, H. L Dozier, dét. R. L. Wenzel, 7 [FSCA]. **Missouri, Ozark Co.**, 7 mi S Gainesville [36.5°N 96.15°W], 13.IX.1967, F. G. Andrews, 3 [CSCA]. **Mississippi: Butler Co**., Poplar Bluff [36°46'02"N, 90°23'00"W], litter under wood pile Berlese extr., 12.XI.1983, P. R. Miller, P. Kovarik det., 1 [MEM] ; 5 mi. N. Biloxi, sous écorces de *Pinus palustris*, 3.X. 1956, B.D. Valentine, det. Y. Gomy 1970, 3 [CHYG]. **New Jersey: Monmouth Co**., Eaton Town, s/écorces, 24.III.1968, Georges Perrault leg., dét. Y. Gomy, 1 [CHYG] ; **Okitbbeha Co**., Starkville [33°25'43"N, 88°49'46"W], fungus on rotten log Berlese extr., 24.II.1982, P. R. Miller, 5 [MEM] ; *idem*, 4 mi. W. of Starkville [33°29'32"N, 88°54'58"W], 24.II.1982, P. R. Miller, 1 [MEM] ; **Webster Co**., 1.5 mi. SE Eupora, 33°31'17"N, 89°15'25"W, under bark of logs Berlese extr., 30.III.1995, T. L. Sheifer, 1 [MEM]. **Ohio**: **Champaign Co**., 7.V.1954, R. E. Woodruff, dét. A. K. Tishechkin, 1 [FSCA]. **Oklahoma: Latimer Co.** [34.9°N 95.3°W], I.1983-I. 1985, K. Stephan, A. K. Tishechkin det., 5 [TAMU] ; *idem*, XII.1986, col. & dét. K. Stephan, 1 [FSCA] ; 7 mi. S Wilburton [34°52'15"N,95°17'34"W], Berlese extr. of old sawdust pile near creek, 20-21.V.1989, P. W. Kovarik & K. Stephan, 3 [CHPK] ; *idem*, Berlese extr., 21.XII.1991, K. Stephan & P.E. Skelley, 1 [FSCA] ; *idem*, W of Wilberton, sawdust pile, K. Stephan & P. Skelley, dét. K. Stephan, 3 [FSCA] ; 3.5 mi. W. Red Oak, 34°57'03"N, 95°08'56"W, VII.1990, K. Stephan, R.L. Wenzel det., 1 [CHPK] ; *idem*, VIII. 1989, 2 [CHPK] ; III.1988, K. Stephan, det. R.L. Wenzel, 2 [CHPK] ; *idem*, VIII.1989, 6 [CHPK] ; **Kingfisher Co**., Paris, 19.VI.1983, B.F. & J.L. Carr, R.L. Wenzel det., 1 [FSCA]. **Texas, Freestone Co.,** Old Spring Seat Church nr. Donie [31.46°N 92.4°W], rotten log, 6.V.1995, E. G. Riley, 1 [CSCA] ; **Travis Co.**, Austin, Brackenridge Field Laboratory [30.28°N 97.78°W], litter at base of dead pecan trunk, 10.II.1996, E. G. Riley, 1 [CSCA] ; **Bandera Co**., Lost Maples State Natural Area, leaf litter Berlese extr., 26.IV.1986, det. R.L. Wenzel, 1 [CHPK] ; **San Jacinto Co**., Big Creek Scenic Area, 15.IX.1985, P.W. Kovarik, det. R.L. Wenzel, 10 [CHPK] ; Conroe, Feb. 1971, K. Stephan leg, P. Kanaar dét. 1975, 2 [CHND ; MNHN]. **Wisconsin : Richland Co**., LWRSWA Lone Rock, 43°11'38"N/ 90°14'20"W, under bark of fallen *Quercus velutina* Lam., sandy oak barrens, 29.III.2000, J.P. Gruber leg. & dét., 10 [CHND].

Bioécologie. – Espèce subcorticole ou vivant dans la litière de conifères ou feuillus.

Bacanius pusillus Wenzel, 1944

(Fig. 94-96)

Bacanius pusillus Wenzel, 1944 : 98.
Bacanius (Bacanius) pusillus Wenzel : Mazur, 1984 : 123 ; classé dans les Abraeinae par Mazur, 2001 : 30.
Degallierister pusillus (Wenzel) : Gomy, 2001 : 266 ; Mazur, 2011 : 143 ; Degallier *et al*., 2015 : 347, Fig. 8-9 ; 2023 : 4, Fig. 8, 10.
Bacanius (Bacanius) pusillus Wenzel, **nov**. **comb**.

Matériel-type. – Deux Paratypes étiquetés respectivement comme sur les figures 94 et 95 [MNHN et BMNH].

Cette espèce possède une strie élytrale transversale qui n'est pas formée de petits tubercules comme chez les espèces du genre *Degallierister* (strie hamiforme) et dans l'attente d'une étude phylogénétique des Bacaniini américains, nous la conservons dans ses genre et sous-genre d'origine *Bacanius* (*Bacanius*).

Habitus. – L = 0,67 (0,74) 0,86 mm ; l = 0,51 (0,57) 0,67 mm ; e = 0,38 (0,44) 0,51 mm ; L/l = 1,23 (1,29) 1,38 ; L/e = 1,6 (1,68) 1,79 (N = 24). Dessus du corps ponctué au moins sur le pronotum. Ponctuation non sétigère, simple.

Tête. – Yeux bien développés. Front lisse entre les points. Ponctuation du clypeus plus grosse que celle du front. Apex des mandibules bifide. Marge antérieure derrière la tête droite ou peu convexe, non bisinuée.

Pronotum. – Ponctuation non réunie par des sillons, uniforme, d'environ 0,005 mm de diamètre, aux rebords bien marqués, distante de 3 à 5 diamètres sur le disque. Angles antérieurs avec un pore distinct. Marge antérieure derrière la tête droite ou peu convexe, non bisinuée. Ligne de points distincts à la base absente. Strie marginale rapprochée du bord en avant de moins de 0,018 mm, non crénelée.

Elytres. – Élytres pointillés avec un pore vers le quart externe de la base. Ponctuation non reliée par des sillons, moins grosse que celle du pronotum, uniforme. Disque avec une strie transverse droite qui peut être effacée en grande partie ou plus ou moins recourbée vers l'avant à son extrémité, cette strie non constituée de petits tubercules. Moitié externe des élytres avec deux stries (dorsale et subhumérale ou marginale) parallèles ou s'éloignant à la base de moins de deux fois de leur distance apicale. Strie dorsale non recourbée le long de la base où elle est entière ou à peine raccourcie, atteignant l'apex et l'angle sutural en arrière. Strie subhumérale (marginale) complète. Élytres sans stries basales supplémentaires. Strie suturale absente. Ponctuation de l'apex des élytres non striolée. Strie épipleurale absente. Épipleure imponctué.

Pygidia. – Pygidium ponctué plus fortement que les élytres, avec les points arrondis distants de 2 à 4 diamètres.

Sterna. – Lobe prosternal avec une strie marginale antérieure, non émarginé en avant, ponctué ou pointillé, sans striation longitudinale irrégulière. Stries prosternales parallèles en avant et en arrière. Carène prosternale pointillée, plus large que longue. Mésoventrite sans strie ou rangée de sulci, sans ligne de points plus gros en avant, avec la strie marginale marquant un angle presque droit avec la strie métaventrale latérale, en continuité avec la strie mésopostcoxale. Strie méso-métaventrale absente. Suture méso-métaventrale à peine visible. Disque méso-métaventral lisse, le diamètre des points inférieur ou égal à 0,009 mm. Disque métaventral lisse, sans rangée longitudinale de points distincte, sans fine carène médiane apicale mais chez un spécimen en provenance du Belize et dont le sexe n'a pas été déterminé, un tubercule médian est remarquable sur le tiers postérieur du segment. Métaventrite latéral imponctué avec seulement une strie de chaque côté, sans strie méso-postcoxale. Aire méso-postcoxale imponctuée. Mésépimère ponctué avec une strie coudée ou arrondie interne (ventrale), sans strie externe (dorsale). Premier ventrite abdominal imponctué ou pointillé, avec une strie latérale d'abord longitudinale puis coudée ou arrondie. Strie post-métacoxale présente.

Pattes. – Métatibias 0,29 fois aussi longs que le corps.

Distribution. – Région zoogéographique néotropicale (Mexique, Guatemala [Degallier *et al*., 2023], Panama, Belize, Surinam, Equateur, Pérou, Bolivie, Paraguay). **Belize** : Cayo District Chiquibul N.F., Las Cuevas Res. Station, 16°43'59"N;88°59'11"W, sifted organic debris under bark, 14.IX.2004, P.W. Kovarik, 1 [CHPK] ; **Orange Walk Dist**., Rio Bravo Conserv. Area, env. La

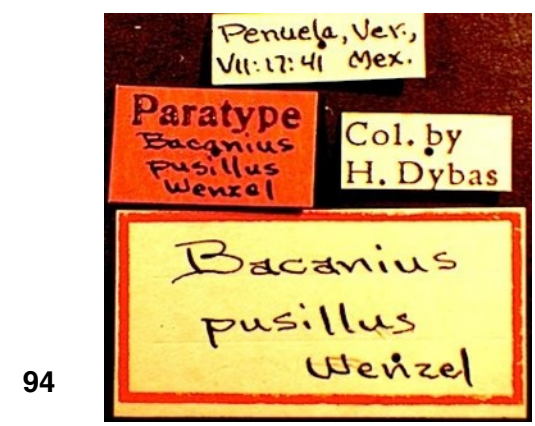

94

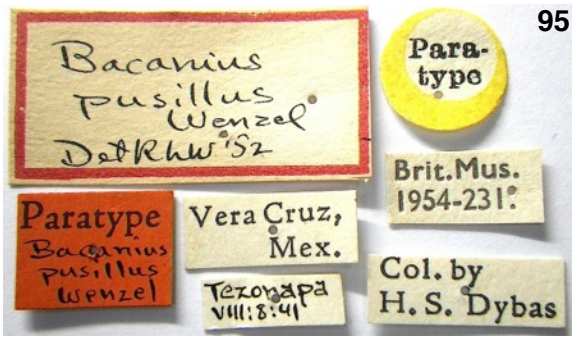

95

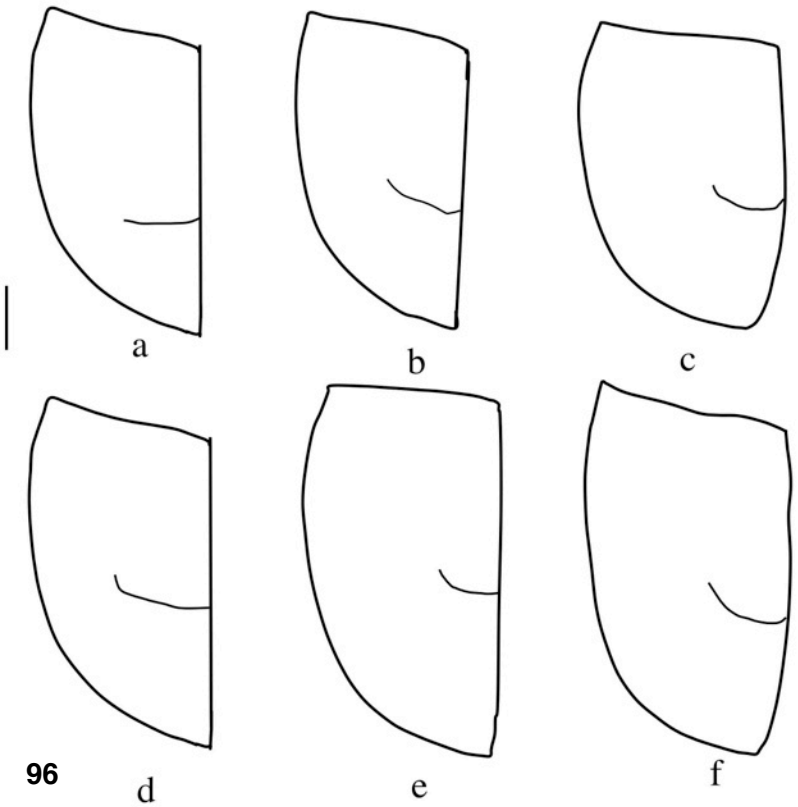

96

Fig. **94-96**. *Bacanius pusillus* Wenzel.

94. Etiquettes d'un paratype [MNHN]. **95**. Etiquettes d'un paratype [BMNH]. **96**. **a-f**. Schémas de l'élytre gauche montrant quelques variations du tracé de la strie transversale caractéristique de l'espèce. **a**. Mexique. **b**. Belize. **c**. Bolivie. **d**. Equateur. **e**. Pérou – Cuzco. **f**. Surinam. Echelle = 0,1 mm (d'après des photos par A. Tishechkin).

Milpa ruins, rotten log Berlese extract, 17-IV-95, P.W. Kovarik coll., det. R. Wenzel, 1 [CHND], 2 [CHPK] ; **Toledo District**, Columbia Forest Reserve, Edwards Central, 16°20'24.7"N, 89°09'09.7"W, 9-17.VIII.2006, FITs & sifting rotting tree trunks, P.W. Kovarik, det. P.W. Kovarik, 9 [CHND] ; *idem*, 13 [CHPK]. **Bolivie**: **Santa Cruz**, ~ 5 km SSE Buena Vista, Hotel Flora y Fauna, 17.498° S 63.652° W, 440 m, 24-31.XII.2003, FIT, S. & J. Peck, 2 [CSCA]. **Equateur**: **Orellana**, Tiputini Biodiversity Station, 0.6376° S 76.1499° W, 220-230 m, 29.VII.2008, forest litter sifting, M. L. Ferro, 1 [CSCA] ; Yasuní National Park, Via Maxus at Puente Piraña, 0°39.5' S 76°26' W, 220 m, 14.VII. 2008, sawdust, C. E. Carlton, 1 [LSAM] ; Yasuní Research Station, 0.6745° S 76.3974° W, 220-240 m, FIT, 13-14.VII.2008, A. K. Tishechkin, 1 [CSCA]. **Mexique : Chiapas**, 3,9 mi. S Pueblo Nuevo Solistahuacán, 5400' [1645 m], berlese litter, pine-oak-Liquidambar forest, 28.VIII.1973, A. Newton, 2, 1 femelle [MCZ] ; Mexico: S.L.P. 15 mi N Tamazunchale, 500 ft [152 m], ex refuse deposit of *Atta mexicana* 4-26.VI.1973, A. Newton, 1 [MCZ]. **Panama : Cocle**, El Valle, (trail to La Minas), alt. 2400-2600 ft. [731-791 m], under bark, CNHM Panama Zool. Exped., 21.II.1959, det. R. Wenzel, H.S. Dybas, 1 [CHVV] ; **Canal Zone**, Barro Colorado Is., litter under old tree and vine fall, 27.II.1976, A. Newton, 2 [MCZ]. **Paraguay** : **Amambay**, 80 km S. Bella Vista, 11.X.1979, Expéd. Muséum Genève, 1 femelle, 1 mâle, 3 ex. [CHVV] ; **Concepción**, Arrojo Azotey, 9.X.1979, 1 [CHVV]. **Pérou : Cusco**, Villa Carmen Field Station, research transect at 12.89221° S 71.41946° W, 555 m, 24-26.V.2011, FIT, D. J. Bennett & E. Razuri, 1 [KUNHM] ; **Junín**, ~ 11 km NE Puerto Ocopa, Los Olivos, 11°3.00'S 74°15.52' W, 1200 m, 30-31.III.2009, FIT, A. K. Tishechkin, 1 [CSCA]. **Surinam** : **Sipaliwini**, CI-RAP Survey camp 3, Wehepai, 2°21.776' N 56°41.861' W, 235 m, 3-7.IX.2010, FIT, T. Larsen & A. E. Z. Short, 1 [CSCA].

Bioécologie. – Dans troncs pourris et sous écorces déhiscentes. Il est intéressant de noter une récolte de l'espèce dans les rejets de nid de fourmis champignonistes (*Atta mexicana*).

Remarques. – La strie transversale des élytres est le plus souvent droite et perpendiculaire à la suture mais chez quelques exemplaires, elle peut être légèrement inclinée ou recourbée vers l'avant (Fig. 96). Chez quelques specimens (Mexique, Chiapas), elle est raccourcie ou presque nulle. Du fait de son mode de vie dans la litière, il est très probable que l'espèce ait été introduite accidentellement au Paraguay. Ces derniers specimens sont en tout point similaires à ceux provenant du Mexique. Cependant, nous n'excluons pas la possibilité que ces populations provenant de localités si éloignées allant du Mexique au sud du continent sud-américain appartiennent à des espèces cryptiques dont l'étude nécessiterait du matériel complémentaire et des analyses moléculaires.

Bacanius scalptus Lewis, 1888

(Fig. 97-99)

Bacanius scalptus Lewis, 1888 : 237.
Bacanius scalptus : classé dans les Abraeinae par Wenzel & Dybas, 1941 : 436 puis par Mazur, 2001 : 30.
Bacanius (Bacanius) scalptus Lewis : Mazur, 2011 : 142.

Matériel-type. – 1 ex. comparé au "type" par N. Degallier [Degallier & Kanaar, 2001 ; CHND].

Habitus. – L = 0,73 (0,76) 0,8 mm ; l = 0,53 (0,56) 0,6 mm ; e = 0,35 (0,39) 0,44 mm ; L/l = 1,31 (1,36) 1,38 ; L/e = 1,75 (1,94) 2,1 (N = 11). Dessus du corps ponctué au moins sur le pronotum. Ponctuation briévement sétigère, simple.

Tête. – Yeux bien développés. Front microstrié entre les points. Ponctuation du clypeus au plus aussi grosse que celle du front. Apex des mandibules bifide. Marge antérieure derrière la tête droite ou peu convexe, non bisinuée.

Pronotum. – Ponctuation réunie par des sillons longitudinaux profonds sur toute sa surface, uniforme, d'environ 0,009 mm de diamètre, aux rebords bien marqués, distante de 0,5 à 1 diamètres sur le disque. Angles antérieurs sans pore distinct. Marge antérieure derrière la tête droite ou peu convexe, non bisinuée. Ligne de points distincts à la base absente. Strie marginale rapprochée du bord en avant de moins de 0,018 mm, non crénelée.

Elytres. – Élytres ponctués, sans pore prébasal visible. Ponctuation reliée par des sillons (striolée), plus grosse que celle du pronotum, uniforme. Disque sans strie transverse. Moitié externe des élytres avec deux stries (dorsale et subhumérale ou marginale) au moins deux fois plus distantes à la base qu'à

97

98

99

Fig. **97-99**. *Bacanius scalptus* Lewis.

97. Habitus en vue dorsale. **98**. Habitus en vue ventrale. **99**. Vue latérale.

l'apex. Strie dorsale recourbée en direction de la suture où elle est entière ou à peine raccourcie puis se prolonge en courbe vers l'arrière, atteignant l'apex et l'angle sutural. Strie subhumérale (marginale) réduite à une courte strie basale et non réunie à la strie dorsale en arrière. Élytres avec des traces de courtes stries basales de longueurs inégales. Strie suturale absente. Ponctuation de l'apex des élytres striolée. Strie épipleurale absente. Épipleure ponctué, sans pore distinct.

Pygidia. – Pygidium ponctué moins fortement que les élytres, avec les points arrondis, distants de 0,2 à 0,5 diamètres.

Sterna. – Lobe prosternal avec une strie marginale antérieure, non émarginé en avant, ponctué ou pointillé, sans striation longitudinale irrégulière. Stries prosternales divergentes en avant et en arrière. Carène prosternale ponctuée, plus large que longue. Mésoventrite sans strie ou rangée de sulci, sans ligne de points plus gros en avant. Strie méso-métaventrale absente. Suture méso-métaventrale visible ou sa trace plus foncée droite. Disque méso-métaventral entièrement ponctué, le diamètre des points supérieur à 0,01 mm. Disque métaventral nettement impressionné chez les mâles, sans zone médiane plus finement et densément ponctuée, sans rangée longitudinale de points distincte, sans fine carène médiane apicale ou tubercule allongé. Métaventrite latéral ponctué avec seulement une strie de chaque côté, sans strie méso-postcoxale. Aire méso-postcoxale ponctuée. Mésépimère ponctué, sans strie coudée interne (ventrale), avec une strie externe (dorsale) constituée d'un alignement de gros points, angulée ou fortement recourbée. Premier ventrite abdominal à ponctuation au moins aussi grosse que celle du métaventrite latéral, ronde, sans rangée de points distincts de la ponctuation longeant la marge antérieure.

Pattes. – Protibias avec trois denticules le long du bord externe. Protarses sans soies modifiées en massue ou allongées en plus des soies simples. Métatibias de 0,22 à 0,29 fois aussi longs que le corps.

Genitalia mâles. – Paramères de l'édéage incurvés ventralement à l'apex, environ 1,07 fois aussi longs que la pièce basale.

Distribution. – Régions zoogéographiques néotropicale (Mexique [Mazur, 2001], Guatemala, Cuba et Colombie [Wenzel & Dybas, 1941], Belize, Nicaragua, Panama, Costa Rica, Antilles, Surinam, Guyane [Dégallier & Kanaar, 2001], Brésil, Pérou et Argentine [Blackwelder, 1944]) et néarctique. **Belize**: Orange Walk Dist., Rio Bravo Conservation Area, La Milpa Archeological Site [17°50'N 89°02'W], subcortical debris & rotten log extract, 17.IV.1995, P. W. Kovarik, det. R.L. Wenzel, 3 [CHPK] ; Cayo District Caracol Rd., 7.9 mi. from Caracol, 16°50'05"N;89°04'36"W, under bark, 17.IX.2004, P. W. Kovarik, 1 [CHPK] ; Toledo District, BARC San Pedro Columbia, 16°16'43"N; 88°57'49"W, under bark at night, 25.IX.2004, P. W. Kovarik, 1 [CHPK]. **Bolivie** : Cochabamba Dept. Est. Biol. Sacta, Univ. Mayor S. Simeon, 17°06.48' S -64°46.94'W, alt. 300 m, rainforest, 16/27-XII-2005, S. & J. Peck, dét. A. K. Tishechkin, 1 [FSCA]. **Brésil**: **Amazonas**, Reserva Ducke, 1 [CSCA] ; São Paulo, Piracicaba, blacklight trap, 1965, C. A. Triplehorn, dét. P. W. Kovarik, 1 [FSCA]. **Costa Rica** : Sta. Elena, 10°20'N 84°50'W, "Fusta descomposta amb formigues", 26.08.2000, T. Yélamos leg., 1 mâle [CHTY]. **La Guadeloupe** (Degallier & Gomy, 2024), 1 [CJML] ; Les Saintes, Terre-de-Haut, Grand îlet (GIL-EXL-02), 15,839°N, 61,589°W, alt. 220 m, 1.XII.2024-30.I.2025, piège d'émergence de bois riches en coléoptères saproxyliques, E. Poirier, B. Dessanges leg, LPRIG (MNHN - ARBIG), 1 [MNHN]. **Guyane française**, Ile de Cayenne, sous écorces, 29.II.1976, N. Degallier leg., 2 [CHVV]. **Mexique**: **Chiapas**, Mpio. Tapachula, 4.0 km E Acaxman [14°48'47N, 92°17'49"W], under bark, 10.VIII. 1991, P. W. Kovarik & T. K. Philips, 2 [CHPK] ; **Veracruz**, 9.VII.1949, D. S. Verity leg., det. Y. Gomy, 1 [CHYG]. **Monserrat, W.I**., 22.III, H.C. Hubbard coll., 1 [USNM]. **Panama**: Panamá, Chepo District, Altos de Maje, Maje Island trail, 75 m [09°08'N 78°48'W], sifting under tree bark, 6-15.X.1975, D. S. Chandler, 2 [CHPK]. **Pérou**: **Huánuco**, Panguana Field Station, 9.613°S 74.935°W, 235 m, 22.IX.-10.X.2017, F. Wachtel, 1 [CSCA] ; *idem*, Rio Llullapichis E.B. Panguana 09°36'49" S 74°56'07" W, 235 m alt., 22.IX-10.X.2017, F. Wachtel, 1 [CHYG] ; **Junín**, ~11 km NE Puerto Ocopa, Los Olivos, 11°3.0'S 74°15.5'W, 1200 m, FIT, 30-31.III.2009, A. K. Tishechkin, 1 [CSCA] ; *idem*, under bark, 23-26.III.2009, 5 [CSCA] ; *idem*, window trap, 30-31.III.2009, A. V. Petrov, 1 [CSCA] ; **Loreto** Dept. 160 km NE Iquitos, Explorama Camp, 2 km from Rio Napo on Rio Sucusari [03°26'37"S;72°50'59"W], under bark, 27-31.VIII.1992, P. E. Skelley, 3 [CHPK] ; 160 km NE Iquitos, Explornapo Camp, 2 km from Rio Napo on Rio Sucusari, 03°14'S ; 73°00'W, 27-31.VIII.1992, P. E. Skelley, 3 [CHPK]. **Surinam** : Paramaribo, Cornell U. Lot 760 Sub 130, 4.VI.[19]27, det. R. Wenzel, 2 [CORU] ; *idem*, Lot 760 Sub 129, 9.V.[19]27, 1 [CORU] ; Saramacca R., Kwakoegron, light, 13.VI.[19]27, P.P. Babiy col., det. R. Wenzel, 1 mâle, 1 ex. [CORU]. **USA: Florida, Monroe Co.,** upper Key Largo, v-flight intercept trap, 19.V.-11.VI.2018, K. E. Schnepp, 2 [CSCA]. **Illinois, Kendall Co**., Silver Springs St. Pk., under bark, FMHD #81-166, 26.IV.81, L. Watrous, dét. N. Degallier, 1[8] [FMNH].

Bioécologie. – Sous écorces et à la lumière.

Bacanius striatinotum Wenzel, 1944

(Fig. 100 - 104)

Bacanius striatinotum Wenzel, 1944 : 97.
Bacanius (Bacanius) striatinotum Wenzel : Gomy, 2001: 271.
Bacanius (Mullerister) striatinotum Wenzel : Mazur, 1984 : 119 ; Gomy, 2010 : 256.
Mullerister striatinotum (Wenzel) : Mazur, 2011 : 140.
Bacanius (Bacanius) striatinotum Wenzel, **nov**. **comb**.

Matériel-type. – 1 Paratype [FMNH].
Gomy (1983) précise et illustre les caractères du sous-genre *Mullerister* Cooman, 1936, élevé ensuite au rang générique (Gomy, 2010). Après étude d'un paratype de l'espèce, nous confirmons que *Bacanius striatinotum* ne peut être classé dans le genre *Mullerister* dont le principal caractère diagnostique est, en dehors de sa distribution géographique orientale [*Mullerister rombophorus* (Aubé, 1843) et quelques autres espèces se retrouvent hors de leur aire de distribution d'origine], le dessin particulier de la strie mésoventrale (Fig. 147 ; Gomy, 1983 : Fig. 20a; Yélamos, 1991 : Fig. 1). *Bacanius striatinotum* possède à l'instar de plusieurs autres *Bacanius (s. str.)* un mésoventrite avec une double ligne de points allongés (sulciformes) sur le disque et une strie latérale qui rejoint la strie métaventrale latérale en un angle plus ou moins aigu. Enfin, *B. striatinotum* ne peut être classé dans le genre *Degallierister* comme envisagé par Gomy (2010 : 256) car il est dépourvu de la strie élytrale hamiforme présente chez ce dernier genre.

Habitus. – L = 0,87 (0,9) 0,93 mm ; l = 0,72 (0,73) 0,74 mm ; e = 0,5 (0,51) 0,53 mm ; L/l = 1,22 (1,24) 1,26 ; L/e = 1,75–1,76 (N = 2). Dessus du corps ponctué au moins sur le pronotum, ponctuation non sétigère, simple.

Tête. – Yeux bien développés. Front lisse entre les points. Ponctuation du clypeus au plus aussi grosse que celle du front. Apex des mandibules non bifide.

Pronotum. – Ponctuation non réunie par des sillons, plus grosse sur le disque que sur les bords, les points d'environ 0,01 mm de diamètre aux rebords mal délimités, distants de 1,5 à 2 diamètres sur le disque. Angles antérieurs avec un pore distinct. Marge antérieure derrière la tête droite ou peu convexe, non bisinuée. Ligne de points distincts à la base présente, l'espace entre ces points et la base lisse. Strie marginale rapprochée du bord en avant de moins de 0,018 mm, crénelée ou ponctuée.

Elytres. – Élytres ponctués, sans pore prébasal visible. Ponctuation non reliée par des sillons, égale à celle du pronotum, uniforme. Disque sans strie transverse. Moitié externe des élytres avec deux stries (dorsale et subhumérale ou marginale) parallèles ou s'éloignant à la base de moins de deux fois de leur distance apicale. Strie dorsale non recourbée le long de la base où elle est entière ou à peine raccourcie, atteignant l'apex et l'angle sutural en arrière. Strie subhumérale (marginale) raccourcie de ses trois quarts postérieurs. Élytres sans stries basales supplémentaires. Strie suturale présente le long du quart antérieur de la suture, fine et simple. Ponctuation de l'apex des élytres non striolée. Strie épipleurale présente, raccourcie de son quart basal. Épipleure ponctué sur sa moitié supérieure, avec un pore situé au niveau du quart basal et ventralement à la strie subhumérale.

Pygidia. – Pygidium ponctué comme les élytres, avec les points étirés transversalement et disposés en cercles concentriques apicalement, distants de 1 à 2 diamètres.

Sterna. – Lobe prosternal avec une strie marginale antérieure, non émarginé en avant, avec une striation longitudinale irrégulière. Stries prosternales divergentes en avant, parallèles en arrière. Carène prosternale ponctuée. Mésoventrite avec une rangée de sulci ou points allongés, sans ligne de points plus gros en avant, avec la strie marginale marquant un angle net avec la strie métaventrale latérale, en continuité avec la strie méso-postcoxale. Strie méso-métaventrale absente. Suture méso-métaventrale invisible ou sa trace plus foncée droite. Disque méso-métaventral lisse ou pointillé, le diamètre des points inférieur ou égal à 0,009 mm. Disque métaventral pointillé ou lisse mais avec une rangée de points espacés en avant, sans zone médiane

[8] Comme cette localité se trouve totalement en dehors de la limite nord connue de répartition de l'espèce (sud de la Floride), il peut s'agir d'une erreur d'étiquetage.

Fig. **100**-**104**. *Bacanius striatinotum* Wenzel, paratype [FMNH].

100. Habitus en vue dorsale. **101**. Détail de la base du pronotum. **102**. Habitus en vue ventrale. **103**. Vue latérale. **104**. Avant-corps.

plus finement et densément ponctuée, sans rangée longitudinale de points distincte, sans fine carène médiane apicale ou tubercule allongé. Métaventrite latéral ponctué avec seulement une strie de chaque côté et une strie méso-postcoxale complète. Aire méso-postcoxale ponctuée. Mésépimère ponctué de quelques gros points allongés avec une strie coudée ou arrondie interne (ventrale) peu distincte, sans strie externe (dorsale). Métépimère imponctué. Premier ventrite abdominal à ponctuation au moins aussi grosse que celle du métaventrite latéral, ronde, sans rangée de points distincts de la ponctuation longeant la marge antérieure, avec une strie latérale régulièrement arrondie vers l'extérieur. Strie post-métacoxale présente, prolongée par des points alignés.

Pattes. – Protibias avec un denticule le long du bord externe. Métatibias 0,28 fois aussi longs que le corps.

Distribution. – Région zoogéographique néotropicale (Honduras, Nicaragua, Guatemala, Costa Rica [Mazur, 2011] et Brésil [Leivas *et al*., 2024]). **Honduras**: **Gracias a Dios**, Las Marias at 15.709°N 84.862°W, 80 m, rainforest, leaf litter, 8.VI.2010, LLAMA collectors, 1 [CSCA]. **Nicaragua**: **Atlántico Norte**, Parco Nacional Cerro Saslaya at 13.770°N 84.981°W, 310 m, mature wet forest, leaf litter, 7.V.2011, LLAMA collectors, 12 [CSCA] ; **Atlántico Sur**, Reserva Natural Kahka Creek at 12.672°N 83.716°W, 30 m, secondary rainforest forest, leaf litter, 6-8.VI. 2011, LLAMA collectors, 21 [CSCA] ; *idem*, 12.6919°N 83.7125°W, 50 m, forest litter sifting, 8.VI.2011, LLAMA collectors, Wm-D-07-1-04, 2 [CHND] ; **Matagalpa**, Reserva Natural Cerro Musun at 12.961°N 85.2325°W, 750 m, tropical wet forest, leaf litter, 1.V.2011, LLAMA collectors, 9 [CSCA] ; *idem*, Reserva Natural Cerro Musun at 12.959°N 85.225°W, 70 m, 2 [CSCA].

Bioécologie. – Contrairement à la majorité des autres espèces qui vivent dans la sciure sous écorces ou les troncs en décomposition, *B. striatinotum* semble être inféodé à la litière forestière.

Bacanius subcarinatus Wenzel & Dybas, 1941

(Fig. 105-110)

Bacanius subcarinatus Wenzel & Dybas, 1941 : 436 [classé dans les Abraeinae].
Bacanius (Gomyister) subcarinatus Wenzel & Dybas : Mazur, 1984 : 121 ; 2011 : 143 ; Mazur & Sawoniewicz, 2008 : 75.
Bacanius (Bacanius) subcarinatus Wenzel & Dybas, **nov**. **comb**.

Matériel-type. – Holotype et 1 Paratype [FMNH].

Habitus. – L = 0,95 (0,96) 0,98 mm ; l = 0,65 (0,68) 0,71 mm ; e = 0,53 (0,55) 0,58 mm ; L/l = 1,33 (1,42) 1,5 ; L/e = 1,63 (1,74) 1,86 (N = 2). Dessus du corps ponctué au moins sur le pronotum. Ponctuation brièvement sétigère, simple.

Tête. – Yeux bien développés. Front lisse entre les points. Ponctuation du clypeus au plus aussi grosse que celle du front.

Pronotum. – Ponctuation non réunie par des sillons, plus grosse sur le disque que sur les bords, d'environ 0,01 mm de diamètre, aux rebords mal délimités, les points distants de 2 à 3 diamètres sur le disque. Angles antérieurs avec un pore distinct. Marge antérieure derrière la tête droite ou peu convexe, non bisinuée. Ligne de points distincts à la base absente. Strie marginale rapprochée du bord en avant de moins de 0,018 mm, non crénelée.

Elytres. – Élytres ponctués, avec un pore vers le milieu de la base. Ponctuation non reliée par des sillons, moins grosse que celle du pronotum, plus forte le long de la suture sur la moitié basale. Disque sans strie transverse. Moitié externe des élytres avec deux stries (dorsale et subhumérale ou marginale) au moins deux fois plus distantes à la base qu'à l'apex. Strie dorsale non recourbée le long de la base où elle est entière ou à peine raccourcie, atteignant l'apex et l'angle sutural en arrière. Strie subhumérale (marginale) complète, non réunie à la strie dorsale en arrière. Élytres sans stries basales supplémentaires. Strie suturale absente. Ponctuation de l'apex des élytres non striolée. Strie épipleurale présente, entière. Épipleure imponctué, avec un pore situé au niveau du quart basal et ventralement à la strie subhumérale.

Pygidia. – Pygidium ponctué plus fortement que les élytres, avec les points arrondis, distants de 2 à 3 diamètres.

Sterna. – Lobe prosternal avec une strie marginale antérieure (finement crénelée), non émarginé en avant, ponctué ou pointillé, sans striation longitudinale irrégulière. Stries prosternales parallèles en avant et en arrière. Carène prosternale pointillée, plus large que longue. Mésoventrite sans strie ou rangée de sulci, sans ligne de points plus gros en avant, avec la strie

106

107

105

108

Fig. **105-110**. *Bacanius subcarinatus* Wenzel & Dyba. Holotype.

105. Habitus en vue dorsale. **106**. Habitus en vue ventrale. **107**. Avant-corps. **108**. Vue latérale. **109**. Etiquettes d'un spécimen identifié par R.L. Wenzel [BMNH]. **110**. *Idem*, exemplaire présent au MNHN.

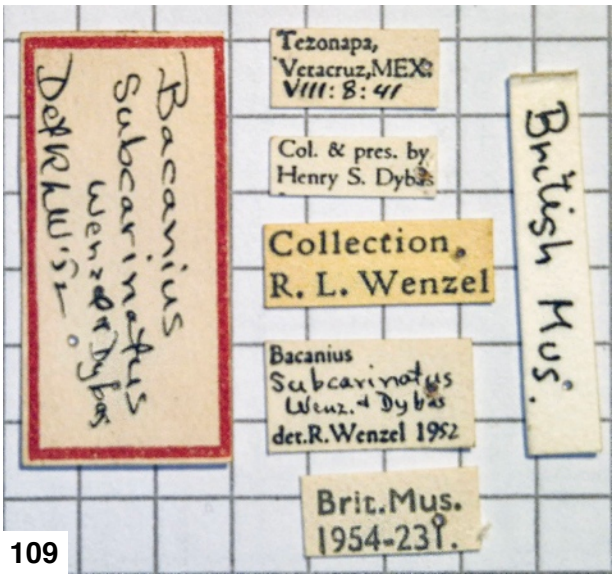

109

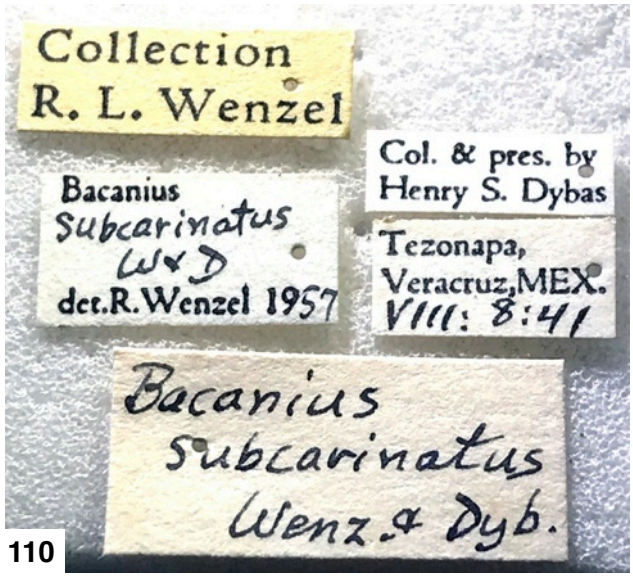

110

marginale marquant un angle net avec la strie métaventrale latérale, en continuité avec la strie mésopostcoxale. Strie méso-métaventrale absente. Suture méso-métaventrale visible ou sa trace plus foncée convexe vers l'arrière. Disque méso-métaventral entièrement ponctué, le diamètre des points supérieur à 0,01 mm, sans zone médiane plus finement et densément ponctuée, sans rangée longitudinale de points distincte, sans fine carène médiane apicale ou tubercule allongé. Métaventrite latéral ponctué avec seulement une strie de chaque côté et une strie méso-postcoxale très courte ou obsolète. Aire méso-postcoxale ponctuée. Mésépimère ponctué, sans strie coudée interne (ventrale), avec une strie externe (dorsale) angulée ou fortement recourbée. Métépimère ponctué. Premier ventrite abdominal à ponctuation plus fine que celle du métaventrite latéral, ronde, sans rangée de points distincts de la ponctuation longeant la marge antérieure, avec une strie latérale d'abord longitudinale puis coudée ou arrondie.

Pattes. – Protibias à la marge apicale droite, ponctués sur leur face ventrale avec un denticule le long du bord externe. Protarses sans soies modifiées en massue ou allongées en plus des soies simples. Profémurs avec une aire imponctuée microstriée ventralement. Métatibias environ 0,24 fois aussi longs que le corps.

Distribution. – Région zoogéographique néotropicale (Mexique, Costa Rica, Honduras). **Costa Rica** : 18.VII.1929, unter loser Rinde [sous écorce déhiscente], F. Nevermann, det. R.L. Wenzel 1942, 2 [USNM]. **Honduras : Ocatepeque**, Reserva Biologica El Guisayote [14°27'N ; 89°04'W], 4.XII. 1995, R. Turnbow, det. P. Kovarik, 7 [CHND], 8 [CHPK] ; *idem*, 1,XII. 1995, F.W. Skillman, Jr., 1 [CHND]. **Mexique : Hidalgo**, Mpio: Tlanchinol, 3 km. E Tlanchinol, 1470 m., 20°58'59"N ; 98°37'59"W, mesophilic forest, under oak bark, 16.VIII.2017, P.W. Kovarik [CHPK] ; **Veracruz**, Tezonapa, 8.VIII.41, Col. & pres. by Henry S. Dybas, det Wenzel-1952, 1 [BMNH : Fig. 109] ; *idem*, det. R. Wenzel 1957, 1 [MNHN : Fig. 110] ; El Fortín, 8.VII.1941, Collection R.L. Wenzel, 1 [MNHN].

Bioécologie. – Sous écorces déhiscentes.

Bacanius sulcisternus Wenzel, 1944

(Fig. 111 - 113)

Bacanius sulcisternus Wenzel, 1944 : 99.
Bacanius (Bacanius) sulcisternus Wenzel : Mazur, 2011 : 142.

Matériel-type. – 1 Paratype [FMNH].

Habitus. – L = 0,64–0,7 mm ; l = 0,5–0,52 mm ; e = 0,36 mm ; L/l = 1,27–1,33 ; L/e = 1,75 (N = 3). Dessus du corps ponctué au moins sur le pronotum. Ponctuation non sétigère, simple.

Tête. – Yeux bien développés. Front lisse entre les points. Ponctuation du clypeus au plus aussi grosse que celle du front.

Pronotum. – Ponctuation non réunie par des sillons, plus grosse sur le disque que sur les bords, d'environ 0,007 mm de diamètre, aux rebords mal délimités, distante de 2 à 4 diamètres sur le disque. Angles antérieurs avec un pore distinct. Marge antérieure derrière la tête droite ou peu convexe, non bisinuée. Ligne de points distincts à la base présente, les points très fins et suggérant de petits tubercules. Espace entre la ligne antéscutellaire de points et la base très étroit ou nul. Strie marginale rapprochée du bord en avant de moins de 0,018 mm, non crénelée.

Elytres. – Élytres pointillés, avec un pore à l'angle huméral, peu distinct. Ponctuation non reliée par des sillons, moins grosse que celle du pronotum, uniforme. Disque sans strie transverse. Moitié externe des élytres avec deux stries (dorsale et subhumérale ou marginale) parallèles ou s'éloignant à la base de moins de deux fois de leur distance apicale. Strie dorsale non recourbée le long de la base où elle est entière ou à peine raccourcie, atteignant l'apex et l'angle sutural en arrière. Strie subhumérale (marginale) complète, non réunie à la strie dorsale en arrière. Élytres sans stries basales supplémentaires. Strie suturale présente, simple, sur le tiers antérieur. Ponctuation de l'apex des élytres non striolée. Strie épipleurale absente. Épipleure imponctué, avec un pore situé au niveau du quart basal et ventralement à la strie subhumérale.

Pygidia. – Pygidium pointillé plus fortement que les élytres avec les points arrondis et distants de 2 à 3 diamètres.

Sterna. – Lobe prosternal avec une strie marginale antérieure, non émarginé en avant, avec une striation longitudinale irrégulière. Stries prosternales parallèles en avant et en arrière. Carène prosternale ponctuée, un peu plus large que longue. Mésoventrite avec une rangée de sulci ou points allongés de longueurs inégales, sans ligne de points plus gros en avant, avec la strie marginale marquant un angle très ouvert à sa jonction avec la strie métaventrale latérale, en continuité avec la strie mésopostcoxale. Strie méso-métaventrale absente. Suture méso-métaventrale visible ou sa trace plus foncée droite. Disque méso-métaventral lisse ou pointillé, le diamètre des points inférieur ou égal à 0,009 mm. Disque métaventral sans zone médiane plus finement et densément ponctuée, sans rangée longitudinale de points distincte, sans fine carène médiane apicale ou tubercule allongé. Métaventrite latéral ponctué avec seulement une strie de chaque côté, sans strie méso-postcoxale. Aire méso-postcoxale imponctuée. Mésépimère ponctué de 2 à 3 points alignés avec une strie coudée ou arrondie interne (ventrale) et une strie externe (dorsale) presque droite, moins marquée que la précédente. Premier ventrite abdominal imponctué ou pointillé, sans rangée de points distincts de la ponctuation longeant la marge antérieure, avec une strie latérale régulièrement arrondie vers l'extérieur. Strie post-métacoxale présente mais peu nette.

Pattes. – Profémurs sans aire imponctuée microstriée ventralement. Métatibias 0,34 fois aussi longs que le corps.

Distribution. – Région zoogéographique néotropicale (Costa Rica). L'espèce ne semble pas avoir été reprise depuis sa description.

Bioécologie. – Les exemplaires types ont été récoltés sur un banc de sable (Wenzel, 1944).

111

112

113

Fig. **111**-**113**. *Bacanius sulcisternus* Wenzel.

111. Habitus en vue dorsale. **112**. Habitus en vue ventrale. **113**. Vue latérale.

Bacanius tantillus J.L. Le Conte, 1853

(Fig. 114-121)

Bacanius tantillus J.L. Le Conte, 1853 : 291.
Bacanius (Bacanius) tantillus J.L. Le Conte : Mazur, 2011 : 142.

Matériel-type. – Dans la collection De Marseul, le spécimen étiqueté comme sur la Fig. 114 (MNHN) est un mâle qui a été disséqué par V. Vomero. Bien que Le Conte n'aie pas spécifié le nombre d'exemplaires à sa disposition, nous ne savons pas si ce spécimen appartient à la série des syntypes, comme pourrait le suggérer le "T" de la main de Marseul.

Habitus. – L = 1 (1,07) 1,2 mm ; l = 0,76 (0,81) 0,9 mm ; e = 0,51 (0,57) 0,65 mm ; L/l = 1,29 (1,31) 1,33 ; L/e = 1,81 (1,86) 1,96 (N = 13). Dessus du corps ponctué au moins sur le pronotum. Ponctuation non sétigère, simple.

Tête. – Yeux bien développés. Front lisse entre les points. Ponctuation du clypeus au plus aussi grosse que celle du front. Apex des mandibules bifide.

Pronotum. – Marge antérieure derrière la tête droite ou peu convexe, non bisinuée. Ponctuation non réunie par des sillons, uniforme, d'environ 0,009 mm de diamètre, aux rebords bien marqués, les points distants de 1 à 2 diamètres sur le disque. Angles antérieurs avec un pore distinct. Ligne de points distincts à la base absente. Strie marginale rapprochée du bord en avant de moins de 0,018 mm, non crénelée.

Elytres. – Élytres ponctués, sans pore prébasal visible, ponctuation non reliée par des sillons, environ deux fois plus grosse que celle du pronotum, uniforme. Disque sans strie transverse. Moitié externe des élytres avec deux stries (dorsale et subhumérale ou marginale) parallèles ou s'éloignant à la base de moins de deux fois de leur distance apicale. Strie dorsale non recourbée le long de la base où elle est raccourcie d'environ un tiers, atteignant l'apex et l'angle sutural en arrière. Strie subhumérale (marginale) raccourcie de sa moitié postérieure, non réunie à la strie dorsale en arrière. Élytres sans stries basales supplémentaires. Strie suturale absente. Ponctuation de l'apex des élytres non striolée. Strie épipleurale présente raccourcie d'environ un tiers en arrière. Épipleure éparsément ponctué, sans pore distinct.

Pygidia. – Pygidium ponctué moins fortement que les élytres, avec les points arrondis et distants de 0,5 à 1 diamètre.

Sterna. – Lobe prosternal avec une strie marginale antérieure très fine, faiblement émarginé au milieu en avant, ponctué ou pointillé, sans striation longitudinale irrégulière. Stries prosternales divergentes en avant et en arrière. Carène prosternale ponctuée comme le lobe, aussi large que longue. Mésoventrite sans strie ou rangée de sulci, sans ligne de points plus gros en avant, la strie marginale marquant un angle net avec la strie métaventrale latérale, en continuité avec la strie mésopostcoxale. Strie méso-métaventrale absente. Suture méso-métaventrale visible ou sa trace plus foncée convexe vers l'arrière. Disque méso-métaventral entièrement ponctué, le diamètre des points compris entre 0,005 et 0,01 mm, avec une zone médiane plus finement et densément ponctuée, sans rangée longitudinale de points distincte, sans fine carène médiane apicale ou tubercule allongé. Disque métaventral chez le mâle étroitement concave entre deux élévations longitudinales. Métaventrite latéral ponctué, avec seulement une strie de chaque côté et une strie méso-postcoxale. Aire méso-postcoxale ponctuée.

114

Fig. **114**. *Bacanius tantillus* J.L. Le Conte. Etiquettes d'un exemplaire mâle présent au MNHN.

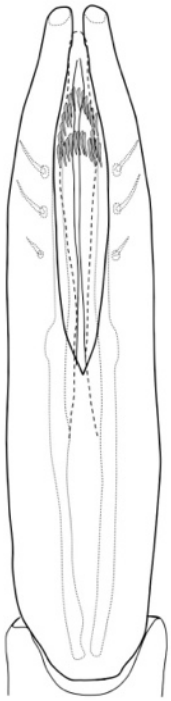

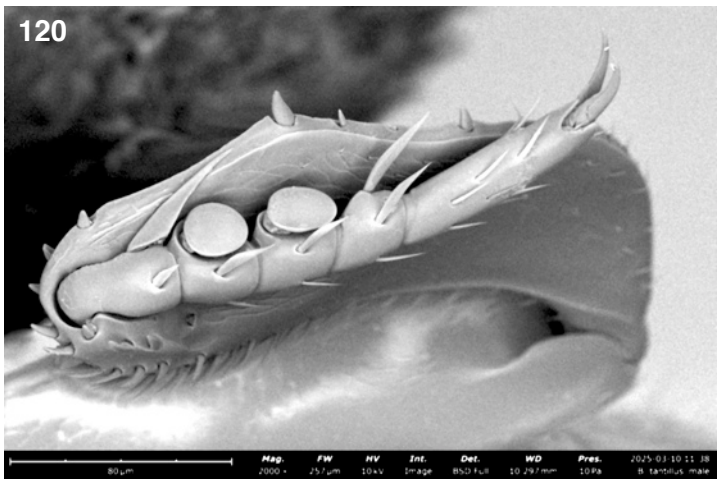

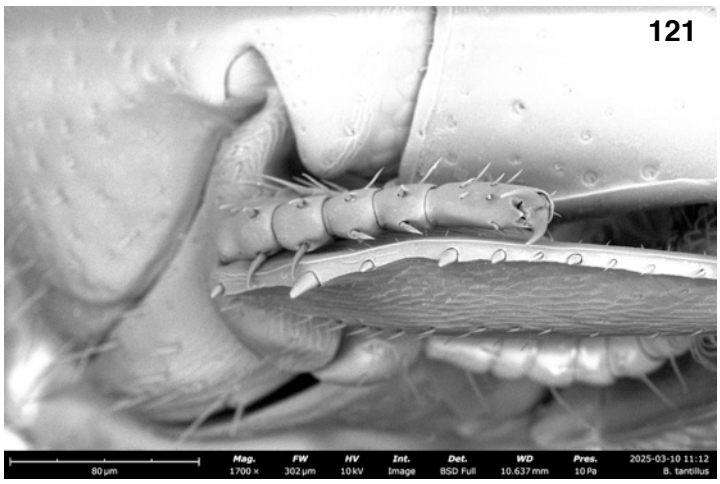

Fig. **115**-**121**. *Bacanius tantillus* J.L. Le Conte.

115. Habitus en vue dorsale. **116**. Habitus en vue ventrale. **117**. Vue latérale. **118**. Avant-corps. **119**. Edéage en vue dorsale. **120**. Détails des protarses du mâle en vue ventrale, exemplaire de Blount Co., Highland Lake (photo MEB). **121**. *Idem*, femelle (photo MEB)

Mésépimère ponctué sur sa moitié dorsale, sans strie coudée interne (ventrale), avec une strie externe (dorsale) angulée ou fortement recourbée. Premier ventrite abdominal à ponctuation au moins aussi grosse que celle du métaventrite latéral, ronde, sans rangée de points distincts de la ponctuation longeant la marge antérieure, avec une strie latérale d'abord longitudinale puis coudée ou arrondie. Strie post-métacoxale présente, très courte.

Pattes. – Protibias alutacés sur leur face ventrale, avec trois denticules le long du bord externe. Protarses chez le mâle avec des ventouses ventrales sur les deuxième et troisième articles. Métatibias 0,31 fois aussi longs que le corps.

Genitalia mâles. – Paramères de l'édéage incurvés ventralement à l'apex, trois fois aussi longs que large ensemble, en vue dorsale sans élargissement préapical, séparés apicalement sur 0,54 fois leur longueur, avec des soies ventrales préapicales au nombre de 3 sur chaque paramère mais sans soies ventrales apicales.

Distribution. – Régions zoogéographiques : néarctique, néotropical (Mexique). **Mexique**: Puebla, 3.2 km SW LaCumbre, 1524 m, oak forest, 23.VII.87, dét. N. Degallier, R. Anderson, 1[9] [CHPK]. **USA: Alabama: Blount Co.,** nr. Highland Lake at 33.8825°N 86.422°W, 285 m, dead oak Berlese, 23.V.2013, T. King, 3 [CSCA] ; *idem*, FIT, V.2013, 4 [CSCA] ; *idem*, 33.88253°N 86.42185°W, Berlese, oak, 13.V.2013, 1 [CHND] ; Highland Lake, leaf litter Berlese extraction, 29.I.2013, T. King, dét. A. K. Tishechkin, 2 [FSCA] ; Jasper, 14.I.82, 1 mâle & 1 femelle [CHYG] ; *idem*, 30.XII.84, 2 [CHYG] ; *idem*, Blountsville, 17.X.1976, T. King, det. N. Degallier, 1 mâle [FMNH] ; **Jefferson Co**., Center Pt. Birmingham, FMHD #82-528, oak tree hole, 25.XII.1982, T. King, det. N. Degallier, 3 mâles [FMNH] ; Birmingham, Gate City, Rock Quarry, 6.II.1970, T. King, det N. Degallier, 1 [FMNH]. **Arkansas: Newton Co.,** Lost Valley at 36°0.6'N 92°22.5'W, forest litter, 1.VII.2002, H. Robison, 3 [CSCA] ; Polk Co., Rich Mountain, Eagleton Overlook [34.655°N 94.275°W], forest litter, C. E. Carlton & H. Robison, 1 [CSCA]. **Georgia: Clarke Co.,** Whitehall Forest [33.85°N 83.355°W], leaf litter, 7.IV.1975, R. Turnbow, 1 [CSCA] ; **Habersham Co**., 6mi. N. Batesville on Rt-97, lumber yard [cour à bois], 21.VI.1987, P. Skelley, 1 [CHPK] ; **Dawson Co**., Mt. Oglethorpe, 2000 ft [609 m ; 34.48670°N, 84.34034°W], lot 67 III, Berlese: lot 80, log litter, 20.VII.1967, leg S. Peck & A. Fisk F.M.N.H. (HD), dét. R. Wenzel [slide 100 V. Vomero], 1 [CHVV]. **Illinois: Edgar Co.**, 4 mi. SSE Kansas [39.49°N 87.9°W], under bark of dead tree, 31.V.1999, M. A. Goodrich, 1 [CSCA] ; **Will Co**., 1 Mi. N. of Frankfurt (at Hickory creek), Berlese: frass in decaying branch on ground, 31.VIII. 1952, H.S. Dybas, det. R. Wenzel 1957, 1 [MNHN]. **Indiana**: **Porter Co**., Indiana Dunes N. L., Beverly Shores, Indiana Dunes Savanna Survey, FIT, 14-28.VI.1995, R. Grundel, 1 [CHPK] ; *idem*, Lindgren funnel trap, 19.VII.1996, 2 [CHPK]. **Kentucky: Bath Co.,** Dan Boone National Forest, Clear Creek Campground [38.045°N 83.585°W], forest litter & conif. berlese, 5.XII.1992, C. E. Carlton leg., A.K. Tishechkin dét., 2 [CSCA], 1 [CHND] ; **Hart Co**., 4 mi. N. Munfordville, floor litter of wood lot, FMHD #61-278, 31.VIII.1961, leg. J. Wagner & W. Suter, det. N. Degallier, 1 mâle [FMNH]. **Louisiana: West Feliciana Par.**, nr. Freeland, Feliciana Preserve, 30°47'N 91°15'W, FIT, 24.IV.-11.V.2003, A. K. Tishechkin, 1 [CSCA]. **Maryland** : **Anne Arundel Co**., Edgewater, 29.V.1988, C. L. & S. L. Staines, dét. A. K. Tishechkin, 1 [FSCA]. **Michigan, Berrien Co**., Lakeside, Warren Woods, FMNH(HD)#66-97, ex. *Plethodon cinereas* [*P. cinereus*[10]], 25.VI.1966, W. Suter, det. N. Degallier, 1 femelle [FMNH]. **Mississippi: Oktibbeha Co**., Dorman Lake [33°20'20"N, 88°52"24"W], 19.II.1986, S. MacDonald, 1 [MEM]. **Missouri**, Lucedale, 24.IV.1929, H. Dietrich, det. R. Wenzel, Coll. Ballou F.M.N.H., 2 [MNHN ; BMNH]. **North Carolina, Alleghany Co**., Roaring Gap, 8.VII.2006, Berlese extract of litter on & under standing dead fir tree, J.F. Cornell, det A.K. Tishechkin, 1 [FMNH] ; **Jackson Co**.,7 mi. E Cashiers, Whitewater Falls, FMHD #73-223, chestnut oak tree-hole, 13.VI.1973, W. Suter, det. N. Degallier, 1 [FMNH]. **Ohio**: **Ross Co**., vic. Tar Hollow State Park, sifted from *Formica* nest debris at base of standing dead pine, 16.VI.1993, P.W. Kovarik & M. Archangelsky, 1 [CHPK] ; **Hocking Co.**, Conkle's Hollow St. Pk. [39°27'15"N ; 82°34'23"W], under bark, 17.VII.1980, M. A. Ivie & L. Watrous, 1 [CHPK] ; **Preble Co**., Hueston Woods S.P., Big Woods Tr. NW jct. Brown Rd., 39°34.3'N ; 084°45.5'W, beech-maple forest litter Berlese extr., 11.XI.2008, P.W. Kovarik, 1 [CHPK] ; **Scioto Co.**, Shawnee St. Pk., 9.VI.1990, P.W. Kovarik & S. Wells, 1 [CHPK]. **Oklahoma**: **Le Flore Co**., Ouchita National Forest [34°45'32"N, 94°49'22"W], VI.1994, Jackson & K. H. Stephan, 1 [CHPK]. **Pennsylvania** [state only], 3.VI.1896, Rev. J. Schmitt, 8 [CSCA]. **South Carolina: Barnwell Co.**, Savannah River Site, emerged from dead pine, 8.VIII.2006-4.IV.2007, M. D. Ulyshen, 3 [CSCA]. **Tennessee: Cocke Co.**, Great Smokie Mountains National Park, Albright Grove Loop Trail at 35.735°N 87.279°W, 980 m, Sante trap[11], canopy, 19.V.-29.VI.2007, LSAM Team, 1 [CSCA]. **Virginia**: Washington Co., Abingdon, Cummings Woods, chestnut log mold stage IV, 5.IX.1964, J. Wagner, det. N. Degallier, 1 mâle [FMNH]. **West Virginia**: **Greenbrier Co**., Rupert, lumber yard [cour à bois], 20-21.VII.1992, S. F. Hutchinson, 1 [CHPK].

Bioécologie. – Espèce vivant dans la litière sous des troncs d'arbres morts, dans l'humus de troncs creux, sous écorces déhiscentes, dans des débris de nids de fourmis, le plus souvent récoltée par tamisage suivi d'extraction par entonnoir de Berlese.

Remarques. – Certaines données de distribution n'ont pu être vérifiées par nous-même et peuvent résulter d'erreurs d'identification entre *B. tantillus* et les espèces proches *B. globulinus* et *B. hatchi*. En effet, *B. tantillus* est répandue dans la moitié Est des Etats-Unis et plutôt en basse altitude (en dessous de 950 m) alors que les deux autres espèces sont restreintes respectivement à la Californie et à la moitié Ouest du pays et en milieu montagneux.

Bacanius tlanchinol Degallier & Kovarik **nov**. **sp**.

(Fig. 122 - 130 ; 145)

ZooBank: https://zoobank.org/F662B800-FBE2-41D1-B9B0-3019292313D8

Localité-type : Mexique (Tlanchinol).

Holotype : "21°01'00"N ; 98°38'00"W MEXICO: Hidalgo, Mpio: Tlanchinol, Hwy 105, 2.7 mi. N. Tlanchinol, 5000' [1524 m], 15.VI.1983, C.W. & L.B. O'Brien, G. Marshall, cloud forest litter" [MNHN].

Paratypes :

- **8** ex. étiquetés comme l'holotype [CHPK] ;
- **1** ex. : MEXICO: Hidalgo, Hwy 105, 2.7 mi N Tlanchinol 5000' [1524 m], [sifted] cloud forest litter Berlese extraction, 10.VI.1983, G. Marshall, C.W. O'Brien & L. O'Brien [CHPK] ;
- **20** ex. : MEXICO: Hidalgo, Hwy 105, 2.7 mi N Tlanchinol 5000' [1524 m], Berlese extraction, 14.VI.1983, C.W. O'Brien, L. O'Brien & G. Marshall [FSCA] ;
- **1** ex. : MEXICO: Hidalgo, Hwy 105, 2.7 mi N Tlanchinol 5000' [1524 m], [sifted] cloud forest litter Berlese extraction, 15.VI.1983, C.W. O'Brien, L. O'Brien & G. Marshall [CHPK] ;

[9] La présence de l'espèce loin de son aire habituelle de distribution nécessite confirmation par de nouvelles récoltes car il peut s'agir d'une erreur d'étiquetage.

[10] D'après l'étiquette accompagnant le spécimen, on peut supposer qu'il a été trouvé dans le tube digestif de la salamandre citée! Une recherche non exhaustive nous a montré qu'il n'est pas exceptionnel de trouver des Histeridae dans ces conditions (Bausmann & Whitaker, Jr, 1987) et qu'un autre micro-Histeridae, un *Aeletes* sp., a été trouvé dans l'intestin d'une salamandre (Hutton, 2018). Cependant, une recherche dans les fichiers et notes de terrain relatifs aux récoltes de W. Suter en 1966 n'ont pas permis de confirmer la réalité de cette découverte (Rebekah Shuman Baquiran, FMNH, comm. pers.).

[11] Ce piège Malaise particulier offre l'avantage de pouvoir être suspendu pour échantilloner la canopée forestière (Anonyme, 2000).

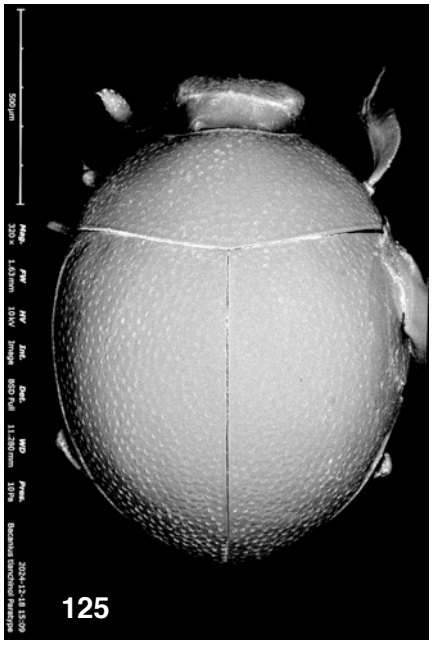

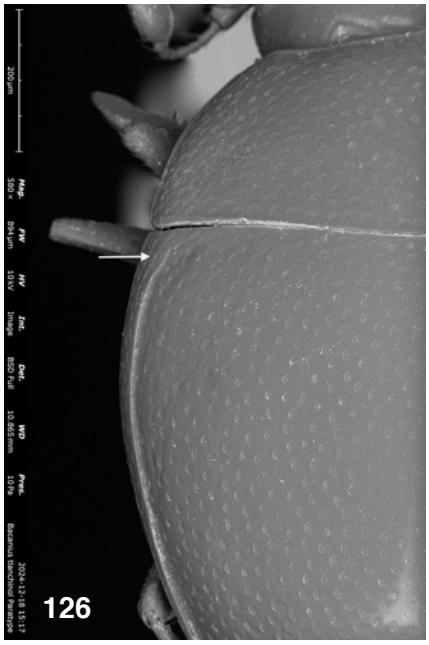

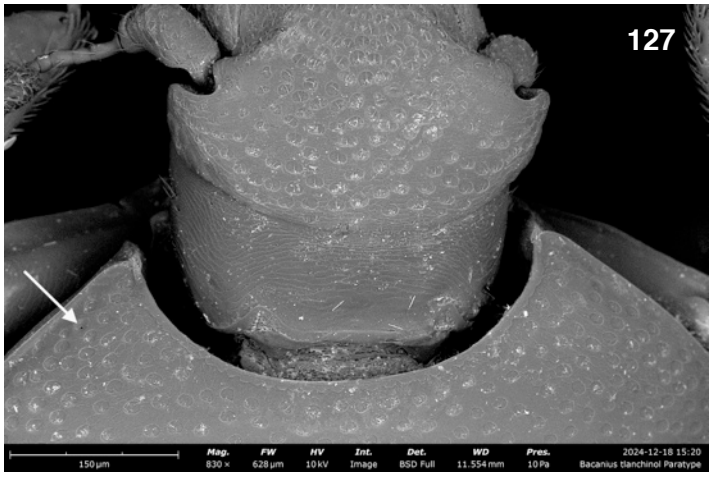

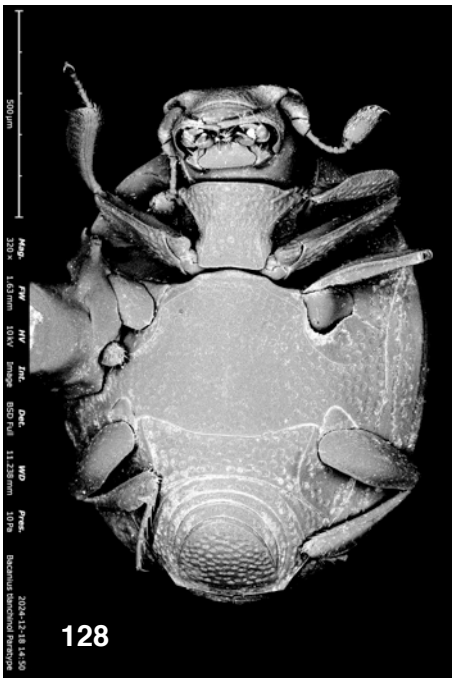

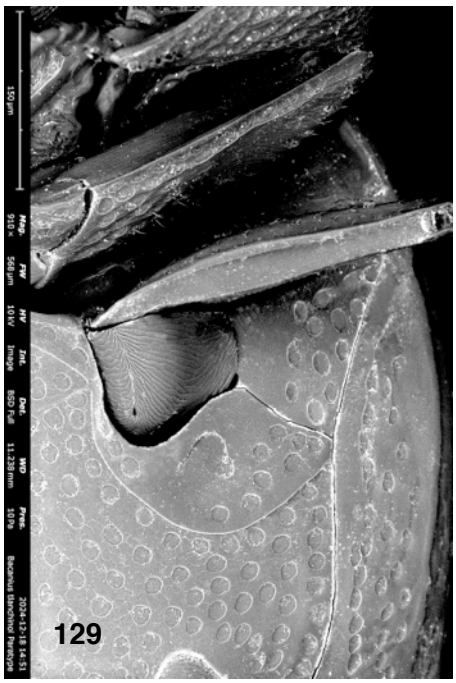

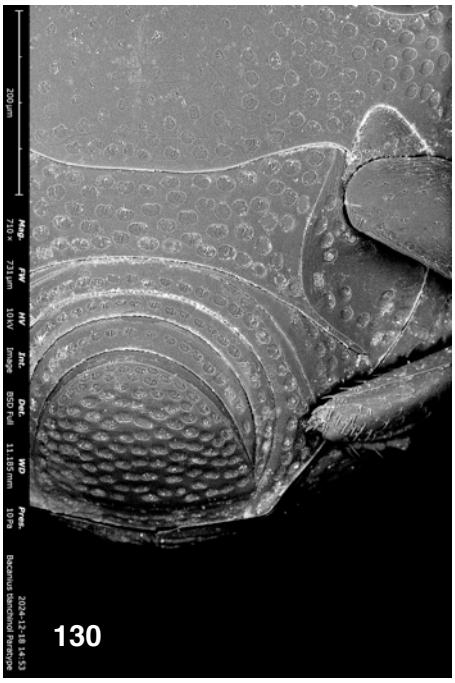

Fig. **122**-**130**. *Bacanius tlanchinol* Degallier & Kovarik **nov**. **sp**.

122. Habitus en vue dorsale. **123**. Habitus en vue ventrale. **124**. Vue latérale. **125**. Habitus en vue dorsale. **126**. Angles antérieurs du pronotum, la flèche pointe sur le pore. **127**. Détail de la région humérale de l'élytre gauche, la flèche pointe sur le pore en position humérale. **128**. Habitus en vue ventrale. **129**. Métaventrite latéral et mésépimère. **130**. Détail du premier ventrite abdominal et du pygidium (Fig. 125-130 : photos MEB).

- **24** ex. : MEXICO: Hidalgo, Hwy 105, 2.7 mi N Tlanchinol 5000' [1524 m], [sifted] cloud forest litter Berlese extraction, 15.VI.1983, C.W. & L. B. O'Brien, G. Marshall [8 : CHPK ; 3 : CHND ; 13 : FSCA] ;
- **2** ex. : "MEXICO: Hidalgo, Hwy105, 2.7 mi N Tlanchinol 5000' [1524 m], 17.VI.1983, C.W. O'Brien, cloud for. litter" [CHND] ;
- **4** ex. : "MEXICO: Hidalgo, Hwy105, 2.7 mi N Tlanchinol 5000' [1524 m], 17.VI. 1983, C.W. & L.B. O'Brien, G. Marshall, [sifted] cloud forest litter" [CHND] ;
- **17** ex. : "MEXICO: Hidalgo, Hwy105, 2.7 mi N Tlanchinol 5000' [1524 m], 17.VI.1983, C.W. & L. O'Brien, Berlese cloud forest litter" [CHND].

Habitus. – L = 0,91 (0,99) 1,02 mm ; l = 0,78 (0,83) 0,84 mm ; e = 0,57 (0,6) 0,63 mm ; L/l = 1,16 (1,19) 1,22 ; L/e = 1,59 (1,63) 1,67 (N = 5). Dessus du corps ponctué au moins sur le pronotum. Ponctuation brièvement sétigère, simple.

Tête. – Yeux présents. Front lisse entre les points. Ponctuation du clypeus au plus aussi grosse que celle du front. Marge antérieure derrière la tête droite ou convexe, non bisinuée.

Pronotum. – Ponctuation non réunie par des sillons, uniforme, d'environ 0,01 à 0,018 mm de diamètre, aux rebords bien marqués, les points distants de 0,5 à 1 diamètres sur le disque. Angles antérieurs avec un pore distinct. Marge antérieure derrière la tête droite ou peu convexe, non bisinuée. Ligne de points distincts à la base absente. Strie marginale rapprochée du bord en avant de moins de 0,018 mm, crénelée ou ponctuée.

Elytres. – Élytres ponctués avec un pore à l'angle huméral. Ponctuation non reliée par des sillons, moins grosse que celle du pronotum, uniforme. Disque sans strie transverse. Moitié externe des élytres avec deux stries (dorsale et subhumérale ou marginale) parallèles ou s'éloignant à la base de moins de deux fois de leur distance apicale. Strie dorsale recourbée le long de la base où elle est entière ou à peine raccourcie, atteignant l'apex mais n'atteignant pas l'angle sutural en arrière. Strie subhumérale (marginale) complète, non réunie à la strie dorsale en arrière. Élytres avec des traces de courtes stries basales de longueurs inégales, sans aire lisse basale vers la suture. Strie suturale absente. Strie épipleurale présente, raccourcie à la base, ponctuée. Épipleure ponctué, sans pore distinct.

Pygidia. – Pygidium ponctué comme les élytres, avec les points arrondis, distants de 0,3 à 0,5 diamètres.

Sterna. – Lobe prosternal avec une strie marginale antérieure, non émarginé en avant, avec une striation longitudinale irrégulière. Stries prosternales convergentes en avant, divergentes en arrière. Carène prosternale ponctuée. Mésoventrite sans strie ou rangée de sulci, sans ligne de points plus gros en avant, avec la strie marginale marquant un angle net avec la strie métaventrale latérale, en continuité avec la strie mésopostcoxale. Strie méso-métaventrale absente. Suture méso-métaventrale visible ou sa trace plus foncée convexe vers l'arrière. Disque méso-métaventral entièrement ponctué, le diamètre des points supérieur à 0,01 mm, sans zone médiane plus finement et densément ponctuée, sans rangée longitudinale de points distincte, avec une fine carène médiane peu nette sur environ la moitié postérieure du segment. Métaventrite latéral ponctué avec seulement une strie de chaque côté, sans strie méso-postcoxale. Aire post-mésocoxale ponctuée. Mésépimère ponctué, sans strie coudée interne (ventrale) ni strie externe (dorsale). Métépimère ponctué. Premier ventrite abdominal à ponctuation au moins aussi grosse que celle du métaventrite latéral, ronde, sans rangée de points distincts de la ponctuation longeant la marge antérieure, avec une strie latérale d'abord longitudinale puis coudée ou arrondie. Strie post-métacoxale absente.

Pattes. – Protibias à la marge apicale droite avec un denticule le long du bord externe. Protarses sans soies modifiées en massue ou allongées en plus des soies simples. Métatibias environ 0,3 fois aussi longs que le corps.

Distribution. – Région zoogéographique : néotropicale (Mexique) (Fig. 145).

Bioécologie. – Litière en forêt pluviale d'altitude (1524 m).

Derivatio nominis. – Espèce nommée en apposition par le nom de la municipalité de récolte.

Remarques. – L'espèce se distingue des autres *Bacanius* par la combinaison de caractères suivante : absence de strie ou de ligne de points antéscutellaire, habitus très court et convexe (rapport longueur sur largeur compris entre 1,06 et 1,25), ponctuation forte et nettement délimitée, stries élytrales dorsale et subhumérale entières et parallèles, strie dorsale recourbée à la base, pores basaux des élytres situés près du calus huméral, mésoventrite sans rangée de sulci ou de points plus gros, mésépimère dépourvu de stries.

Bacanius wenzeli Degallier, Kovarik, Tishechkin & Vomero **nov**. **sp**.
(Fig. 131 - 145)

ZooBank: https://zoobank.org/1903D627-3335-40F6-9886-45C94CD04AC6

Localité-type : Belize, Mexique, Nicaragua, Costa Rica et Panama.

Holotype : **Belize**: Orange Walk Dist., Rio Bravo Cons. Area, La Milpa Ruins [17°50'25"N;89°02'58"W], subcortical debris, Berlese extr., 17.IV. 1995, P.W. Kovarik, Rio Bravo Survey HIS0006 [FMNH].

Paratypes :
- **1** ex.: **Belize**: Orange Walk Dist., Rio Bravo Cons. Area, La Milpa Field Sta., Archeological Site, 17°50'03.7"N, 89°03'04.7"W, Berlese extr., 14.V.1997, C. Carlton & M. McMichael [CHPK] ;
- **1** ex. : **Belize**, Orange Walk Dist., Rio Bravo Cons. Area, La Milpa Ruins, 17°50'25"N ; 89°02'58"W, subcortical debris Berlese, 17.IV.1995, P. W. Kovarik "Rio Bravo Survey HIS0006" / "*Bacanius* n. sp. "B" det. R. Wenzel, 1995" [CHND] ;
- **1** ex. : **Belize**: Toledo District, Columbia Forest Reserve, Union Camp, 734 m, 17°50'03.7"N, 89°03'04.7"W, FITs, 11-15.VIII.2006, P. W. Kovarik [CHND] ;
- **7** ex.: Belize: Orange Walk Dist., Rio Bravo Conservation Area, La Milpa

131

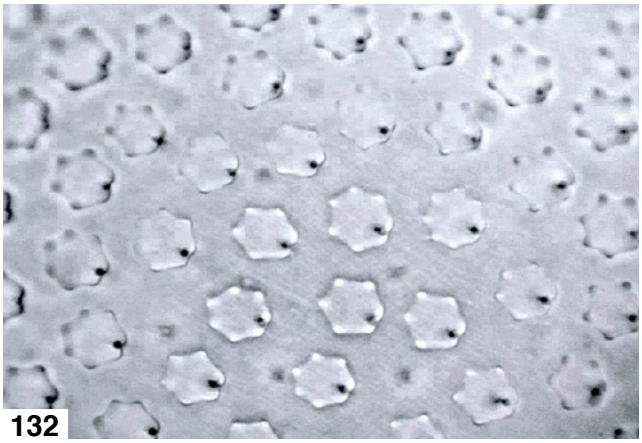
132

133

134

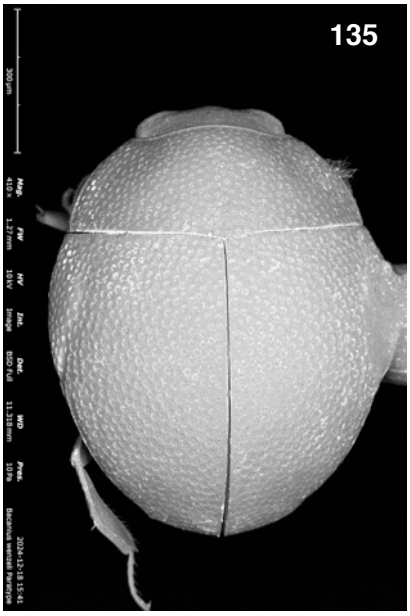

135

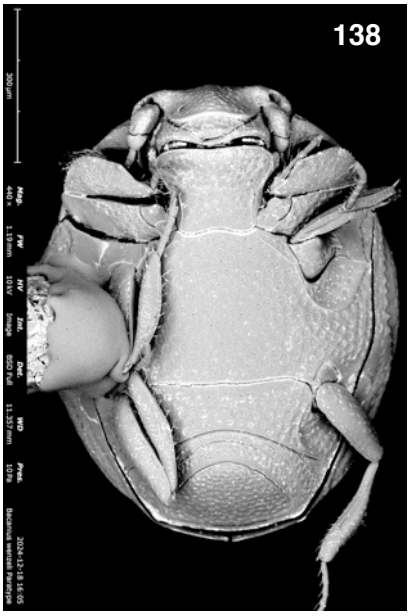

138

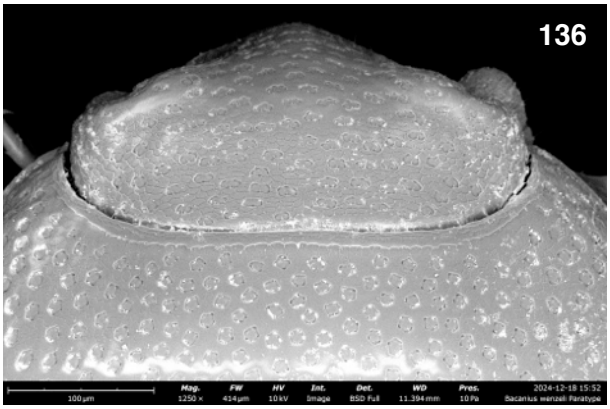

136

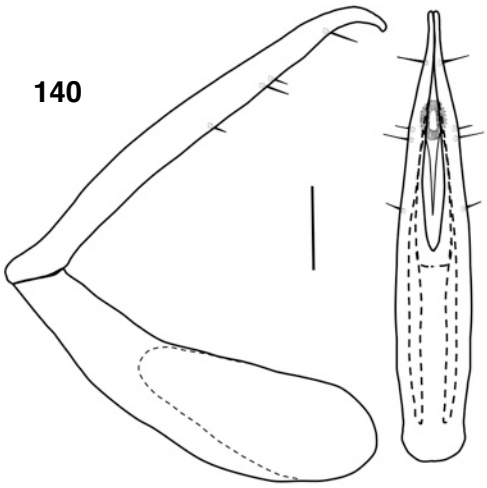

140

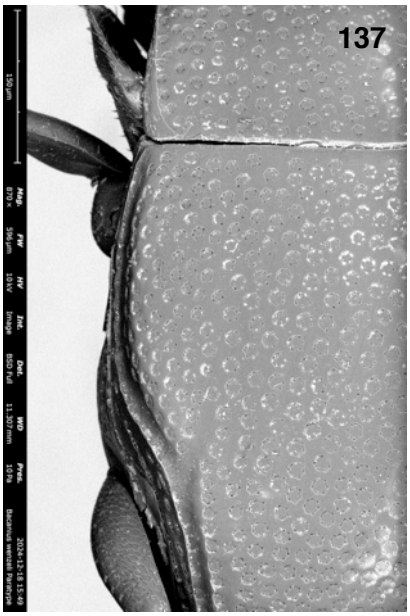

137

139

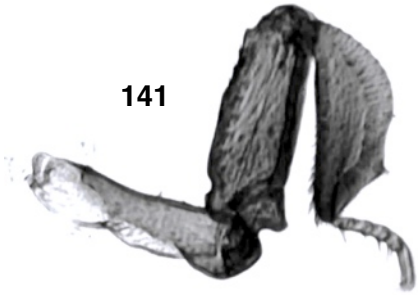

141

Fig. **131**-**141**. *Bacanius wenzeli* Degallier, Kovarik, Tishechkin & Vomero **nov**. **sp**.

131. Habitus en vue dorsale (spécimen du Nicaragua). **132**. Détail de la ponctuation élytrale d'un paratype mâle (photo MEB). **133**. Habitus en vue ventrale. **134**. Vue latérale. **135**. Habitus en vue dorsale (photo MEB). **136**. Avant-corps (photo MEB). **137**. Région humérale des élytres (photo MEB). **138**. Habitus en vue ventrale (photo MEB). **139**. Région métaventrale latérale (photo MEB). **140**. Genitalia mâle, vue latérale à gauche, vue dorsale à droite, échelle = 0,1 mm. **141**. Patte antérieure de la femelle, vue dorsale.

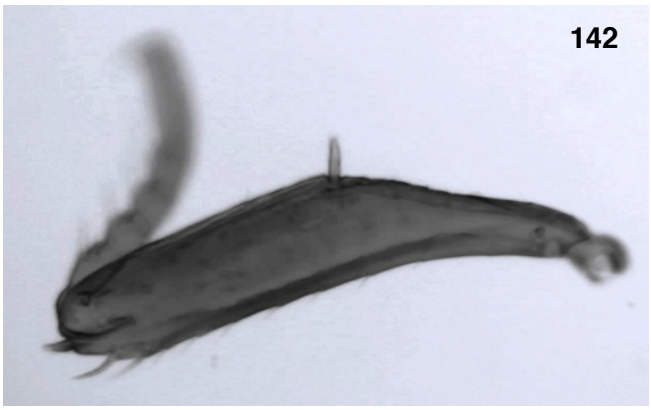

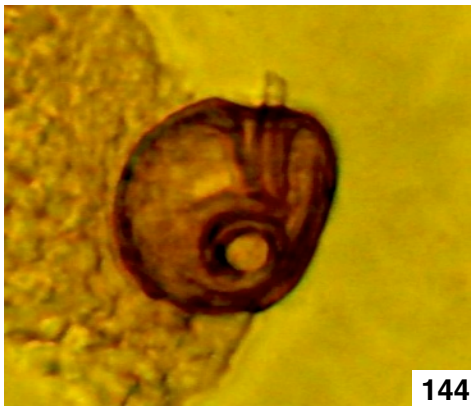

Fig. **142**-**144**. *Bacanius wenzeli* Degallier, Kovarik, Tishechkin & Vomero **nov**. **sp**.

142. Patte intermédiaire de la femelle, vue dorsale. **143**. Genitalia femelle, coxites et styles. **144**. Genitalia femelle, spermathèque.

Field Station, along Chicle Trail, 17°50’34"N, 89°02’53"W, lot #114 Berlese extr., 17.V.1997, C. Carlton & M. McMichael [4: CHPK ; 3: CHND] ;
- **9** ex.: Belize: Orange Walk Dist., Rio Bravo Conservation Area, La Milpa Field Station, along Chicle Trail, 17°50’N, 89°02’W, lot #118 Berlese extr., 18.V.1997, C. Carlton & M. McMichael [5: CHPK ; 4: CHND] ;
- **2** ex.: **Belize**: Cayo District, Chiquibul N.F., Las Cuevas Res. Sta., 16°43’59”N ; 88°59’11”W, FITs, 18-19.IX.2002, P. W. Kovarik [CHND] ;
- **6** ex.: **Belize**: Toledo District, Columbia Forest Reserve, Edwards Central, 16°20’24.7”N ; 89°09’09.7”W, FITs, 9-17.VIII.2006, P. W. Kovarik [3: CHPK ; 1: FSCA, 1: BMNH ; 1: MNHN] ;
- **1** ex.: **Belize**: Orange Walk Dist., Rio Bravo Cons. Area, La Milpa Field Sta., Rd. to ruins, 17°50’49”N ; 89°01’28”W, FITs, 18-25.IV.1996, C. Carlton & V. L. Mosely [CHPK] ;
- **2** ex.: **Belize**: Orange Walk Dist., Rio Bravo Conservation Area, La Milpa Field Station env., Beyond well towards Bajo Trail, 17°50’34"N, 89°02’53"W, FIT #123-124, 19.V.1997, C. Carlton & M. McMichael [CHPK] ;
- **1** ex.: **Mexico**: Chiapas, Palenque [17°29'02" N, 92°02'46" W], 7.VII.1968 [CSCA] ;
- **3** ex. : **Nicaragua**: Atlantico Sur, ~1.5 km NNE El Recreo at 12.1934°N 84.3382°W, 130 m, forest litter sifting, 18.IV.2011, M.G. Branstetter [CSCA] ;
- **1** ex. : **Costa Rica**: Heredia, La Selva Biological Station, 10.4305°N 84.0064°W, 70 m, FIT, daytime, 15.VI.2012, OTS Beetle Course [CSCA] ;
- **8** ex. dont 1 femelle (coxites et spermathèque extraits) et 1 mâle (édéage extrait), respectivement H82 et H 85 : **Panama**, Canal Zone, Barro Colorado Is. [9°09'N, 79°51'W], 6 Feb 1976 A Newton, litter under rotting logs ; [CHVV] ;
- **3** ex. : **Panama**, Canal Zone, Barro Colorado Is., 27 Feb 1976 A Newton, litter under rotting logs [CHVV] ;
- **4** ex. dont 1 femelle entiérement disséquée, les coxites et la spermathèque extraits, lame H84 : **Panama**, Canal Zone, Barro Colorado Is., 13 Feb 1976 A Newton, litter under rotting logs [CHVV] ;
- **1** femelle, coxites et spermathèque extraits, lame H83 : **Panama**, Canal Zone, Barro Colorado Is., Feb 1976 A Newton, litter under rotting logs [CHVV] ;
- **1** ex. : **Panama**, Canal Zone, Barro Colorado Is., II/19 - 3/9 1975 Lawrence leg, S Levings coll. Berlese leaf litter [CHVV] ;
- **1** ex. : **Panama**, Canal Zone, Barro Colorado Is., II/19 - 3/9 1975 Lawrence, Erwin leg, Berlese leaf litter [CHVV] ;
- **6** ex. : **Panama**, Cerro Campana 3200' Feb 1976 A. Newton, Berlese cloud forest leaf litter [CHVV] ;
- **2** ex. : **Mexico** Veracruz 4.4 mi N Huatusco, 4200 ft [19°11.05' N, 96°57.62' W ; 1280 m], cloud forest, VII-29 VIII-3 1973 A. Newton, leaf litter forest floor [CHVV].

Habitus. – L = 0,65 (0,79) 0,99 mm ; l = 0,55 (0,66) 0,75 mm ; e = 0,4 (0,46) 0,55 mm ; L/l = 1,13 (1,17) 1,23 ; L/e = 1,56 (1,7) 1,89 (N = 36). Dessus du corps ponctué au moins sur le pronotum. Ponctuation non sétigère, multiple, composée de points disposés en pentagone ou en hexagone.

Tête. – Yeux bien développés. Front alutacé entre les points. Ponctuation du clypeus au plus aussi grosse que celle du front.

Pronotum. – Ponctuation non réunie par des sillons, uniforme, d'environ 0,01 mm de diamètre, aux rebords bien marqués, distante de 0,5 à 1 diamètre sur le disque. Angles antérieurs avec un pore distinct. Marge antérieure derrière la tête droite ou peu convexe, non bisinuée. Ligne de points distincts à la base absente. Strie marginale rapprochée du bord en avant de moins de 0,018 mm, crénelée ou ponctuée.

Elytres. – Élytres ponctués, sans pore prébasal visible. Ponctuation non reliée par des sillons, plus grosse que celle du pronotum, uniforme. Disque sans strie transverse. Moitié externe des élytres avec deux stries (dorsale et subhumérale ou marginale) parallèles ou s'éloignant à la base de moins de deux fois de leur distance apicale. Strie dorsale non recourbée le long de la base où elle est raccourcie, n'atteignant pas l'apex en arrière. Strie subhumérale (marginale) complète, non réunie à la strie dorsale en arrière. Élytres sans stries basales supplémentaires. Strie suturale absente. Ponctuation de l'apex des élytres non striolée. Strie épipleurale présente, entière. Épipleure imponctué, sans pore distinct.

Pygidia. – Pygidium ponctué moins fortement que les élytres, avec les points arrondis.

Sterna. – Lobe prosternal avec une strie marginale antérieure, faiblement émarginé au milieu en avant, avec une striation longitudinale irrégulière. Stries prosternales parallèles en avant, divergentes en arrière. Carène prosternale ponctuée, plus large que longue. Mésoventrite sans strie ou rangée de sulci, sans ligne de points plus gros en avant, avec la strie marginale marquant un angle net avec la strie métaventrale latérale, en continuité avec la strie mésopostcoxale. Strie méso-métaventrale absente. Suture méso-métaventrale visible ou sa trace plus foncée droite. Disque méso-métaventral ponctué comme le dessus du corps, le diamètre des points supérieur à 0,01 mm, sans zone médiane plus finement et densément ponctuée, sans rangée longitudinale de points distincte, sans fine carène médiane apicale ou tubercule allongé. Métaventrite latéral ponctué avec seulement une strie de chaque côté, sans strie méso-postcoxale. Aire méso-postcoxale ponctuée. Mésépimère ponctué sur son quart externe, sans strie coudée interne (ventrale), avec une strie externe (dorsale) droite ou faiblement recourbée. Premier ventrite abdominal à ponctuation au moins aussi grosse que celle du métaventrite latéral, ronde, sans rangée de points distincts de la ponctuation longeant la marge antérieure, avec une strie latérale régulièrement arrondie vers l'extérieur. Strie post-métacoxale absente.

Pattes. – Métatibias 0,31 fois aussi longs que le corps.

Genitalia mâles. – Paramères de l'édéage incurvés ventralement à l'apex en crochet à angle droit, environ 1,02 fois aussi longs que la pièce basale, avec des soies ventrales préapicales et des soies ventrales apicales.

Genitalia femelles. – Coxites (valvifers) environ 2,6 fois aussi longs que larges.

Distribution. – Région zoogéographique néotropicale : Belize, Panama, Mexique (Fig. 145).

Bioécologie. – Berlese de débris subcorticaux et litières de feuilles, litière sous troncs abattus.

Derivatio nominis. – Espèce dédiée à la mémoire de Rupert L. Wenzel qui n'a jamais ménagé sa sollicitude amicale aux histéridologues et à beaucoup d'autres entomologistes.

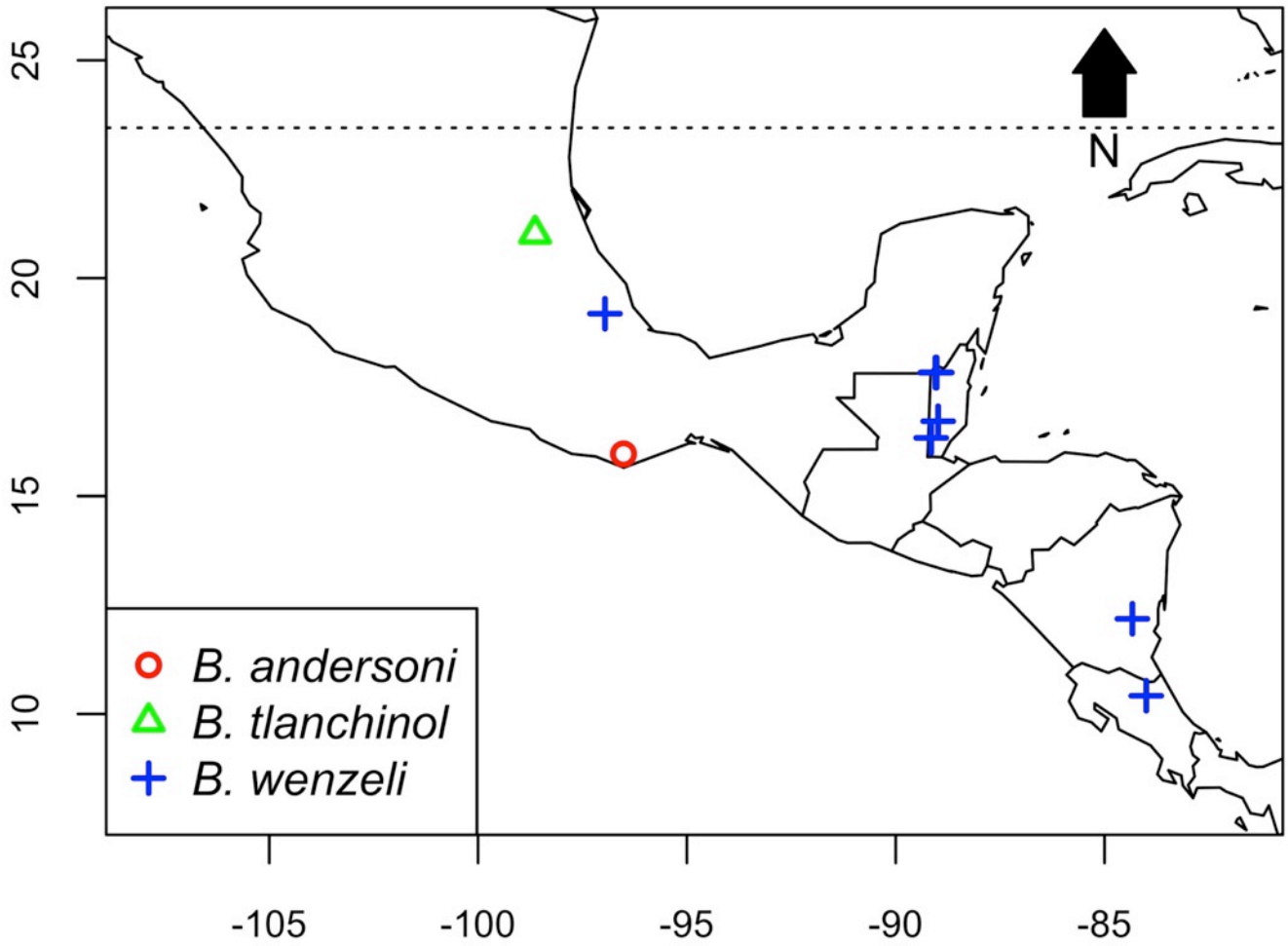

Fig. **145**. Distribution géographique de *B. andersoni* **nov**. **sp**., *B. tlanchinol* **nov**. **sp**. et *B. wenzeli* **nov**. **sp**.

Remarques. – La nature et la disposition groupée en hexagone des points qui ornent quasiment la totalité de ses surfaces dorsale et ventrale n'a à ce jour été observée chez aucun autre *Bacaniini* du Nouveau Monde. Cependant, une ponctuation multiple et composée de 3 à 4 points alignés a été décrite chez les espèces de *Xestipyge* Marseul, 1862 (Warner, 2021) et les deux espèces de *Carcinops* Marseul, 1855 du sous-genre *Carcinopsida* Casey, 1916 (Reese & Swanson, 2017). Cette espèce se distingue aussi par les caractères suivants : rapport de la longueur sur la largeur compris entre 1,13 et 1,23, disque élytral sans strie transverse, strie élytrale dorsale n'atteignant pas l'apex.

Geocolus caecus Wenzel, 1944

Geocolus caecus Wenzel, 1944 : 94.
Geocolus caecus Wenzel : Mazur, 2011 : 138 ; Caterino & Harden, 2022, Fig. 1-3, 6-9, 21.

Matériel-type. – voir Wenzel (1944).

Habitus. – L = 1,26 (1,29) 1,31 mm ; l = 0,82 (0,84) 0,85 mm ; e = 0,62 (0,63) 0,64 mm ; L/l = 1,53 (1,54) 1,54 ; L/e = 2,04 (2,05) 2,06 (N = 2). Dessus du corps ponctué au moins sur le pronotum, tégument très finement ridé. Ponctuation non sétigère, simple.

Tête. – Yeux absents ou réduits à quelques ommatidies. Front alutacé entre les points. Ponctuation du clypeus au plus aussi grosse que celle du front. Apex des mandibules non bifide. Marge antérieure derrière la tête droite ou peu convexe, non bisinuée.

Pronotum. – Ponctuation non réunie par des sillons, uniforme, d'environ 0,005 mm de diamètre, aux rebords mal délimités, distante de 3 à 5 diamètres sur le disque. Angles antérieurs avec un pore distinct et allongé. Ligne de points distincts à la base absente. Strie marginale rapprochée du bord en avant de moins de 0,018 mm, non crénelée.

Elytres. – Élytres pointillés, sans pore prébasal visible. Ponctuation non reliée par des sillons, moins grosse que celle du pronotum, uniforme. Disque sans strie transverse. Moitié externe des élytres avec une seule strie (dorsale, subhumérale ou marginale). Strie dorsale absente. Strie subhumérale (marginale) complète et sinuée. Élytres sans stries basales supplémentaires. Strie suturale absente. Ponctuation de l'apex des élytres non striolée. Strie épipleurale absente. Épipleure imponctué, avec un pore situé au niveau du quart basal et ventralement à la strie subhumérale.

Pygidia. – Pygidium pointillé comme les élytres, avec les points arrondis, distants de deux à trois diamètres.

Sterna. – Lobe prosternal avec une strie marginale antérieure, non émarginé en avant, ponctué ou pointillé, sans striation longitudinale irrégulière. Stries prosternales parallèles en avant et en arrière. Carène prosternale ponctuée, environ deux fois aussi longue que large. Mésoventrite sans strie ou rangée de sulci, sans ligne de points plus gros en avant, avec la strie marginale arrondie latéralement à sa jonction avec la strie métaventrale latérale, en continuité avec la strie mésopostcoxale et complète en avant. Strie méso-métaventrale absente. Suture méso-métaventrale visible ou sa trace plus foncée convexe vers l'arrière. Disque méso-métaventral lisse ou pointillé, le diamètre des points inférieur ou égal à 0,009 mm, sans zone médiane plus finement et densément ponctuée, sans rangée longitudinale de points distincte, sans fine carène médiane apicale ou tubercule allongé. Métaventrite latéral très finement ponctué avec seulement une strie de chaque côté et une strie méso-postcoxale très courte. Aire méso-postcoxale imponctuée mais très finement striolée. Mésépimère ponctué avec une strie coudée ou arrondie interne (ventrale), avec une strie externe (dorsale) droite ou faiblement recourbée. Métépimère imponctué. Premier ventrite abdominal imponctué ou pointillé, sans rangée de points distincts de la ponctuation longeant la marge antérieure, avec une strie latérale régulièrement arrondie vers l'extérieur. Strie post-métacoxale présente, très courte.

Pattes. – Protibias à la marge apicale droite, ponctués sur leur face ventrale avec trois denticules le long du bord externe. Protarses sans soies modifiées en massue ou allongées en plus des soies simples. Profémurs sans aire imponctuée microstriée ventralement. Métatibias 0,28 fois aussi longs que le corps.

Genitalia mâles. – Paramères de l'édéage non recourbés ventralement à l'apex, 5,5 fois aussi longs que large ensemble, en vue dorsale sans élargissement préapical, séparés apicalement sur 0,29 fois leur longueur, sans soies ventrales préapicales et sans soies apicales.

Genitalia femelles. – Coxites (valvifers) environ 2,3 fois aussi longs que larges, avec une dent apicale.

Distribution. – Région zoogéographique néarctique. **USA**, **Alabama**: Blount Co., 0.5 mi. S. Highland Lake, 7.IV.2013, King & Brattain deep soil berlese, dét. R.M. Brattain, 2 [CHND].

Bioécologie. – Espèce aptère endogée rencontrée jusqu'à un mètre de profondeur (Caterino & Harden, 2022).

Remarques. – Ce genre monospécifique se reconnait grâce aux caractères énumérés dans le tableau 1. Caterino & Harden (2022) ont précisé la distribution de l'espèce, décrit sa larve et discuté la classification du genre au sein des Dendrophilinae et des *Bacaniini*.

Mullerister rombophorus (Aubé, 1843)

(Fig. 146-148)

Abraeus rombophorus[12] Aubé, 1843 : 75.
Bacanius rhombophorus (*sic*.!) Aubé : Marseul, 1856 : 571 ; Jacquelin du Val, 1858 : 109, Fig. 157 ; Casey, 1893 : 533 ; Portevin, 1929 : 604.
Bacanius (Neobacanius) rhombophorus (*sic*.!) Aubé : Müller, 1925 : 20 ; Reichardt, 1941 : 121, Fig. 53B et 55B [classé dans les Abraeinae].
Bacanius (Mullerister) rhombophorus (Aubé) : Cooman, 1936 : 138 ; Gomy, 1983 : 324 et Fig. 20a.
Bacanius (Mullerister) rombophorus (Aubé) : Mazur, 1984 : 119.
Bacanius (Muellerister) rombophorus (Aubé) : Kryzhanovskij & Reichardt, 1976 : 270, Fig. 532-533.
Mullerister rhombophorus (*sic*.!) (Aubé) : Casey, 1893 : 533 ; Gomy, 1980 : 193 ; 1989 : 606 ; 2009 : 256 ; Yélamos, 1991 : Fig. 1, 3 ; 2010 : 255 ; [élévation du sous-genre au niveau du genre : Gomy, 2010 : 255].
Mullerister rombophorus (Aubé) : Mazur, 2011 : 140 [espèce-type du genre : Newton, 2015 : 3].

Matériel-type. – Holotype par indication qui devrait se trouver dans la collection Aubé, déposée au MNHN (Cambefort, 2006 : 108) mais non retrouvé.

Habitus. – L = 1,07–1,25 mm ; l = 0,75–0,79 mm ; e = 0,58 mm ; L/l = 1,36 ; L/e = 1,84–2 (N = 2). Dessus du corps ponctué au moins sur le pronotum. Ponctuation non sétigère, simple.

Tête. – Yeux bien développés. Front lisse entre les points. Ponctuation du clypeus au plus aussi grosse que celle du front.

Pronotum. – Ponctuation non réunie par des sillons, uniforme, d'environ 0,01 mm de diamètre, aux rebords mal délimités, distante de 3 à 4 diamètres sur le disque. Angles antérieurs sans pore distinct. Marge antérieure derrière la tête droite ou peu convexe, non bisinuée. Ligne de points distincts à la base présente. Espace entre la ligne antéscutellaire de points et la base lisse. Strie marginale rapprochée du bord en avant de moins de 0,018 mm, non crénelée.

Elytres. – Élytres ponctués, sans pore prébasal visible. Ponctuation non reliée par des sillons, plus grosse que celle du pronotum, uniforme. Disque sans strie transverse. Moitié externe des élytres avec deux stries (dorsale et subhumérale ou marginale) parallèles ou s'éloignant à la base de moins de deux fois de leur distance apicale. Strie dorsale non recourbée le long de la base où elle est entière ou à peine raccourcie, atteignant l'apex et l'angle sutural en arrière. Strie subhumérale (marginale) complète, non réunie à la strie dorsale en arrière. Élytres sans stries basales supplémentaires. Strie suturale absente. Ponctuation de l'apex des élytres non striolée. Strie épipleurale présente, raccourcie de ses deux tiers antérieurs. Épipleure ponctué avec un pore situé au niveau du quart basal et ventralement à la strie subhumérale.

Sterna. – Lobe prosternal avec une strie marginale antérieure, non émarginé en avant. Mésoventrite sans strie ou rangée de sulci. Strie méso-métaventrale modifiée en deux arcs latéraux caractéristiques du genre (Gomy, 1983 : Fig. 20a). Suture méso-métaventrale visible. Disque méso-métaventral lisse ou pointillé, le diamètre des points inférieur ou égal à 0,009 mm, sans zone médiane plus finement et densément ponctuée, sans rangée longitudinale de points distincte, sans fine carène médiane apicale ou tubercule allongé. Métaventrite latéral avec une strie méso-postcoxale. Mésépimère très finement ponctué, sans strie coudée interne (ventrale), avec une strie externe (dorsale) angulée ou fortement recourbée.

Pattes. – Métatibias 0,3 fois aussi longs que le corps.

Fig. **146-148**. *Mullerister rombophorus* (Aubé).

146. Habitus en vue dorsale. **147**. Habitus en vue ventrale, la flèche montre la strie mésoventrale caractéristique du genre *Mullerister*. **148**. Vue latérale.

[12] Aubé a sans doute formé le nom de cette espèce d'après le dessin de la strie antéscutellaire et la base du pronotum, dessin évoquant un losange anciennement dénommé rombe, nom commun donné au début du XIXe siècle au rhombe, mot dérivé du latin *rhombus*.

Distribution. – Régions zoogéographiques : orientale, afrotropicale, paléarctique et néotropicale (Hawaï : Yélamos, 1991). **Belgique**, Liège (Candèze), Coll. Rolle, Coll. Desbordes 1933, 1 [MNHN] ; "Abraeus 19. rhombophorus Aubé P ....." (étiquette de la main de Marseul) / "MUSEUM PARIS COLL. DE MARSEUL 2842-90", 1 [MNHN] ; *idem*, "2 Bacanius rhombophorus A ....", 1 [MNHN] ; *idem*, "2 Bacanius rhombophorus P A ....", 2 [MNHN] ; "Bacan. patr?" / "rhombophorus coll. Bickhardt", 1 [MNHN]. **Israel**, Galilée, en dessous de Safad [Safed], alt. 500 m, 14.VI.1973, Löbl leg., det. S. Mazur, 2 [CHVV] ; Sans provenance, "rhomboph. Typ." (man.), 1 [ZSM].

Bioécologie. – Gomy (1983 : 324 et 2016 : 146) fournit des données précises sur quelques habitats naturels de cette espèce qui se récolte également au piège lumineux : terreaux d'arbres morts, sous écorces déhiscentes, bergerie et poulaillers.

Remarque. – *M. rombophorus* est la seule espèce du genre qui pourrait se rencontrer à l'avenir dans la région qui nous intéresse. Elle est aisément reconnaissable grâce aux caractères énumérés ci-dessus et dans le tableau 1.

Troglobacanius bolivari Vomero, 1974

(Fig. 149-153)

Troglobacanius bolivari Vomero, 1974 : 341.
Troglobacanius bolivari Vomero : Mazur, 2001 : 30 [classé dans les Abraeinae] ; Vomero, 1998 : 1136 ; Mazur, 2011 : 144.

Matériel-type. – 2 paratypes [MZSUR].

Habitus. – L = 1,4 mm ; l = 1 mm ; e = 0,71 mm ; L/l = 1,4 ; L/e = 1,97 (N = 1). Dessus du corps ponctué au moins sur le pronotum. Ponctuation non sétigère, simple.

Tête. – Yeux absents ou réduits à quelques ommatidies. Front lisse entre les points. Ponctuation du clypeus au plus aussi grosse que celle du front. Apex des mandibules bifide au moins chez la femelle. Marge antérieure derrière la tête fortement bisinuée vers l'avant.

Pronotum. – Ponctuation non réunie par des sillons, moins grosse sur le disque que sur les bords, aux rebords bien marqués, les points distants de 3 à 4 diamètres sur le disque. Angles antérieurs avec un pore distinct, situé ventralement par rapport au rebord. Ligne de points distincts à la base présente. Espace entre la ligne antéscutellaire de points et la base très étroit ou nul et lisse. Strie marginale nettement éloignée du bord en avant, d'au moins 0,018 mm, crénelée ou ponctuée.

Elytres. – Élytres ponctués. Ponctuation non reliée par des sillons, plus grosse que celle du pronotum. Disque sans strie transverse. Moitié externe des élytres avec une seule strie (dorsale, subhumérale ou marginale). Strie dorsale non recourbée le long de la base où elle est entière ou à peine raccourcie, atteignant l'apex et l'angle sutural en arrière. Strie subhumérale (marginale) absente. Élytres sans stries basales supplémentaires. Strie suturale absente. Ponctuation de l'apex des élytres non striolée. Strie épipleurale présente, entière et un peu sinuée. Épipleure imponctué.

Pygidia. – Pygidium ponctué plus fortement que les élytres.

Sterna. – Lobe prosternal non émarginé en avant, avec une striation longitudinale irrégulière. Stries prosternales parallèles en avant et en arrière. Mésoventrite sans strie ou rangée de sulci. Strie méso-métaventrale absente. Suture méso-métaventrale visible. Disque métaventral sans rangée longitudinale de points distincte, sans fine carène médiane apicale ou tubercule allongé. Métaventrite latéral avec seulement une strie de chaque côté et une strie méso-postcoxale. Mésépimère ponctué. Métépimère imponctué. Premier ventrite abdominal imponctué ou pointillé, sans rangée de points distincts de la ponctuation longeant la marge antérieure, avec deux stries latérales.

149

150

152

151

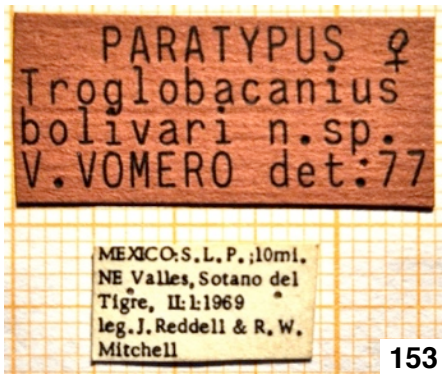

153

Fig. 149-153. *Troglobacanius bolivari* Vomero.

149. Paratype femelle, habitus en vue dorsale. **150**. Habitus en vue ventrale. **151**. Vue latérale (photos : F. Sacco et V. Vomero). **152**. Avant-corps. **153**. Etiquettes du paratype.

Pattes. – Protibias avec un denticule le long du bord externe. Protarses avec des soies au moins aussi longues que la moitié du dernier article. Métatibias 0,38 fois aussi longs que le corps. Griffes aplaties et lancéolées sur tout les tarses.

Genitalia mâles. – Paramères de l'édéage incurvés ventralement à l'apex en courbe régulière, 3,04 fois aussi longs que large ensemble, environ 1,46 fois aussi longs que la pièce basale, en vue dorsale élargis avant l'apex, séparés apicalement sur 0,67 fois leur longueur, avec des soies ventrales préapicales et des soies ventrales apicales.

Distribution. – Région zoogéographique néotropicale (Mexique). L'espèce ne semble pas avoir été reprise depuis sa description.

Bioécologie. – Cavernicole. Le milieu habité par cet espèce et les trois suivantes a été décrit par Sbordoni *et al*. (1973 ; 1977).

Troglobacanius maya Vomero, 1974

(Fig. 154-157)

Troglobacanius maya Vomero, 1974 : 331.
Troglobacanius maya Vomero : Mazur, 2001 : 30 [classé dans les Abraeinae] ; Vomero, 1998 : 1134 ; Mazur, 2011 : 144.

Matériel-type. – Holotype mâle [MZSUR].

Habitus. – L = 1,43 mm ; l = 1,09 mm ; e = 0,81 mm ; L/l = 1,31 ; L/e = 1,76 (N = 1). Dessus du corps ponctué, au moins sur le pronotum. Ponctuation brièvement sétigère, simple.

Tête. – Yeux absents ou réduits à quelques ommatidies. Front lisse entre les points. Ponctuation du clypeus plus grosse que celle du front.

Pronotum. – Marge antérieure derrière la tête droite ou peu convexe, non bisinuée. Ponctuation non réunie par des sillons, moins grosse sur le disque que sur les bords, aux rebords mal délimités, distante de 4 diamètres sur le disque. Strie marginale rapprochée du bord en avant de moins de 0,018 mm, crénelée ou ponctuée.

Elytres. – Ponctués. Ponctuation non reliée par des sillons, plus grosse que celle du pronotum. Disque sans strie transverse. Moitié externe des élytres avec une seule strie (dorsale, subhumérale ou marginale). Strie dorsale absente. Strie subhumérale (marginale) un peu raccourcie en avant. Élytres sans stries basales supplémentaires. Strie suturale présente, n'atteignant pas le milieu de l'élytre, constituée de petits tubercules alignés comme chez les *Degallierister*.

154

155

157

156

Fig. **154**-**157**. *Troglobacanius maya* Vomero, Holotype.
154. Habitus en vue dorsale. **155**. Habitus en vue ventrale. **156**. Vue latérale. **157**. Etiquettes.

Ponctuation de l'apex des élytres non striolée. Strie épipleurale présente, interrompue et sinuée. Épipleure ponctué, avec un pore situé au niveau du quart basal et ventralement à la strie subhumérale.

Pygidia. – Pygidium ponctué plus fortement que les élytres, avec les points arrondis distants de 2 diamètres.

Sterna. – Lobe prosternal avec une strie marginale antérieure, non émarginé en avant, ponctué ou pointillé, sans striation longitudinale irrégulière. Stries prosternales parallèles en avant et en arrière. Carène prosternale ponctuée, plus large que longue. Mésoventrite sans strie ou rangée de sulci, sans ligne de points plus gros en avant, avec la strie marginale arrondie latéralement à sa jonction avec la strie métaventrale latérale, en continuité avec la strie mésopostcoxale. Strie méso-métaventrale absente. Suture méso-métaventrale visible ou sa trace plus foncée convexe vers l'arrière. Disque métaventral ponctué entièrement, sans zone médiane plus finement et densément ponctuée, sans rangée longitudinale de points distincte, sans fine carène médiane apicale ou tubercule allongé. Disque métaventral chez le mâle sans concavité. Métaventrite latéral ponctué avec seulement une strie de chaque côté et une strie méso-postcoxale. Aire méso-postcoxale ponctuée. Mésépimère ponctué, sans strie coudée interne (ventrale) ni strie externe (dorsale). Métépimère imponctué. Premier ventrite abdominal à ponctuation plus fine que celle du métaventrite latéral, ronde, sans rangée de points distincts de la ponctuation longeant la marge antérieure, avec une strie latérale régulièrement arrondie vers l'extérieur. Strie post-métacoxale présente, courte.

Pattes. – Protibias avec un denticule le long du bord externe. Protarses avec des soies au moins aussi longues que la moitié du dernier article. Protarses chez le mâle non modifiés ventralement. Métatibias 0,35 fois aussi longs que le corps.

Genitalia mâles. – Paramères de l'édéage incurvés ventralement à l'apex, en courbe régulière, 2,38 fois aussi longs que large ensemble, environ 1,32 fois aussi longs que la pièce basale, en vue dorsale sans élargissement préapical, séparés apicalement sur 0,29 fois leur longueur, avec des soies ventrales préapicales au nombre de deux sur chaque paramère, sans soies ventrales apicales.

Distribution. – Région zoogéographique néotropicale (Mexique). L'espèce ne semble pas avoir été reprise depuis sa description.

Bioécologie. – Cavernicole.

Troglobacanius reddelli Vomero, 1974

(Fig. 158-162)

Troglobacanius reddelli Vomero, 1974 : 336.
Troglobacanius reddelli Vomero : Mazur, 2001 : 30 [classé dans les Abraeinae] ; Vomero, 1998 : 1136 ; Mazur, 2011 : 144.

Matériel-type. – 2 paratypes [MZSUR].

Habitus. – L = 1,36 mm ; l = 0,98 mm ; e = 0,7 mm ; L/l = 1,38 ; L/e = 1,92 (N = 1). Dessus du corps ponctué au moins sur le pronotum. Ponctuation non sétigère, simple.

Tête. – Yeux absents ou réduits à quelques ommatidies. Front lisse entre les points. Ponctuation du clypeus plus grosse que celle du front. Apex des mandibules bifide au moins chez le mâle.

Pronotum. – Marge antérieure derrière la tête droite ou peu convexe, non bisinuée. Ponctuation non réunie par des sillons, uniforme, d'environ 0,01 mm de diamètre, aux rebords bien marqués, distante de 2 à 4 diamètres sur le disque. Angles antérieurs avec un pore distinct. Ligne de points distincts à la base présente. Espace entre la ligne antéscutellaire de points et la base très étroit et lisse ou nul. Strie marginale rapprochée du bord en avant de moins de 0,018 mm, crénelée ou ponctuée.

Elytres. – élytres ponctués, sans pore prébasal visible. Ponctuation plus grosse que celle du pronotum, uniforme. Disque sans strie transverse. Moitié externe des élytres avec deux stries (dorsale et subhumérale ou marginale). Strie dorsale non recourbée le long de la base où elle est entière ou à peine raccourcie, atteignant l'apex et l'angle sutural en arrière. Strie subhumérale (marginale) raccourcie de ses 3/4 apicaux, non réunie à la strie dorsale en arrière. Élytres sans stries basales supplémentaires. Strie suturale présente, atteignant le milieu de l'élytre, constituée d'une vingtaine de petits tubercules aligné, comme chez les *Degallierister*. Ponctuation de l'apex des élytres striolée. Strie épipleurale présente, entière et fortement sinuée. Épipleure ponctué seulement dans sa moitié dorsale, sans pore distinct.

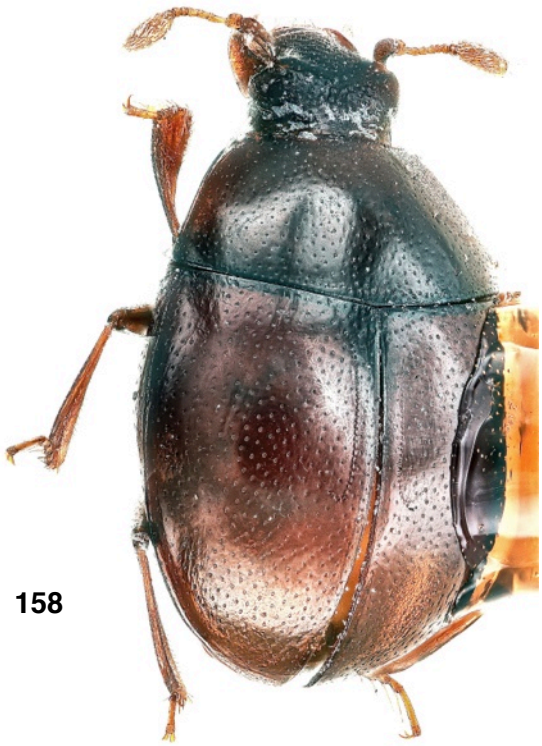

158

159

160

Fig. 158-162. *Troglobacanius reddelli* Vomero. Paratype femelle.

158. Habitus en vue dorsale. **159**. Détail de la strie élytrale suturale. **160**. Habitus en vue ventrale. **161**. Vue latérale. **162**. Etiquettes du paratype.

Pygidia. – Pygidium ponctué moins fortement que les élytres, avec les points arrondis et distants de 1 à 1,5 diamètres.

Sterna. – Lobe prosternal avec une strie marginale antérieure, faiblement émarginé au milieu en avant, avec une striation longitudinale irrégulière. Stries prosternales parallèles en avant et en arrière. Carène prosternale ponctuée. Mésoventrite sans strie ou rangée de sulci, sans ligne de points plus gros en avant, avec la strie marginale arrondie latéralement à sa jonction avec la strie métaventrale latérale. Strie méso-métaventrale absente. Suture méso-métaventrale visible ou sa trace plus foncée convexe vers l'arrière. Disque méso-métaventral ponctué, le diamètre des points supérieur à 0,01 mm, sans zone médiane plus finement et densément ponctuée, sans rangée longitudinale de points distincte, sans fine carène médiane apicale ou tubercule allongé. Métaventrite latéral ponctué avec seulement une strie de chaque côté, sans strie méso-postcoxale. Aire méso-postcoxale ponctuée. Mésépimère ponctué, sans strie coudée interne (ventrale) ni strie externe (dorsale). Métépimère imponctué. Premier ventrite abdominal à ponctuation au moins aussi grosse que celle du métaventrite latéral, faiblement étirée transversalement, sans rangée de points distincts de la ponctuation longeant la marge antérieure, avec deux stries latérales régulièrement arrondie vers l'extérieur. Strie post-métacoxale présente.

Pattes. – Protibias à la marge apicale concave, ponctués sur leur face ventrale avec un denticule le long du bord externe. Protarses avec des soies au moins aussi longues que la moitié du dernier article. Profémurs sans aire imponctuée microstriée ventralement. Métatibias 0,42 fois aussi longs que le corps.

Genitalia mâles. – Paramères de l'édéage incurvés ventralement en courbe régulière à l'apex, 3,12 fois aussi longs que large ensemble, environ 1,47 fois aussi longs que la pièce basale, en vue dorsale sans élargissement préapical, séparés apicalement sur 0,31 fois leur longueur, avec des soies ventrales préapicales au nombre de 2 sur chaque paramère, avec une soie ventrale apicale sur chaque paramère.

Distribution. – Région zoogéographique néotropicale (Mexique). L'espèce ne semble pas avoir été reprise depuis sa description.

Bioécologie. – Cavernicole.

Remarques. – La présence chez *T. maya* et *T. reddelli* d'un élément de strie hamiforme (Fig. 154 et 159) et de genitalia mâles semblables à ceux de certaines espèces de *Degallierister* suggèrent une origine à partir d'une ou plusieures espèces épigées de ce dernier genre (Degallier *et al*., 2015 : 356). Par ailleurs et si cette hypothèse était rendue plausible par l'examen de plus nombreux caractères, certaines espèces de *Degallierister* dont *D. bihamatus* Degallier, 2015, devraient être transférées dans le genre *Troglobacanius*.

Troglobacanius sbordonii Vomero, 1974

(Fig. 163-166)

Troglobacanius sbordonii Vomero, 1974 : 345.
Troglobacanius sbordonii Vomero : Mazur, 2001 : 30 [classé dans les Abraeinae] ; Vomero, 1998 : 1136 ; Mazur, 2011 : 144.

Matériel-type. – 1 paratype [MZSUR].

Habitus. – L = 1,9 mm ; l = 1,32 mm ; e = 0,97 mm ; L/l = 1,43 ; L/e = 1,95 (N = 1). Dessus du corps ponctué au moins sur le pronotum.

Tête. – Yeux absents ou réduits à quelques ommatidies. Front lisse entre les points. Ponctuation du clypeus plus grosse que celle du front.

Pronotum. – Ponctuation non réunie par des sillons, uniforme, distante de 1,5 à 2 diamètres sur le disque. Marge antérieure derrière la tête droite ou peu convexe, non bisinuée.

Elytres. – Élytres ponctués. Ponctuation non reliée par des sillons, égale à celle du pronotum. Disque sans strie transverse. Moitié externe des élytres avec deux stries (dorsale et subhumérale ou marginale). Strie dorsale non recourbée le long de la base où elle est entière ou à peine raccourcie, atteignant l'apex. Strie subhumérale (marginale) raccourcie de ses deux tiers apicaux. Strie suturale absente. Strie épipleurale présente, entière et sinuée.

Sterna. – Lobe prosternal avec une striation longitudinale irrégulière. Stries prosternales parallèles en avant et en arrière. Carène prosternale ponctuée. Mésoventrite sans strie ou rangée de sulci, sans ligne de points plus gros en avant. Strie méso-métaventrale absente. Disque méso-métaventral ponctué, le diamètre des points supérieur à 0,01 mm. Disque métaventral ponctué, les points espacés de 2,5 à 3 fois leur diamètre, sans rangée longitudinale de points distincte, sans fine carène médiane apicale ou tubercule allongé. Métaventrite latéral avec seulement une strie de chaque côté.

Pattes. – Métatibias 0,39 fois aussi longs que le corps. Griffes aplaties et lancéolées sur tout les tarses.

Genitalia mâles. – Paramères de l'édéage incurvés ventralement à l'apex en crochet à angle droit, 3,37 fois aussi longs que large ensemble, environ 1,3 fois aussi longs que la pièce basale, en vue dorsale sans élargissement préapical, séparés apicalement sur 0,53 fois leur longueur, avec des soies ventrales préapicales nombreuses, sans soies ventrales apicales.

Distribution. – Région zoogéographique néotropicale (Mexique). L'espèce ne semble pas avoir été reprise depuis sa description.

Bioécologie. – Cavernicole.

Discussion et conclusions

La présente étude n'est qu'une modeste étape dans la compréhension des affinités entre les espèces de *Bacaniini* néotropicaux. Nous avons pu étudier des spécimens de la série typique ou des exemplaires comparés à des types pour vingt-quatre espèces sur les trente-quatre révisées. Depuis les travaux de Degallier *et al*. (2015 ; 2023), il nous est apparu que le genre *Degallierister* d'une part et le genre *Bacanius* d'autre part contenaient des espèces mal classées. Ainsi, nous avons transféré *D. lissosternum* et *D. parenthesis* dans le genre *Bacanius* (*s. str*.) et *D. pusillus* et *Mullerister striatinotum* ont été, au moins provisoirement, reclassés dans le genre *Bacanius* (*s. str*.). Le sous-genre *Gomyister* n'a été conservé que pour les espèces de l'Ancien Monde à strie élytrale dorsale entière mais sans préjuger de sa monophylie. La synonymie de *B. rugisternus* avec *B. humicola* Marseul, pressentie par R.L. Wenzel, a pu être proposée après comparaison des données morphologiques disponibles.
Comme l'avait déjà noté Vomero (1973), les *Bacanius (s. str.)* du Nouveau Monde représentent probablement un groupement

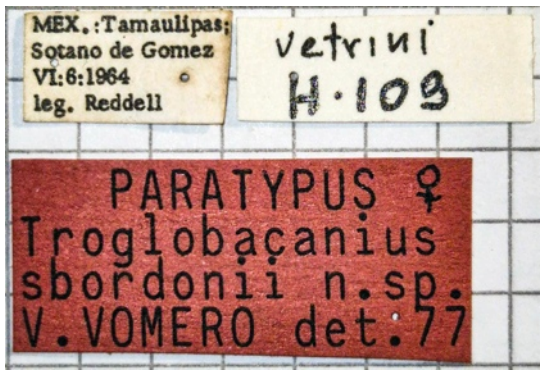

Fig. **163**-**166**. *Troglobacanius sbordonii* Vomero. Paratype femelle.

163. Habitus en vue dorsale. **164**. Habitus en vue ventrale. **165**. Vue latérale. **166**. Etiquettes de paratype.

hétérogène et artificiel que seule une analyse phylogénétique permettra de résoudre. Notre but ici était de fournir une base morphologique pour la reconnaissance des espèces, la description de nouveaux taxons et servir aux études écologiques et de biodiversité. La morphologie et la chaetotaxie des genitalia mâles et femelles ainsi que la distribution des pores excréteurs restent des aspects peu ou mal connus pour beaucoup d'espèces. Nous avons également mis en évidence des caractères externes utiles pour la reconnaissance des sexes chez certaines espèces. Il est aussi probable que la biologie moléculaire et la microscopie électronique à balayage (MEB) apporteront des éléments utiles à la construction d'une classification plus naturelle du groupe.

La majorité des espèces vivent sous les écorces déhiscentes d'arbres morts ou dans la litière forestière. Certaines espèces comme *B. crenulatus* ou *B. neoponerae* semblent s'être spécialisées dans des niches particulières par ailleurs peu explorées par les entomologistes, respectivement les nids d'oiseaux et les Broméliacées épiphytes habitées par des fourmis (Wenzel, 1944 ; Pérez-Lachaud *et al*., 2023). *B. rugisternus* a été récolté sur du guano dans des grottes mais ne présente pas les adaptations au mode de vie troglobie des *Troglobacanius*. Les *Bacaniini* dont on connaît le mode d'alimentation ingèrent principalement des spores fongiques comme cela est figuré pour *B. globulinus*, dans la litière du sol, le bois décomposé sous les écorces déhiscentes ou dans des cavités d'arbres. Quelques espèces sont aveugles et vivent dans les couches superficielles du sol, d'autres dans les grottes (Vomero, 1973, 1998 ; Kovarik & Caterino, 2016). En particulier, *B. acuminatus* est une espèce aveugle et aptère dont diverses populations éloignées pourraient appartenir à des taxons distincts.

Nous avons inclu à cette étude *A. atomarius* et *M. rombophorus*, deux espèces déjà répandues sur divers continents et présentes à Hawaï. Vu les communications fréquentes entre cet archipel, les Etats-Unis et le continent sud-américain, il est en effet possible qu'elles puissent se retrouver à l'avenir parmi la faune qui nous intéresse, comme c'est le cas pour *Acritus komai* Lewis, 1879, successivement redécrit d'Hawaï et d'Amérique du Nord par Sharp, Hatch puis Fall (Mazur, 2011 : 164).

Pour faciliter de futures recherches, nous avons fourni un état des lieux sur les espèces présentes dans diverses collections privées ou publiques.

Enfin, nous ne saurions trop insister sur le fait que ce travail n'est qu'une ébauche à la connaissance de la biodiversité de ce

groupe. Par exemple, le Mexique compte plus d'espèces décrites que tout le continent sud américain où seules cinq espèces décrites sont connues! Il s'en suit que l'usage de l'iconographie doit être fait avec celui de la clé et des redescriptions, principalement pour les faunes d'Amérique centrale et du Sud.

Remerciements

Nous remercions chaleureusement les collègues suivants pour la communication de matériel ou de données inédites : Nicole Berti, Azadeh Taghavian, Antoine Mantilleri et Julien Touroult (MNHN), György Makranczy (MHNH), Alfred Newton, Jessica K. Wadleigh et Rebekah Shuman Baquiran (FMNH), Ditta Balke, Michael Balke et Tomáš Lackner (ZSM), Matúš Šoltís (Ružomberok, Slovaquie), Jan Pražák (Prague, Rép. Tchèque) et Tomàs Yélamos (Barcelone, Espagne). Ce dernier nous a généreusement confié des observations non publiées et indispensables à l'étude de certaines espèces. Une partie du matériel étudié a été collectée par Eddy Poirier et Barthélémy Dessanges, sous l'égide du projet « La Planète revisitée – Îles de Guadeloupe 2024 », grâce à des financements consentis par l'Agence Régionale de la Biodiversité pour les îles de Guadeloupe (ARB-IG), le Muséum national d'Histoire naturelle (MNHN), l'Office français de la biodiversité (OFB), l'Université des Antilles françaises (UA), le FEDER, la Région Guadeloupe, l'Office national des forêts (ONF) et le Conservatoire du littoral (CdL).
Jeffrey Gruber nous a permis d'utiliser quelques-unes de ses superbes macrophotographies. Les photos des trois espèces nouvelles, réalisées au microscope électronique à balayage (MEB) ou par empilement d'images ("stacking"), sont l'oeuvre de Paul E. Skelley et son équipe du Florida Department of Agriculture and Consumer Services (Gainesville, FLA, USA). Francesco Sacco (Rome, Italie) a aussi réalisé plusieurs superbes photographies en compagnie de Vincenzo Vomero. Maximilien Lambert nous a fourni des traductions automatiques de plusieurs textes du français vers l'anglais (liste des caractères, clé d'identification). Comme lors de précédents travaux, Mike Dallwitz, concepteur du système DELTA, nous a aidé à résoudre des problèmes syntaxiques lors de l'emploi de l'éditeur de la base de données descriptives.
Lionel Delaunay a magnifiquement édité cet article en y ajoutant une touche esthétique indispensable.

Références

Anonyme, 2000. – Sante traps – Makers of Malaise traps and other arthropod collecting devices since 1984. *American Entomologist*, 46 (3) : 201-202. https://doi.org/10.1093/ae/46.3.201

Aubé C., 1843. – Description de deux Coléoptères nouveaux appartenant à la faune parisienne. *Annales de la Société entomologique de France*, 1 (2) : 73-76.

Bausmann G.A. & Whitaker Jr. J.O., 1987. – Studies of the Habitat and Food of Sympatric Populations of *Plethodon cinereus* (Green) and *Plethodon dorsalis* Cope in South Central Parke County, Indiana. *Proceedings of the Indiana Academy of Science*, 97: 513-523.

Bickhardt H., 1918. – Neue Histeriden aus dem Hungarishen National-Museum und Bemerkungen zu bekannten Arten. *Annales Musei Nationalis hungarici*, 16 : 283-297.

Blackwelder R. E. 1944. – *Checklist of the coleopterous insects of Mexico, Central America, the West Indies, and South America*. Part 1. Washington, U.S. Government printing office: xii + 188 p.

Blatchley W. S., 1910. – *An illustrated descriptive catalogue of the Coleoptera or beetles (exclusive of the Rhynchophora) known to occur in Indiana. With bibliography and descriptions of new species*. Indianapolis: The Nature Publishing Co., 1386 p [Histeridae : 598-628].

Cambefort Y., 2006. – *Des coléoptères, des collections & des hommes*. Publications scientifiques du Muséum national d'histoire naturelle, Paris, 375 p.

Casey T. L., 1893. – *Coleopterological Notices*, V. *Annals of the New York Academy of Sciences*, 7 : 281-606 [Histeridae : 533-578].

Caterino M.S. & Harden C.W., 2022. – Unseeing and unseen: on the distribution, morphology, and larva of one of North America's rarest histerid beetle, *Geocolus caecus* Wenzel (Coleoptera: Histeridae). *The Coleopterists Bulletin*, 76 (2): 191-205.

Coleman C.O., Lowry J.K. & Macfarlane T., 2010. – DELTA for Beginners: An introduction into the taxonomy software package DELTA. *ZooKeys*, 45 : 1-75.

Commission Internationale de Nomenclature Zoologique [CINZ], 1999. – *Code international de nomenclature zoologique*, quatrième édition : 127-306.

Cooman A. de, 1936. – Remarques sur le genre Bacanius (Col. Histeridae) avec description d'un s. g. nouveau Mullerister et d'une n. sp. tonkinensis. *Notes d'Entomologie Chinoise,* Musée Heude, Shangai, 3 (9) : 135-140.

Cooman A. de, 1940. – Remarques sur quelques histérides. *Revue française d'Entomologie*, 7: 30-32. https://www.biodiversitylibrary.org/item/107142#page/36/mode/1up

Dallwitz M.J., 1974. – A flexible computer program for generating identification keys. *Systematic Zoology*, 23 : 50-57.

Dallwitz M.J., 1980. – A general system for coding taxonomic descriptions. *Taxon*, 29 : 41-46.

Dallwitz M.J., Paine T.A. & Zurcher E.J., 2020. – User's guide to the DELTA System: a general system for processing taxonomic descriptions, 22 August 2020 [https://www.delta-intkey.com/www/uguide.pdf].

Degallier N. & Gomy Y., 2018. – Contribution à la connaissance des escarbots afro-tropicaux du genre *Chaetabraeus* Portevin, 1929 (Insecta, Coleoptera, Histeridae, Abraeinae). *Faunitaxys*, 6 (10) : 1-40.

Degallier N. & Gomy Y., 2024. – *Abraeus dufaui* Desbordes, 1914 (Coleoptera, Histeridae) est-il un *Acritus* J. L. Le Conte, un *Aeletes* Horn ou un *Bacanius* J. L. Le Conte? Résolution d'une énigme centenaire et mise à jour du catalogue des Histérides de Guadeloupe. *Bulletin de la Société entomologique de France*, 129 (1) : 51-65.

Degallier N. & Kanaar P., 2001. – Coleoptera Histeridae de Guyane française. III. Compléments au catalogue et notes systématiques. *Bulletin de la Société entomologique de France*, 106 (2) : 199-214.

Degallier N., Lemoine M. & Orousset J., 2015. – Révision du genre *Degallierister* Gomy, 2001 (Coleoptera, Histeridae, Dendrophilinae). *Bulletin de la Société entomologique de France*, 120 (3) : 341-372.

Degallier N., Tishechkin A.K. & Kovarik P.W., 2023. – Données faunistiques nouvelles sur les espèces du genre *Degallierister* Gomy, 2001 (Coleoptera, Histeridae, Dendrophilinae). *Faunitaxys*, 11 (16) : 1-11.

Desbordes H., 1914. – Description de trois espèces nouvelles d'*Histeridae* [Col.]. *Bulletin de la Société entomologique de France*, 8 (4) : 232-235.

Desbordes H. & Lesne P., 1914. – Liste des types de Coléoptères Histérides décrits par S. de Marseul et conservés au Muséum national d'Histoire naturelle. *Bulletin du Muséum d'Histoire naturelle*, 5 : 270-281.

Galan C. & Herrera F. F., 2006. – Fauna cavernícola de Venezuela: una revisión. *Boletin de la. Sociedade Venezolana de Espeleologia*, 40: 39-57.

Gomy Y., 1969. – Les Bacanius de Madagascar [Col. Histeridae]. *Bulletin de la Société entomologique de France*, 74 : 71-79.

Gomy Y., 1970. – Trois *Bacanius* Lec. nouveaux des îles Mascareignes [Col. Histeridae]. *Bulletin de la Société entomologique de France*, 75 : 248-253.

Gomy Y., 1978. – Coléoptères Histeridae de l'Archipel des Comores. *Mémoires du Muséum national d'Histoire naturelle, Nouvelle série, Série A, Zoologie*, 109 : 85-101.

Gomy Y., 1980. – Courte note sur le sous-genre *Neobacanius* [Col. Histeridae]. *L'Entomologiste*, 36 (4-5) : 193-196.

Gomy Y., 1981. – Contribution à la connaissance des micro-Histeridae (Coleoptera) de la faune orientale et de la Nouvelle-Guinée. *Folia entomologica Hungarica – Rovartani Közlemények,* 92 (34): 79-90.

Gomy Y., 1983. – Les Coléoptères Histeridae des îles Mascareignes. *Annali del Museo Civico di Storia naturale Giacomo Doria, Genova*, 84 : 269-348.

Gomy Y., 1989. – Contribution à la connaissance des Micro-Histeridae (Coleoptera) (Deuxième note). *Revue suisse de Zoologie*, 96 (3) : 605-609.

Gomy Y., 2001. – Description d'un genre et de trois nouvelles espèces de micro-Histeridae du Nicaragua (Coleoptera). *Nouvelle Revue d'Entomologie, (N.S.),* 17 (3) : 265-272.

Gomy Y., 2009. – Miscellanea Histeridologica (1). *Nouvelle Revue d'Entomologie (N. S.)*, 26 (4) : 326.

Gomy Y., 2010. – Contribution à la connaissance des Bacaniini afrotropicaux. De l'étude de quelques types et de ses conséquences (Coleoptera, Histeridae). *Nouvelle Revue d'Entomologie, (N. S.),* 26 (3) [2009] : 253-275.

Gomy Y., 2010. – Miscellanea Histeridologica (1). *Nouvelle Revue d'Entomologie, (N. S.),* 26 (4) [2009] : 326.

Gomy Y., 2014a. – RUPERT L. WENZEL (1915-2006) ou l'isolationnisme yanqui. *Le Coléoptériste*, 17 (1) : 50-56.

Gomy Y., 2014b. – Addenda à la biographie de Rupert L. Wenzel. *Le Coléoptériste*, 17 (3) : 162.

Gomy Y., 2017. – Histeroidea, 141-155. *In*: *Les Coléoptères de l'île de la Réunion*, coordination par Yves Gomy, Rémy Lemagnen et Jacques Poussereau, Editions Orphie, La Réunion, 759 p.

Hatch M. H., 1962. – The beetles of the Pacific Northwest. Part III: Pselaphidae and Diversicornia I. *University of Washington Publications in Biology*, 16 : 1-503.

Horn G., 1873. – Synopsis of the Histeridae of the United States. *Proceedings of the American Philosophical Society*, 13 : 273-360.

Hutton J. M., 2018. – *Diet composition explains reductions in stream salamander occupancy and abundance along a conductivity gradient*. Theses and Dissertations - Forestry and Natural Resources. 40, University of Kentucky, 115 p. https://uknowledge.uky.edu/forestry_etds/40

Kanaar P., 1993. – Les coléoptères Histeridae récoltés sur Mesa Turik, Sierra de Perija, Venezuela. *Boletin de la. Sociedade Venezolana de Espeleologia*, 27: 26-28.

Kovarik P.W. & Caterino M.S., 2016. – 13.3 Histeridae Gyllenhal, 1808, 281-314. *In*: R.G. Beutel & R.A.B. Leschen (eds.) *Handbook of Zoology, Arthropoda: Insecta*, *Coleoptera, Beetles - vol. 1: Morphology and Systematics (Archostemata, Adephaga, Myxophaga, Polyphaga partim)*, 2nd edition, De Gruyter, Berlin/ Boston, xvii + 684 p. DOI: 10.4081/fe.2017.265

Kryzhanovskij O.L. & Reichardt A.N., 1976. – Zhuki nadsemeystva Histeroidea (semeystva Sphaeritidae, Histeridae, Synteliidae). ln : Fauna SSSR, Zhestkokrylye, Tom 11, vyp. 4., Leningrad, 434 p. [en russe].

Le Conte J. L., 1853. – Synopsis of the species of the histeroid genus *Abraeus* (Leach) inhabiting the United States, with descriptions of two nearly allied new genera. *Proceedings of the Academy of Natural Sciences of Philadelphia*, 6 : 287-292.

Le Conte J. L., 1863. – List of the Coleoptera of North America. Prepared for the Smithsonian Institution, part I. *Smithsonian Miscellaneous Collections* : 140, 1-49.

Leivas F. W. T., Bicho C. de L. & Degallier N., 2024. – Histeridae (Staphyliniformia: Coleoptera) from Brazil: an overview. *Zoologia* (Curitiba), 41 : 24 p. https://doi.org/10.1590/S1984-4689.v41.e24008

Lewis G., 1888. – Class Insecta. Order Coleoptera. Fam. Histeridae, 182-244. *In* : Godman F. D. & Salvin O. (éds), *Biologia Centrali-Americana,* 2 (1) : 264 p. + 7 pl.

Marseul S.-A., A. de, 1853. – Essai monographique sur la famille des histérides, comprenant la description et la figure au trait des genres et des espèces, leur distribution méthodique, avec un résumé de leurs moeurs et de leur anatomie. *Annales de la Société entomologique de France (3)*, 1 : 131-160, 177-294.

Marseul S.-A., A. de, 1856. – Supplément à la monographie des histérides (suite). *Annales de la Société entomologique de France (3)*, 4 : 97-144, 259-283, 549-628.

Marseul S.-A., A. de, 1863. – Supplément à la monographie des histérides (suite). *Annales de la Société entomologique de France (4)*, 2 [1862]: 669-720.

Mazur S., 1984. – A world catalogue of *Histeridae*. Swiatowy katalog gnilików (*Histeridae*). *Polskie Pismo entomologiczne – Bulletin entomologique de Pologne*, 54 (3-4) : 1-379.

Mazur S., 1991. – Histeridae from the Nepal Himalayas, II (Insecta: Coleoptera). *Stuttgarter Beiträge zur Naturkunde, Serie A (Biologie)*, 467 : 1-12.

Mazur S., 1997. – A world catalogue of the Histeridae (Coleoptera: Histeroidea). *Genus, International Journal of invertebrate Taxonomy, suppl.* : 1-373.

Mazur S., 2001. – Review of the Histeridae (Coleoptera) of México. *Dugesiana*, 8 (2) : 17-66.

Mazur S., 2011. – *A concise catalogue of the Histeridae (Insecta: Coleoptera)*. Warszawa, Warsaw University of Life Sciences - SGGW Press : 332 p.

Mazur S. & Sawoniewicz M., 2008. – Descripción de dos especies nuevas del género *Bacanius* (Coleoptera, Histeridae) de México. *Dugesiana*, 15 (2) : 73-75.

McGrath R.M. & Hatch M. H., 1941. – The Coleoptera of Washington: Sphaeritidae and Histeridae. *University of Washington Publications in Biology*, 10 : 49-91.

Müller G., 1925. – Le specie europee del genere *Bacanius* Lec. *Studi entomologici*, 1 (1) : 18-20.

Newton A.F., 2015. – New Nomenclatural and Taxonomic Acts, and Comments, 1-15. *In :* Löbl I. & Löbl D. (eds) Catalogue of palaearctic Coleoptera, Hydrophiloidea – Staphylinoidea, Revised

and updated edition, vol. 2/1, Koninklijke Brill, Leiden : 24 p. https://www.zin.ru/animalia/coleoptera/pdf/palcatalogue_2nded_new_acts.pdf

Pérez-Lachaud G., Degallier N., Gomy Y., Elias-Guttiérez M., Rocha F. H. & Lachaud J.-P., 2023. – Cohabitation with aggressive hosts: description of a new microhisterid species in nests of a ponerine ant with ecological notes. *Scientific Reports*, 13, 18484. https://doi.org/10.1038/s41598-023-45692-1

Portevin G., 1929. – *Histoire naturelle des Coléoptères de France*. Tome 1. Paul Lechevalier (éd.), Paris.

Queney P. & Prévost P., 2021. – *Clés d'identification des Coléoptères aquatiques (adultes) de France métropolitaine, tome I: Myxophaga, Polyphaga Hydrophiloidea (y compris espèces terrestres)*. Ed. ADEP, Compiègne & OPIE, Guyancourt, 189 p.

R Core Team, 2022. – R: A language and environment for statistical computing. R Foundation for Statistical Computing, Vienna, Austria. URL : https://www.R- project.org/

Raingeard J. & Degallier N., 2018. – Une méthode de ramollissage ultrarapide pour Coléoptères. *Le Coléoptèriste*, 21 (1) : 41-42.

Reese E.M. & Swanson A.P., 2017. – A Review of the Cactophilic *Carcinops* Marseul (Coleoptera: Histeridae) of the Sonoran Desert Region, with Descriptions of Six New Species. *The Coleopterists Bulletin*, 71(1): 159-190. http://dx.doi.org/10.1649/0010-065X-71.1.159

Reichardt A., 1941. – Fam. Sphaeritidae et Histeridae (partie 1), xiii + 419 p. *In* : S.A. Sernov, D.A. Ogloblin & A.A. Schtackelberg (Eds.) Faune de l'URSS. Insectes Coléoptères, vol. V, n°3, Institut Zoologique de l'Académie des Sciences de l'URSS, Nouvelle série n°26, Moscou, Leningrad.

Reisdorf P., 2013. – Une technique logicielle simple pour réaliser des dessins au trait. *Le Coléoptériste*, 16 : 196-198.

Ruesink W. G. & Parsons G. L., 2023. – Beetle species in the MSU-ARC not previously reported from Michigan: Contribution #3. *Newsletter of the Michigan Entomological Society*, 67 (1) : 3-11.

Sbordoni V., Argano R. & Zullini A., 1973. – Biological inverstgations on the caves of Chiapas (Mexico) and adjacent countries: introduction, 5-45. *In* : Problemi attuali di Scienza e di Cultura, sezione Missioni ed esplorazioni – I. Quaderno n. 171 "Subterranean Fauna of Mexico", Part II, Further results of the Italian zoological Missions to Mexico, sponsored by the National Academy of Lincei (1969 and 1971), Roma, Accademia Nazionale dei Lincei.

Sbordoni V., Argano R., Vomero V. & Zullini A., 1977. – Ricerche sulla fauna cavernicola del Chiapas (Messico) e delle regioni limitrofe: grotte esplorate nel 1973 e nel 1975. Criteri per una classificazione biospeleologica delle grotte, 5-74. *In* : Problemi attuali di Scienza e di Cultura, sezione Missioni ed esplorazioni – I. Quaderno n. 171 "Subterranean Fauna of Mexico", Part III, Further results of the Italian zoological Missions to Mexico, sponsored by the National Academy of Lincei (1973 and 1975), Roma, Accademia Nazionale dei Lincei.

Scott H., 1908. – Fam Histeridae, 508-534. *In* : Sharp D. (Ed.) *Fauna Hawaiiensis or the zoology of the Sandwich (Hawaiian) Isles: Being Results of the Explorations instituted by the Joint Committee appointed by the Royal Society of London for promoting natural knowledge and the British Association for the advancement of science and carried on with the assistance of those Bodies and of the Trustees of the Bernice Pauahi Bishop Museum at Honolulu*. Vol. Ill, part V, Coleoptera. III, Cambridge.

Secq M. & Secq B., 2017. – *Bacanius (s. str.) punctiformis* (J. L. Le Conte, 1853), espèce nouvelle pour la faune de France (Coleoptera Histeridae). *L'Entomologiste*, 73 (1) : 5-8.

Ulyshen M. D. & Hanula J. L., 2010. – Patterns of saproxylic beetle succession in loblolly pine. *Agricultural and Forest Entomology*, 12 : 187-194.

Vomero V., 1973. – Stato attuale delle conoscenze sugli Histeridae ipogei. *International Journal of Speleology*, 5 : 361-367.

Vomero V., 1974. – *Troglobacanius* n. gen. with four new species, a line of cave-adapted mexican Histeridae (Coleoptera), 325-361. *In* : Problemi attuali di Scienza e di Cultura, sezione Missioni ed esplorazioni – I. Quaderno n. 171 "Subterranean Fauna of Mexico", Part II, Further results of the Italian zoological Missions to Mexico, sponsored by the National Academy of Lincei (1969 and 1971), Roma, Accademia Nazionale dei Lincei.

Vomero V., 1998. – Coleoptera Histeridae, pp. 1131-1138. *In*: C. Juberthie & V. Decu (eds.), *Encyclopaedia Biospeologica*, II, Société de Biospéléologie, Moulis-Bucarest, viii + 835-1375 p.

Warner W. B., 2017. – Sliding down the V: a low cost and efficient flight intercept trap. *Scarabs*, 83 (March) : 15-18.

Warner W. B., 2021. – A brief review of the New World *Xestipyge* Marseul (Coleoptera: Histeridae: Dendrophilinae: Paromalini) with description of a new species from the southwestern USA. *Insecta Mundi*, 0854: 1-12.

Watrous L. E., 2006. – Contribution to the Taxonomic Inventory of Coleoptera at Cuivre River State Park, Lincoln Co., MO. *Cool-Season Sampling, Nov. 2005 through April 2006*. Report Prepared for Natural Resources Management Section, Resource Management and Interpretation Program, Division of State Parks, Missouri Department of Natural Resources, 54 p.

Wenzel R. L., 1944. – On the classification of the histerid beetles. *Fieldiana Zoology*, 28 : 51-151.

Wenzel R. L., 1955. – Histerid beetles of New Caledonia (Coleoptera: Histeridae). *Fieldiana, Zoology*, 37 (23) : 601-634.

Wenzel R. L., 1960. – Three new histerid beetles from the Pacific Northwest, with records and synonymies of additional species (Coleoptera: Histeridae). *Fieldiana, Zoology*, 39 (41) : 447-463.

Wenzel R. L. & Dybas H. S., 1941. – New and little known neotropical Histeridae (Coleoptera). *Zoological Series, Field Museum of Natural History*, 22 (7, publ. 492) : 433-472.

Yélamos T., 1991. – New data on the Histeridae from the Hawaiian islands (Coleoptera). *The Coleopterist's Bulletin*, 45 (3) : 201-205.

Yélamos T., 1996. – Descripción de una nueva especie de *Bacanius* (Coleoptera : Histeridae) endogeo de México. *Nouvelle Revue d'Entomologie (N. S.)*, 12 (4) [1995] : 255-258.

Contribution des auteurs [1]

Conception du projet. – ND & YG
Correspondance avec l'éditeur. – ND
Rédaction de l'article. – ND & AT
Relecture de l'article. – ND, AT, PK, VV & YG
Travail bibliographique. – ND
Travail de terrain. – AT & PK
Etude du matériel. – ND, AT, PK & VV
Auteurs des figures. – ND, AT, PK & VV + autres cités dans "Crédits des photos"

[1] **ND** = Nicolas Degallier - **AT** = Alexey K. Tishechkin - **PK** = Peter W. Kovarik - **VV** = Vincenzo Vomero - **YG** = Yves Gomy.

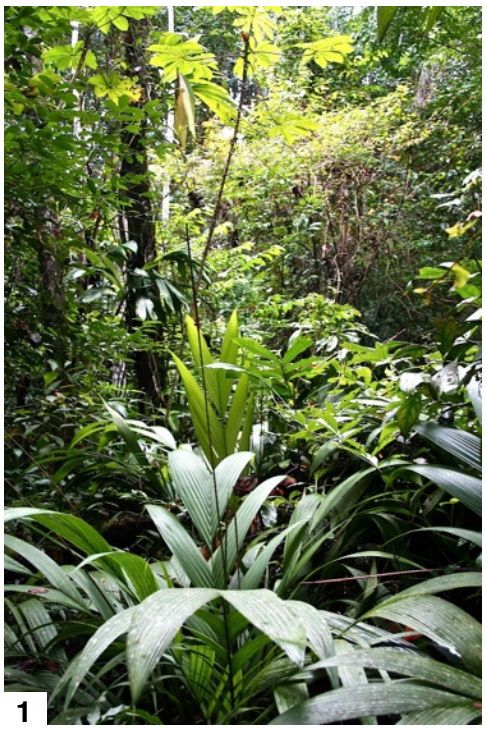
1

3

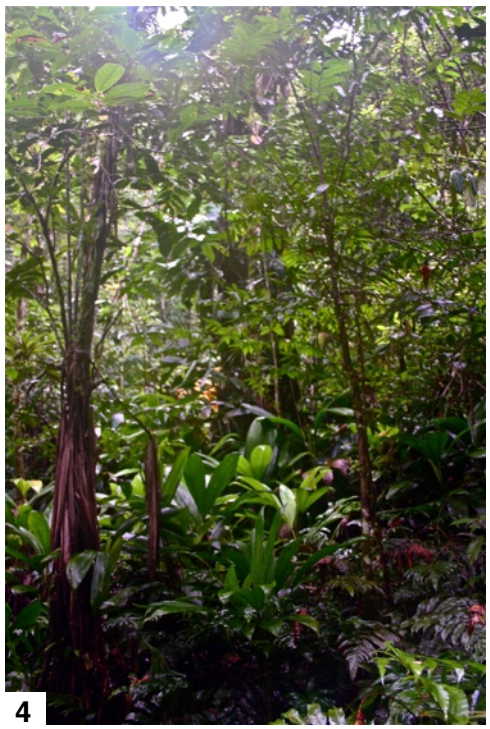
4

2

5

6

7

Photos 1-**7**. Belize.

1-**3**. Toledo District, Edwards Central, forêt humide de montagne en basse altitude [lower montane wet forest]. **1**. (***Bacanius irlanda***). **2**. (***Bacanius montanus***). **3**. (***Bacanius pusillus***).

4-**5**. Forêt humide de montagne en basse altitude [lower montane wet forest]. **4**. (***Bacanius wenzeli***). **5**. (***Bacanius scalptus***).

6-**7**. Cayo District, Chiquibul National Forest, Las Cuevas Research Station, tropical moist forest [forêt tropicale humide]. **6**. (***Bacanius wenzeli***). **7**. (***Bacanius wenzeli***).

Photos 8-14.

8. Belize, Orange Walk District, zone de conservation de Rio Bravo, Well Trail FIT, forêt tropicale saisonnière de feuillus à feuilles persistantes (***Bacanius scalptus***).

9-10. USA, Floride, Putnam County, Katherine Ordway Preserve, Turkey oak scrub [broussaille de chêne de Turquie : *Quercus laevis* Walter]. **9**. (***Bacanius misellus***). **10**. (***Bacanius punctiformis***).

11. Belize, Cayo District, Chiquibul National Forest, Las Cuevas Research Station, tropical moist forest [forêt tropicale humide] (***Bacanius wenzeli***).

12-14. Mexique. **12**. Oaxaca, S. Suchixtipec, oak-pine forest [forêt de chênes et pins] (***Bacanius andersoni***). **13**. Hidalgo, Tlanchinol, oak tree in cloud forest [chêne dans la forêt de nuages] (***Bacanius subcarinatus***). **14**. Hidalgo, Tlanchinol, cloud forest [forêt de nuages] (***Bacanius tlanchinol***).

Photos 15-16.

15-16. Mexique, Hidalgo, Tlanchinol. **15**. Cloud forest [forêt de nuages] (***Bacanius tlanchinol***). **16**. Tree fern in cloud forest [fougère arborescente dans la forêt de nuages] (***Bacanius tlanchinol***).

Abstract

Degallier N., Tishechkin A. K., Kovarik P. W., Vomero V. & Gomy Y., 2025. – Contribution to the knowledge of the *Bacaniini* Kryzhanovskij of the New World with a key of the species and the description of three new species (Coleoptera, Histeridae, Dendrophilinae). *Faunitaxys*, 13(34) : 1 – 66.

Thirty-four species of *Bacaniini* Kryzhanovskij from the New World including the widely distributed species *Abraeomorphus atomarius* (Sharp) and *Mullerister rombophorus* (Aubé) are revised. Eight species are removed from the subgenus *Gomyister* Mazur and returned to the nominal subgenus: *Bacanius* (s. str.) *acuminatus* Casey **nov**. **comb**., *B*. (s. str.) *debilitans* Casey **nov**. **comb**., *B*. (s. str.) *ferrugineus* Bickhardt **nov**. **comb**., *B*. (s. str.) *gomyi* Yélamos **nov**. **comb**., *B*. (s. str.) *irlanda* Mazur & Sawoniewicz **nov**. **comb**., *B*. (s. str.) *misellus* Le Conte **nov**. **comb**., *B*. (s. str.) *montanus* Mazur & Sawoniewicz **nov**. **comb**., and *B*. (s. str.) *subcarinatus* Wenzel & Dybas **nov**. **comb**. Species *Bacanius* (s. str.) *lissosternum* (Degallier) **nov**. **comb**. and *Bacanius* (s. str.) *parenthesis* (Degallier) **nov**. **comb**. are removed from the genus *Degallierister* Gomy. *Bacanius* (s. str.) *striatinotum* Wenzel and *B*. (s. str.) *pusillus* Wenzel are restored to their original genus. A lectotype is designated for each of the following species: *B. convergens* Schmidt, *B. debilitans* Casey, *B. ferrugineus* Bickhardt and *B. humicola* Marseul. *Bacanius andersoni* Degallier & Kovarik **nov**. **sp**., *Bacanius tlanchinol* Degallier & Kovarik **nov**. **sp**. and *Bacanius wenzeli* Degallier, Kovarik, Tishechkin & Vomero **nov**. **sp**. are described from Central America. *Bacanius rugisternus* Wenzel is synonymized with *Bacanius humicola*. An identification key is proposed for the *Bacaniini* of the New World.

Keywords. – Coleoptera, Histeridae, Dendrophilinae, *Bacaniini*, taxonomy, new species, lectotypes, *Bacanius*, *andersoni*, *tlanchinol*, *wenzeli*, *rugisternus*, *humicola*, nearctic region, neotropical region.

Riassunto

Degallier N., Tishechkin A. K., Kovarik P. W., Vomero V. & Gomy Y., 2025. – Contributo alla conoscenza dei *Bacaniini* Kryzhanovskij del Nuovo Mondo con una chiave di identificazione delle specie e la descrizione di tre nuove specie (Coleoptera, Histeridae, Dendrophilinae). *Faunitaxys*, 13(34) : 1 – 66.

Sono state studiate trentaquattro specie di *Bacaniini* provenienti dal Nuovo Mondo, nonché le specie sub-cosmopolite *Abraeomorphus atomarius* e *Mullerister rombophorus*. Otto specie sono state rimosse dal sottogenere *Gomyister* e restituite al sottogenere nominale: *Bacanius* (s. str.) *acuminatus* **nov**. **comb**., *B*. (s. str.) *debilitans* **nov**. **comb**., *B*. (s. str.) *ferrugineus* **nov**. **comb**., *B*. (s. str.) *gomyi* **nov**. **comb**., *B*. (s. str.) *irlanda* **nov**. **comb**., *B*. (s. str.) *misellus* **nov**. **comb**., *B*. (s. str.) *montanus* **nov**. **comb**. e *B. (s. str.) subcarinatus* **nov**. **comb**. Due specie, *Bacanius* (s. str.) *lissosternum* (Degallier) **nov**. **comb**. e *Bacanius* (s. str.) *parenthesis* (Degallier) **nov**. **comb**. sono stati rimossi dal genere *Degallierister*. *Bacanius* (s. str.) *striatinotum* e *B*. (s. str.) *pusillus* sono riportati al loro genere originale. Un lectotipo è stato designato per le seguenti quattro specie: *B. convergens, B. debilitans, B. ferrugineus* e *B. humicola*. *B. rugisternus* è posto in sinonimia con *B. humicola*. Tre specie, *Bacanius andersoni* **nov**. **sp**., *Bacanius tlanchinol* **nov**. **sp**. e *Bacanius wenzeli* **nov**. **sp**. sono descritti dall'America Centrale. Viene proposta una chiave di identificazione complessiva per i *Bacaniini* del Nuovo Mondo.

Parole chiave. – Coleoptera, Histeridae, Dendrophilinae, *Bacaniini*, tassonomia, nuove specie, lectotipo, *Bacanius*, *andersoni*, *tlanchinol*, *wenzeli*, *rugisternus*, *humicola*, Neotropicale.

Annexe 1. **Liste des caractères et de leurs états au format DELTA et utilisés dans les descriptions ou la clé d'identification**.

Character List

#**1**. Longueur (pronotum + élytre):/
mm/

#**2**. Largeur maximale:/
mm/

#**3**. Épaisseur maximale:/
mm/

#**4**. <Rapport de la longueur sur la largeur>/
fois aussi long que large/

#**5**. <Rapport de la longueur sur l'épaisseur>/
fois aussi long qu'épais/

#**6**. (N =/
)/

#**7**. Dessus du corps/
1. ponctué, au moins sur le pronotum/
2. imponctué/

#**8**. Ponctuation/
1. portant des soies fortes en massue/
2. non sétigère/
3. briévement sétigère/

#**9**. Ponctuation/
1. multiple, composée de points disposés en pentagone ou en hexagone/
2. double/
3. simple/

#**10**. Yeux/
1. absents ou réduits à quelques ommatidies/
2. bien développés/

#**11**. Labre/
1. non sétigère/
2. sétigère/

#**12**. Front/
1. alutacé entre les points/
2. microstrié entre les points/
3. lisse entre les points/

#**13**. Ponctuation du clypeus/
1. au plus aussi grosse que celle du front/
2. plus grosse que celle du front/

#**14**. Apex des mandibules/
1. non bifide/
2. bifide ou trifide/

#**15**. Mandibules du mâle/
1. sans dent sur le bord externe/
2. avec une dent sur le bord externe/

#**16**. Scape antennaire/
1. non dilaté/
2. fortement dilaté/

#**17**. Massue antennaire/
1. sans sutures distinctes/
2. avec des sutures distinctes/

#**18**. Bords du front au-dessus des yeux/
1. divergents vers l'avant/
2. parallèles/

#**19**. Marge antérieure <du pronotum> derrière la tête/
1. droite ou peu convexe, non bisinuée/
2. fortement bisinuée vers l'avant/

#**20**. <Pronotum à> ponctuation/
1. non réunie par des sillons/
2. réunie par des sillons longitudinaux profonds sur toute sa surface/

#**21**. <Pronotum à> ponctuation/
1. uniforme/
2. moins grosse sur le disque que sur les bords/
3. plus grosse sur le disque que sur les bords/

#**22**. <Pronotum à ponctuation> d'environ/
mm de diamètre/

#**23**. <Pronotum à ponctuation>/
1. aux rebords mal délimités <points non rugueux>/
2. aux rebords bien marqués/

#**24**. Distante de/
diamètres sur le disque/

#**25**. Angles antérieurs <du pronotum>/
1. sans pore distinct/
2. avec un pore distinct/

#**26**. Ligne de points distincts à la base <du pronotum>/
1. présente/
2. absente/

#**27**. Espace entre la ligne antéscutellaire de points et la base <du pronotum>/
1. ponctué/
2. très étroit ou nul/
3. strié longitudinalement/
4. lisse/

#**28**. Écusson (scutellum)/
1. invisible/
2. visible/

#**29**. Strie marginale <du pronotum>/
1. nettement éloignée du bord en avant, d'au moins 0,018 mm/
2. rapprochée du bord en avant de moins de 0,018 mm/

#**30**. Strie marginale <du pronotum>/
1. non crénelée <en avant>/
2. crénelée ou ponctuée <en avant>/

#**31**. Élytres/
1. imponctués, recouverts d'une microsculpture très fine/
2. pointillés/
3. ponctués/

#**32**. Élytres/
1. sans zone prébasale commune ponctuée différemment de part et d'autre de la suture/
2. avec une zone prébasale ovale commune vers la suture, délimitée par une ligne de points ou de granules/

#**33**.Élytres/
1. avec un pore à l'angle huméral/
2. avec un pore vers le quart externe de la base/
3. avec un pore vers le tiers externe de la base/
4. sans pore prébasal visible/
5. avec un pore vers le milieu de la base/

#**34**. <Pore basal des élytres> situé à/
% de la largeur basale de l'élytre depuis la suture/

#**35**. Ponctuation <élytrale>/

1. non reliée par des sillons/
2. reliée par des sillons (striolée)/

#**36**. Ponctuation <élytrale>/
1. plus grosse que celle du pronotum/
2. moins grosse que celle du pronotum/
3. égale à celle du pronotum/

#**37**. Ponctuation <élytrale>/
1. moins forte le long de la suture sur la moitié basale/
2. plus forte le long de la suture sur la moitié basale/
3. uniforme/

#**38**. Disque <des élytres>/
1. sans strie transverse/
2. avec une strie transverse droite ou hamiforme/

#**39**. Strie <élytrale> transverse ou hamiforme/
1. non constituée de petits tubercules/
2. constituée de petits tubercules/

#**40**. Élytres/
1. avec moins de trois stries dorsales quand elles sont présentes/
2. avec au moins trois stries dorsales/

#**41**. Moitié externe des élytres avec/
1. une strie dorsale et une strie subhumérale (marginale)/
2. seulement la strie subhumérale (marginale)/
3. seulement la strie dorsale/
4. une seule strie (dorsale, subhumérale ou marginale)/
5. deux stries (dorsale et subhumérale ou marginale)/

#**42**. <Stries élytrales dorsale et subhumérale>/
1. au moins deux fois plus distantes à la base qu'à l'apex/
2. parallèles ou s'éloignant à la base de moins de deux fois de leur distance apicale/

#**43**. Strie dorsale <des élytres>/
1. absente/
2. non recourbée le long de la base/
3. recourbée en direction de la suture/

#**44**. Strie dorsale <des élytres>/
1. où elle est raccourcie/
2. où elle est entière ou à peine raccourcie/

#**45**. Strie dorsale <des élytres>/
1. n'atteignant pas l'apex en arrière/
2. atteignant l'apex <en arrière>/

#**46**. Strie dorsale <des élytres>/
1. mais n'atteignant pas l'angle sutural en arrière/
2. et l'angle sutural en arrière/

#**47**. Strie <élytrale> subhumérale (marginale)/
1. absente/
2. interrompue/
3. raccourcie/
4. complète/

#**48**. Strie <élytrale> subhumérale (marginale)/
1. non réunie à la strie dorsale en arrière/
2. réunie à la strie dorsale en arrière/

#**49**. Élytres/
1. sans stries basales supplémentaires/
2. avec des traces de courtes stries basales de longueurs inégales/

#**50**. Élytres/
1. avec une aire lisse basale <étroite> vers la suture/
2. sans aire lisse basale vers la suture/

#**51**. Strie <élytrale> suturale/
1. absente/
2. présente/

#**52**. Strie <élytrale> suturale/
1. constituée de petits tubercules alignés/
2. simple/
3. géminée/

#**53**. Ponctuation de l'apex des élytres/
1. non striolée/
2. striolée/

#**54**. Strie <élytrale> épipleurale/
1. absente/
2. présente/

#**55**. Strie <élytrale> épipleurale/
1. interrompue/
2. raccourcie/
3. entière/

#**56**. Épipleure <élytral>/
1. imponctué/
2. ponctué/

#**57**. Épipleure <élytral>/
1. sans pore distinct/
2. avec un pore situé au niveau du quart basal et ventralement à la strie subhumérale/

#**58**. Pygidium/
1. pointillé/
2. ponctué/
3. lisse/

#**59**. Pygidium/
1. <ponctué> comme les élytres/
2. moins fortement <ponctué> que les élytres/
3. plus fortement <ponctué> que les élytres/

#**60**. Pygidium avec les points/
1. étirés transversalement et disposés en cercles concentriques apicalement/
2. arrondis/

#**61**. Pygidium <avec les points> distants de/
diamètres/

#**62**. Lobe prosternal/
1. sans strie marginale antérieure/
2. avec une strie marginale antérieure/

#**63**. Lobe prosternal/
1. non émarginé en avant/
2. émarginé au milieu en avant/

#**64**. Lobe prosternal/
1. avec une striation longitudinale irrégulière/
2. ponctué ou pointillé, sans striation longitudinale irrégulière/

#**65**. Alae du prosternum/
1. non incisées/
2. incisées pour recevoir le funicule antennaire/

#**66**. Stries prosternales/
1. parallèles en avant/
2. convergentes en avant/
3. divergentes en avant/

#**67**. Stries prosternales/
1. parallèles en arrière/
2. divergentes en arrière/

#**68**. Carène prosternale/
1. pointillée/
2. lisse/
3. ponctuée/

#**69**. Carène prosternale/
1. plus large que longue/
2. moins large que longue/
3. aussi large que longue/

#**70**. Mésoventrite/
1. sans strie ou rangée de sulci/
2. avec une rangée de sulci ou points allongés/

#**71**. Mésoventrite/
1. sans ligne de points plus gros en avant/
2. avec une ligne transversale de points plus gros en avant/

#**72**. Mésoventrite/
1. avec la strie marginale arrondie latéralement à sa jonction avec la strie métaventrale latérale/
2. avec la strie marginale marquant un angle net avec la strie métaventrale latérale/

#**73**. Mésoventrite/
1. <avec la strie marginale latéralement> non réunie à la strie mésopostcoxale/
2. <avec la strie marginale latéralement> en continuité avec la strie mésopostcoxale/

#**74**. Disque méso-métaventral/
1. lisse ou pointillé, le diamètre des points inférieur ou égal à 0,009 mm/
2. ponctué, le diamètre des points supérieur à 0,01 mm/

#**75**. Strie méso-métaventrale/
1. présente/
2. absente/

#**76**. Suture méso-métaventrale/
1. invisible/
2. visible/

#**77**. Suture méso-métaventrale ou sa trace plus foncée/
1. convexe vers l'arrière/
2. droite/

#**78**. Disque métaventral/
1. pointillé ou lisse/
2. ponctué/

#**79**. Disque métaventral/
1. entièrement <lisse>/
2. <ponctué> seulement entre les métacoxae/
3. entièrement <ponctué>/

#**80**. Disque métaventral/
1. sans impression longitudinale chez les mâles/
2. nettement impressionné chez les mâles/

#**81**. Disque métaventral/
1. sans zone médiane plus finement et densément ponctuée/
2. avec une zone médiane plus finement et densément ponctuée/

#**82**. Disque métaventral/
1. sans rangée longitudinale de points distincte/
2. avec deux rangées longitudinales de points distinctes latéralement/

#**83**. Disque métaventral/
1. sans fine carène médiane apicale ou tubercule allongé/
2. avec une fine carène médiane apicale ou un tubercule allongé/

#**84**. Disque métaventral chez le mâle/
1. concave étroitement entre deux élévations longitudinales/
2. sans concavité/
3. concave sur les deux-tiers postérieurs/
4. concave sur tout le disque et le mésoventrite/
5. concave sur tout le disque mais pas sur le mésoventrite/

#**85**. Métaventrite latéral/
1. imponctué/
2. ponctué/

#**86**. Métaventrite latéral/
1. sans stries/
2. avec deux stries de chaque côté/
3. avec seulement une strie de chaque côté/

#**87**. Métaventrite latéral/
1. sans strie méso-postcoxale/
2. avec une strie méso-postcoxale/

#**88**. Aire méso-postcoxale/
1. alutacée/
2. imponctuée/
3. ponctuée/

#**89**. Mésépimère/
1. microstrié/
2. alutacé/
3. imponctué/
4. ponctué/

#**90**. Mésépimère/
1. sans strie coudée interne (ventrale)/
2. avec une strie coudée ou arrondie interne (ventrale)/

#**91**. Mésépimère/
1. sans strie externe (dorsale)/
2. avec une strie externe (dorsale)/

#**92**. Mésépimère/
1. <avec la strie externe> angulée ou fortement recourbée/
2. <avec la strie externe> droite ou faiblement recourbée/

#**93**. Métépimère/
1. imponctué/
2. ponctué/

#**94**. Métépisterne/
1. invisible/
2. visible/

#**95**. Premier ventrite abdominal/
1. imponctué ou pointillé/
2. à ponctuation au moins aussi grosse que celle du métaventrite latéral/
3. à ponctuation plus fine que celle du métaventrite latéral/

#**96**. Premier ventrite abdominal/
1. <à ponctuation> étirée transversalement/
2. <à ponctuation> ronde/

#**97**. Premier ventrite abdominal/
1. sans rangée de points distincts de la ponctuation longeant la marge antérieure/
2. avec une rangée de points distincts de la ponctuation longeant la marge antérieure/

#**98**. Premier ventrite abdominal/
1. avec deux stries latérales/
2. avec une strie latérale/

#**99**. Premier ventrite abdominal/
1. d'abord longitudinale puis coudée ou arrondie/
2. régulièrement arrondie vers l'extérieur/

#**100**. Strie post-métacoxale/
1. absente/
2. présente/

#**101**. Protibias/

1. à la marge apicale convexe/
2. à la marge apicale droite/
3. à la marge apicale concave/

#**102**. Protibias/
1. alutacés sur leur face ventrale/
2. ponctués sur leur face ventrale/

#**103**. Protibias avec/
denticule(s) le long du bord externe/

#**104**. Protarses/
1. avec des soies au moins aussi longues que la moitié du dernier article/
2. sans soies modifiées en massue ou allongées en plus des soies simples/
3. avec des soies modifiées en massue allongée en plus des soies simples/

#**105**. Protarses chez le mâle/
1. avec des ventouses ventrales sur les deuxième et troisième articles/
2. non modifiés ventralement/

#**106**. Profémurs/
1. sans aire imponctuée microstriée ventralement/
2. avec une aire imponctuée microstriée ventralement/

#**107**. Metatibias/
fois aussi longs que le corps/

#**108**. Paramères de l'édéage/
1. non recourbés ventralement à l'apex/
2. incurvés ventralement à l'apex/

#**109**. Paramères de l'édéage/
1. en courbe régulière/
2. en crochet à angle droit/

#**110**. Paramères de l'édéage/
fois aussi longs que large ensemble/

#**111**. Paramères de l'édéage environ/
fois aussi longs que la pièce basale/

#**112**. Paramères de l'édéage (en vue dorsale)/
1. sans élargissement préapical/
2. élargis avant l'apex/

#**113**. Paramères de l'édéage/
1. réunis apicalement/
2. séparés apicalement/

#**114**. Sur/
fois leur longueur/

#**115**. Paramères de l'édéage/
1. avec des soies ventrales préapicales/
2. sans soies ventrales préapicales/

#**116**. Au nombre de/
sur chaque paramère/

#**117**. Paramères de l'édéage/
1. sans soies ventrales apicales/
2. avec des soies ventrales apicales/

#**118**. Au nombre de/
sur chaque paramère/

#**119**. Coxites (valvifers) environ/
fois aussi longs que larges/

#**120**. Avec/
dents apicales/

#**121**. Et/
dents préapicales chacun/

#**122**. Région zoogéographique :/
1. orientale/
2. néarctique/
3. indoaustralienne/
4. afrotropicale/
5. paléarctique/
6. néotropicale/

#**123**. <Bioécologie>/

#**124**. <Matériel>/

#**125**. <Références>/

#**126**. Nom pour fichier *ofiles*/

Annexe 2. Key to the New World species of the tribe *Bacaniini*.

1. Eyes absent or reduced to a few ommatidia **2**
— Eyes generally present, various lifestyles, never cavernicolous **7**

2(1). Length (pronotum + elytra) < 1.25 mm **3**
— Length (pronotum + elytra) > 1.3 mm; pore at anterior corners of pronotum indistinct, rounded or oval; body less than 1.5 times as long as wide; flattened, lanceolate claws; Mexico; ***Troglobacanius*** **4**

3(2). Length (pronotum + elytra) < 0.95 mm; mesoventrite without row of sulci; dorsal punctation briefly setigerous . . . . ***Bacanius acuminatus*** Casey, 1893
— Length (pronotum + elytra) > 0.95 mm; mesoventrite with a row of sulci or elongated punctures; simple, nonsetigerous dorsal punctation . . . . ***Bacanius gomyi*** Yélamos, 1996

4(2). Elytral sutural stria present, formed by small tubercles **5**
— Sutural elytral stria absent **6**

5(4). Elytral sutural stria reaching the middle of elytra . . . . ***Troglobacanius reddelli*** Vomero, 1973
— Elytral sutural stria not reaching middle of elytra . . . . ***Troglobacanius maya*** Vomero, 1973

6(4). Anterior pronotal margin behind head straight or convex, not bisinuate . . . . ***Troglobacanius sbordonii*** Vomero, 1973
— Anterior pronotal margin bisinuate behind the head . . . . ***Troglobacanius bolivari*** Vomero, 1973

7(1). Mesoventrite without striae or rows of sulci **8**
— Mesoventrite with a row of sulci or elongated punctures **29**

8(7). Metaventral disc without thin apical median carina or elongated tubercle **9**
— Metaventral disc with thin apical median carina or elongated tubercle **27**

9(8). Prosternal lobe with irregular longitudinal striation **10**
— Prosternal lobe punctate or punctulate, without irregular longitudinal striation **16**

10(9). Outer half of elytra with dorsal and subhumeral (marginal) striae **11**
— Outer half of elytra with a single stria (dorsal, subhumeral or marginal) **15**

11(10). Dorsal and subhumeral striae at least twice as far apart at base as at apex; epipleura with pore located at basal quarter and ventral to subhumeral stria; meso-metaventral suture invisible **12**
— Dorsal and subhumeral striae parallel or less than twice their apical distance apart; epipleura without distinct pore; meso-metaventral suture visible **13**

12(11). Mesoventrite with the marginal stria rounded laterally at its junction with the lateral metaventral stria; mesepimere with the external stria angled or strongly curved; marginal stria of pronotum less than 0.018 mm from the margin in front; elytra punctate . . . . ***Bacanius convergens*** Schmidt, 1896
— Mesoventrite with marginal stria at a sharp angle to lateral metaventral stria; mesepimere with straight or slightly curved external stria; pronotum marginal stria at least 0.018 mm from margin in front; elytra punctulate . . . . ***Bacanius humicola*** Marseul, 1856

13(11). Dorsal punctation multiple, composed of dots arranged pentagonally or hexagonally; mesepimere with outer stria straight or weakly curved; body (ratio of length to width) 1 to 1.25 times as long as wide; front alutaceous between dots . . . . ***Bacanius wenzeli*** Degallier, Kovarik, Tishechkin & Vomero **nov**. **sp**.
— Simple dorsal punctation; mesepimere with angled or strongly curved external stria; body (length to width ratio) 1.25 to 1.5 times as long as wide; forehead smooth between points **14**

14(13). Dorsal punctation nonsetigerous; eyes well developed; punctation of clypeus at most as large as that of forehead; pronotal punctation larger on disc than on margins . . . . ***Bacanius crenulatus*** Wenzel, 1944
— Dorsal punctation briefly setigerous; eyes absent or reduced to a few ommatidia; clypeus punctuation coarser than forehead punctuation; pronotal punctuation uniform . . . . ***Bacanius acuminatus*** Casey, 1893

15(10). Line of distinct dots at base of pronotum present; sutural elytral stria absent; eyes absent or reduced to a few ommatidia; forehead smooth between dots . . . . ***Bacanius andersoni*** Degallier & Kovarik **nov**. **sp**.
— Line of distinct dots at base of pronotum absent; elytral sutural ridge present; eyes well developed; microstriated forehead between dots . . . . ***Bacanius lissosternum*** (Degallier, 2015)

16(9). Elytral punctation not connected by grooves; front smooth between points; dorsal striation of elytra not curved along base; punctuation of elytral apex not striolate **17**
— Elytral punctation connected by grooves (striolate); front microstriated between points; dorsal striation of elytra curved towards suture; punctuation of elytral apex striolate **26**

17(**16**). Dorsal and subhumeral elytral striae at least twice as far apart at base than at apex **18**
— Dorsal and subhumeral elytral striae parallel or less than twice apical distance apart at base **24**

18(**17**). Metaventral disc without distinct longitudinal row of punctures; sutural elytral stria absent **19**
— Metaventral disc with two laterally distinct longitudinal rows of punctures; sutural elytral stria present . . . . . ***Bacanius irlanda*** Mazur & Sawoniewicz, 2008

19(**18**). Impunctate mesepimeron; lateral metaventrite without mesopostcoxal striae **20**
— Mesepimeron punctate; lateral metaventrite with meso-postcoxal stria **21**

20(**19**). Dorsal punctation nonsetigerous; punctation of clypeus coarser than that of forehead; marginal stria of pronotum not crenate anteriorly; mesometaventral disc smooth or punctulate, diameter of punctures less than or equal to 0.009 mm . . . . . ***Bacanius montanus*** Mazur & Sawoniewicz, 2008
— Dorsal punctation briefly setigerous; punctation of clypeus at most as large as that of forehead; marginal stria of pronotum crenate or punctate in front; meso-metaventral disc punctate, diameter of points greater than 0.01 mm . . . . . ***Bacanius misellus*** J.L. LeConte, 1853

21(**19**). Mesepimeron without internal (ventral) elbowed stria; dorsal elytral stria not curved along the base where it is entire although it may become very fine anteriorly, this stria reaching the sutural angle posteriorly; mesoventrite without line of larger punctures anteriorly **22**
— Mesepimeron with a angled or rounded internal (ventral) stria; dorsal stria not curved along the base where it is shortened, this stria not reaching the sutural angle posteriorly; mesoventrite with a transverse line of larger punctures anteriorly . . . . . ***Bacanius neoponerae*** Degallier & Gomy, 2023

22(**21**). Clypeal punctures at most as large as that of the forehead; pronotal punctuation with poorly defined edges; prosternal striae parallel anteriorly and posteriorly **23**
— Clypeal punctation larger than forehead punctuation; pronotal punctuation with well-defined edges; prosternal striae convergent anteriorly and divergent posteriorly . . . . . ***Bacanius debilitans*** Casey, 1893

23(**22**). Elytra with a pore towards the outer third of the base; elytral punctation uniformly distributed; pygidium punctate like the elytra; prosternal lobe emarginate in the middle anteriorly . . . . . ***Bacanius ferrugineus*** Bickhardt, 1918
— Elytra with a pore towards middle of base; elytral punctation stronger along suture on basal half; pygidium more strongly punctate than elytra; prosternal lobe not emarginate anteriorly . . . . . ***Bacanius subcarinatus*** Wenzel & Dybas, 1941

24(**17**). Distinct line of punctures at base of pronotum present; elytral sutural stria present and geminate; pronotum with less coarse punctation on disc than on margins; marginal stria of pronotum crenate or punctate anteriorly . . . . . ***Bacanius parenthesis*** (Degallier, 2015)
— Line of distinct punctures at base of pronotum absent; elytral sutural stria absent; pronotum with uniform punctation; marginal ridge of pronotum not crenated anteriorly **25**

25(**24**). Mesepimeron without external (dorsal) stria, with angled or rounded internal (ventral) stria; elytra punctulate, with a pore towards outer quarter of base, and with a straight or slightly curved transverse stria; punctation of clypeus coarser than that of forehead; average length less than 1 mm . . . . . ***Bacanius pusillus*** Wenzel, 1944
— Mesepimeron with external (dorsal) stria, without internal (ventral) bent stria; elytra without visible prebasal pore and without transverse stria; punctation of clypeus at most as large as that of forehead; average length greater than. . . . . ***Bacanius tantillus*** J.L. Le Conte, 1853

26(**16**). Outer half of elytra with a single stria (dorsal, subhumeral, or marginal); pronotum with punctation not joined by grooves; mesepimeron with outer stria straight or slightly curved; pronotum with punctation less coarse on disc than on margins; marginal stria of pronotum crenate or punctate anteriorly; dorsal stria not reaching sutural angle posteriorly; epipleural stria present . . . . . ***Bacanius punctiformis*** (J.L. Le Conte, 1853)
— Outer half of elytra with two striae (dorsal and subhumeral or marginal); pronotum with punctation joined by deep longitudinal grooves over its entire surface; mesepimeron with angled or strongly curved external stria; pronotum with uniform punctuation; marginal stria of pronotum not crenate anteriorly; epipleural stria absent or indistinct . . . . . ***Bacanius scalptus*** Lewis,1888

27(**8**). Mesepimeron without external (dorsal) stria; dorsal and subhumeral elytral striae parallel or diverging at base by less than twice their apical distance; prosternal lobe with irregular longitudinal striation; elytra with pore at humeral angle . . . . . ***Bacanius tlanchinol*** Degallier & Kovarik **nov**. **sp**.
— Mesepimeron with external (dorsal) striation; dorsal and subhumeral elytral striae at least twice as far apart at base as at apex; prosternal lobe punctate or punctulate, without irregular longitudinal striation; elytra without visible prebasal pore **28**

28(**27**). Pronotal punctures smaller on disc than on edges, with well defined margins; elytral punctation less strong along suture on basal half; subhumeral (marginal) elytral stria interrupted in two sections forming an angle; epipleural stria entire; prosternal striae diverging posteriorly . . . . . ***Bacanius globulinus*** Casey, 1893
— Pronotal punctures larger on disk than on margins, with poorly defined margins; elytral punctation uniform; elytral subhumeral (marginal) stria shortened by posterior two-thirds, not interrupted; prosternal striae parallel posteriorly . . . . . ***Bacanius hatchi*** Wenzel, 1960

29(**7**). Mesepimeron without external (dorsal) stria; marginal stria of pronotum crenate or punctate anteriorly; epipleural stria present; prosternal striae divergent anteriorly **30**

— Mesepimeron with external (dorsal) stria; marginal stria of pronotum not crenate anteriorly; epipleural stria absent; prosternal striae parallel anteriorly **31**

30(**29**). Elytral punctation simple, not connected by grooves; outer half of elytra with dorsal and subhumeral (marginal) striae; mesoventrite with marginal stria marking a clear angle with lateral metaventral stria . . . . . ***Bacanius striatinotum*** Wenzel, 1944

— Elytral punctation double, connected by grooves (striolate); outer half of elytra with a single stria (dorsal, subhumeral or marginal); mesoventrite with marginal stria rounded laterally at its junction with lateral metaventral stria . . . . . ***Bacanius andrei*** Gomy, 2001

31(**29**). Prosternal lobe with irregular longitudinal striation; mesepimeron punctate, with internal (ventral) bent or rounded stria; elytral sutural stria present; marginal pronotal stria not crenate; mesoventrite with marginal stria rounded laterally at its junction with lateral metaventral stria; elytra with a pore at humeral angle . . . . . ***Bacanius sulcisternus*** Wenzel, 1944

— Prosternal lobe punctate or punctulate, without irregular longitudinal striation; mesepimeron alutaceous, without internal (ventral) angled striation; elytral sutural stria absent; line of distinct punctures at base of pronotum absent; dorsal elytral stria not reaching sutural angle posteriorly; prosternal striae parallel anteriorly . . . . . ***Bacanius gomyi*** Yelamos, 1996

Annexe 3. **Liste des espèces de *Bacaniini* du Nouveau Monde présentes dans la collection du MNHN au xx/05/2024**.

Abraeomorphus atomarius (Sharp, 1885).
Bacanius andersoni **nov**. **sp**., holotype.
Bacanius convergens Schmidt, 1896.
Bacanius debilitans Casey, 1893.
Bacanius ferrugineus Bickhardt, 1918.
Bacanius humicola Marseul, 1856 [Desbordes & Lesne, 1914].
Bacanius lissosternum (Degallier, 2015), **nov**. **comb**., holotype.
Bacanius misellus Le Conte, 1853.
Bacanius neoponerae Degallier & Gomy, 2023, holotype.
Bacanius punctiformis (Le Conte, 1853).
Bacanius pusillus Wenzel, 1944, paratype.
Bacanius subcarinatus Wenzel & Dybas, 1941.
Bacanius tantillus Le Conte, 1853.
Bacanius tlanchinol **nov**. **sp**., holotype.
Bacanius wenzeli **nov**. **sp**., paratype.
Mullerister rombophorus (Aubé, 1843).

Derniers articles publiés

Háva J. & Hodeček J., 2025. – Two additional new species of *Cryptorhopalum* (Coleoptera: Dermestidae: Megatominae) from the Dominican Republic. *Faunitaxys*, 13(06): 1 – 5. https://doi.org/10.57800/faunitaxys-13(06)

Vitali F., 2025. – The genus *Epicasta* Thomson, 1864 and the limits of the morphological systematics in the study of Lamiinae (Coleoptera Cerambycidae). *Faunitaxys*, 13(07): 1 – 5. https://doi.org/10.57800/faunitaxys-13(07)

Ythier E., Sadine S. E., Alioua Y. & Lourenço W. R., 2025. – A new species of *Androctonus* Ehrenberg, 1828 from the Tassili n'Ajjer, Algeria (Scorpiones: Buthidae). *Faunitaxys*, 13(08): 1 – 8. https://doi.org/10.57800/faunitaxys-13(08)

Strümpher W. P. & Stals R., 2025. – A world list of known cave- and bat guano-associated Trogidae (Coleoptera: Scarabaeoidea), and further range extension of *Omorgus lindemannae* (Petrovitz). *Faunitaxys*, 13(09): 1 – 11. https://doi.org/10.57800/faunitaxys-13(09)

Lourenço W. R. & Velten J., 2025. – Description of a second species for the genus *Serratochaerilobuthus* Lourenço, 2024 (Scorpiones: Chaerilobuthidae). *Faunitaxys*, 13(10): 1 – 6. https://doi.org/10.57800/faunitaxys-13(10)

Jarzabek-Müller A., 2025. – A new *Idolus* Desbrochers des Loges, 1875 for the Caucasus region (Coleoptera, Elateridae, Pomachiliini). *Faunitaxys*, 13(11): 1 – 6. https://doi.org/10.57800/faunitaxys-13(11)

Laguerre M., 2025. – New species of Arctiinae east of the Canal Zone, Panama (Lepidoptera, Erebidae, Arctiinae, Arctiini). *Faunitaxys*, 13(12): 1 – 17. https://doi.org/10.57800/faunitaxys-13(12)

Vlasak J., Botero J. P. & Santos-Silva A., 2025. – Cerambycidae and Disteniidae (Coleoptera) from Ecuador: new genus, new species, new records, and correction in species-group names. *Faunitaxys*, 13(13) : 1 – 14. DOI: https://doi.org/10.57800/faunitaxys-13(13)

Vives E., 2025. – Una nueva especie de *Pseudelasma* Breuning, 1968 (Coleoptera, Cerambycidae: Lamiinae). Cerambycidae de Vietnam (Pars 12). *Faunitaxys*, 13(14) : 1 – 2. https://doi.org/10.57800/faunitaxys-13(14)

Audureau A., 2025. – A propos de quelques Hemilophini nouveaux ou peu connus (Coleoptera, Cerambycidae, Lamiinae). *Faunitaxys*, 13(14): 1 – 6. https://doi.org/10.57800/faunitaxys-13(15)

Coache A., Dierkens M., Rainon B., Delaunay L., Josso J.-F. & Deschamps P., 2025. – Première évaluation de la faune des Scarabaeidae de la République du Bénin (Coleoptera, Scarabaeidae). *Faunitaxys*, 13(16): 1 – 119. https://doi.org/10.57800/faunitaxys-13(16)

Moret P. & Allegro G., 2025. – Illustrated checklist of the carabid beetles (Coleoptera, Carabidae) of the Otonga Nature Reserve in NW Ecuador, with ecological and biogeographic comments. *Faunitaxys*, 13(17) : 1 – 21. https://doi.org/10.57800/faunitaxys-13(17)

Huchet J.-B. & Mapile D.O.R., 2025. – A new species of *Nothochodaeus* Nikolajev, 2005 from Luzon Island, Philippines (Coleoptera: Scarabaeoidea: Ochodaeidae). *Faunitaxys*, 13(18) : 1 – 8. https://doi.org/10.57800/faunitaxys-13(18)

Vlasak J. & Santos-Silva A., 2025. – Cerambycidae (Coleoptera) from South America: new species, notes, and new records. *Faunitaxys*, 13(19) : 1 – 14. https://doi.org/10.57800/faunitaxys-13(19)

Dan Z., Zawgyi K. & Lourenço W. R., 2025. – An unusual new species of *Burmesescorpiops* Lourenço, 2016 from Cretaceous Burmese amber (Scorpiones: Palaeoeuscorpiidae: Archaeoscorpiopinae). *Faunitaxys*, 13(20): 1 – 6. https://doi.org/10.57800/faunitaxys-13(20)

Háva J., 2025. – *Litargus* (*Litargus*) *arabicus* **sp**. **nov**., a new species from Oman and Yemen, with list of Mycetophagidae (Coleoptera) species recorded from the Arabian Peninsula. *Faunitaxys*, 13(21): 1 – 2. https://doi.org/10.57800/faunitaxys-13(21)

Lin J.-Z., 2025. – *Serrognathus titanus platymelus* (Saunders, 1854) (Coleoptera: Lucanidae): First Record from the Kinmen and Matsu Archipelagos, Taiwan. *Faunitaxys*, 13(22): 1 – 5. https://doi.org/10.57800/faunitaxys-13(22)

Ythier E. & Ramage T., 2025. – Synopsis of the scorpions (Scorpiones: Buthidae, Diplocentridae) of Guadeloupe, Lesser Antilles, with description of a new species of *Oiclus* Simon, 1880 from La Désirade. *Faunitaxys*, 13(23): 1 – 12. https://doi.org/10.57800/faunitaxys-13(23)

Hennemann F. H., 2025. – A taxonomic review of Philippine Obrimini stick insects: The genus *Tisamenus* Stål, 1875 (Insecta: Phasmatodea: Heteropterygidae: Obriminae). *Faunitaxys*, 13(24) : 1 – 85. https://doi.org/10.57800/faunitaxys-13(24)

Lourenço W. R. & Velten J., 2025. – New considerations on the taxonomic status of the family Palaeotrilineatidae Lourenço, 2012 and description of a new genus and new species (Scorpiones: Buthoidea). *Faunitaxys*, 13(25): 1 – 6. https://doi.org/10.57800/faunitaxys-13(25)

Háva J. & Klejdysz T., 2025. – *Evorinea canarica* **sp**. **nov**., a new species from the Canary Islands (Coleoptera: Dermestidae: Trinodinae). *Faunitaxys*, 13(26): 1 – 4. https://doi.org/10.57800/faunitaxys-13(26)

Ythier E. & Lourenço W. R., 2025. – A new species of *Chaerilus* Simon, 1877 from Pakistan (Scorpiones: Chaerilidae). *Faunitaxys*, 13(27): 1 – 6. https://doi.org/10.57800/faunitaxys-13(27)

Engel M. S., 2025. – A review of the neotropical bee subgenus *Ctenaugochlora* (Hymenoptera: Halictidae). *Faunitaxys*, 13(28): 1 – 15. https://doi.org/10.57800/faunitaxys-13(28)

Huchet J.-B., 2025. – The Ochodaeidae of Israel: A taxonomic review with key to species and updated distribution (Coleoptera: Scarabaeoidea). *Faunitaxys*, 13(29) : 1 – 8. https://doi.org/10.57800/faunitaxys-13(29)

Cumming R.T., Foley E.M. & Le Tirant S., 2025. – *Phyllium bankae* **sp**. **nov**., a new species from Mount Ibu, Indonesia (Phasmatodea: Phylliidae). *Faunitaxys*, 13(30) : 1 – 10. https://doi.org/10.57800/faunitaxys-13(30)

Coache A. & Shizzerotto A., 2025. – A short note on Dytiscidae and Noteridae from the Archipelago of Sao Tome and Principe (Coleoptera, Dytiscidae, Noteridae). *Faunitaxys*, 13(31) : 1 – 15. https://doi.org/10.57800/faunitaxys-13(31)

Vitali F., 2025. – A new *Corethrophora* from Sulawesi with taxonomical remarks on the subgenera of *Cacia* (Coleoptera, Cerambycidae). *Faunitaxys*, 13(32): 1 – 4. https://doi.org/10.57800/faunitaxys-13(32)

Vives E., 2025. – Longicornios nuevos o interesantes de Filipinas (Pars 32). (Coleoptera, Cerambycidae). *Faunitaxys*, 13(33) : 1 – 3. https://doi.org/10.57800/faunitaxys-13(33)

Faunitaxys est échangée avec les revues suivantes (« print versions ») :

– Annali del Museo Civico di Storia Naturale G. Doria (Italie)
– Boletín de la Asociación española de Entomología (Espagne)
– Boletín de la Sociedad Andaluza de Entomología (Espagne)
– Bollettino del Museo di Storia Naturale di Venezia (Italie)
– Bulletin de la Société linnéenne de Lyon (France)
– Bulletin of Insectology (Italie)
– Heteropterus Rev. Entomol. (Espagne)
– Integrative Systematics (Allemagne)
– Israel Journal of Entomology (Israel)
– Klapalekiana (République Tchèque)
– Koleopterologische Rundschau (Allemagne)
– Memorie del Museo Civico di Storia Naturale di Verona (Italie)
– Nova Supplementa Entomologica (Allemagne)
– Proceedings of the Entomological Society of Washington (USA
– Revue suisse de Zoologie (Suisse)
– Spixiana (Allemagne)
– Zoosystematica Rossica (Russie)

Faunitaxys

Volume 13, Numéro 34, Juillet 2025

SOMMAIRE

Contribution à la connaissance des *Bacaniini* Kryzhanovskij du Nouveau Monde avec une clé des espèces et la description de trois espèces nouvelles (Coleoptera, Histeridae, Dendrophilinae).

Nicolas Degallier, Alexey K. Tishechkin, Peter W. Kovarik, Vincenzo Vomero & Yves Gomy . . . 1 – 66

CONTENTS

Contribution to the knowledge of the *Bacaniini* Kryzhanovskij of the New World with a key of the species and the description of three new species (Coleoptera, Histeridae, Dendrophilinae).

Nicolas Degallier, Alexey K. Tishechkin, Peter W. Kovarik, Vincenzo Vomero & Yves Gomy . . . 1 – 66

Illustration de la couverture :

Rupert L. Wenzel et Charles Triplehorn avec un *Tyrannosaurus rex*, surnommé "Sue" au FMNH, Chicago, IL, le 16-IV-2001.

Médaillon : *Mullerister rombophorus* (Aubé, 1843 : Fig. 1), l'espèce de Bacaniini la plus anciennement décrite.

Crédits :

Nicolas Degallier : Fig. 2-12, 21-36, 47-48, 52, 56, 58-64, 66-67, 70-74, 79-82, 84-87, 92-94, 96, 100-107, 110-114, 145-148, 152, 159.
Tomas Yélamos & **Nicolas Degallier** : Fig. 65.
Vincenzo Vomero & **Nicolas Degallier** : Fig. 46, 119, 140.
Alexey K. **Tishechkin** : Fig. 40, 77-78, 131.
Peter W. **Kovarik** : Fig. 122-124 ; Photos : couverture, 2, 8, 12-16.
Francesco Sacco & **Vincenzo Vomero** : Fig. 1, 39, 41-45, 49-51, 53-55, 57, 68-69, 75-76, 83, 95, 97-99, 108-109, 132, 141-144, 149-151, 153-158, 160-166.
Paul E. **Skelley** : Fig. 13-20, 120-130, 133-139 ; Photos : 9-10.
Jeffrey P. **Gruber** : Fig. 37-38, 88-91, 115-118.
John A. **Shuey** : Photos : 1, 3-7, 11.

Publié par l'Association Française de Cartographie de la Faune et de la Flore (AFCFF)